

การศึกษาคุณสมบัติทางออกซิวิทยาของคลาสตี ปิตตา-แลคทามีส และการถ่ายทอดยืน
ในเชื้อ *Acinetobacter baumannii*



วิทยานิพนธ์เสนอบัณฑิตวิทยาลัย มหาวิทยาลัยนเรศวร เพื่อเป็นส่วนหนึ่งของการศึกษา
หลักสูตรปริญญาวิทยาศาสตรบัณฑิต

สาขาวิชาจุลชีววิทยา

มีนาคม 2560

ลิขสิทธิ์เป็นของมหาวิทยาลัยนเรศวร

วิทยานิพนธ์ เรื่อง “การศึกษาคุณสมบัติทางอนุชีววิทยาของคลาสตี ปีต้า-แลคทามেส
และการถ่ายทอดยีนในเชื้อ Acinetobacter baumannii”

ของ นางสาวอุดมลักษณ์ เหลืองทองคำ^๑
ได้รับการพิจารณาให้นับเป็นส่วนหนึ่งของการศึกษาตามหลักสูตร
ปริญญาวิทยาศาสตรมหาบัณฑิต สาขาวิชาจุลชีววิทยา

คณะกรรมการสอบวิทยานิพนธ์

๘๗๙ { ๙/๖๖๘ ประธานกรรมการสอบวิทยานิพนธ์
(ดร.มัจฉรี ใจเตหก)

..... ประธานที่ปรึกษาวิทยานิพนธ์
(ผู้ช่วยศาสตราจารย์ ดร.สุทธิรัตน์ สิทธิศักดิ์)

..... กรรมการที่ปรึกษาวิทยานิพนธ์
(ดร.กัญณิกา ทัศนภักดี)

..... กรรมการผู้ทรงคุณวุฒิภายใน
(ดร.อัญชลี ฐานวิสัย)

..... (รองศาสตราจารย์ ดร.ศักดิ์ชัย วิทยาอารีย์กุล)
รองคณบดีฝ่ายวิจัยและวิเทศสัมพันธ์ ปฏิบัติราชการแทน
คณบดีบัณฑิตวิทยาลัย

ประกาศคุณปการ

วิทยานิพนธ์ฉบับนี้สำเร็จเสร็จลุล่วงได้ด้วยดีและบรรลุตามวัตถุประสงค์ได้ด้วยความเมตตาและกรุณาอย่างยิ่งจากผู้ช่วยศาสตราจารย์ ดร.สุทธิรัตน์ สิทธิศักดิ์ ประธานที่ปรึกษา วิทยานิพนธ์ ที่ได้สละเวลาอันมีค่าในการให้คำปรึกษา ให้คำแนะนำ และให้ความช่วยเหลือตลอดระยะเวลาในการทำวิจัยและการทำวิทยานิพนธ์ และขอกราบขอบพระคุณคณะกรรมการสอบวิทยานิพนธ์ ดร.กัญญา ทัศนภักดิ์ กรรมการที่ปรึกษาวิทยานิพนธ์ และดร.อัญชลี ฐานวิสัย กรรมการผู้ทรงคุณวุฒิภายใน ที่ได้กรุณาให้คำแนะนำตลอดจนแก้ไขข้อบกพร่องด้วยความเอาใจใส่ จนทำให้วิทยานิพนธ์ฉบับนี้สำเร็จสมบูรณ์ได้ด้วยดี

ขอกราบขอบพระคุณ คุณธรรมชัย กิตติ ที่ได้อนุเคราะห์เบคเทอริโอเฟจ คุณริวารอน แสงศรี ที่ได้อนุเคราะห์เชื้อ *Acinetobacter* spp. โรงพยาบาลเชียงรายปะชาณุเคราะห์และโรงพยาบาลพิจิตร ที่ได้อนุเคราะห์เชื้อ *A. baumannii* ในการทำวิจัยครั้งนี้ ขอขอบพระคุณ มหาวิทยาลัยแม่โจวที่ให้ทุนสนับสนุนตลอดการศึกษา ขอบพระคุณภาควิชาจุลชีววิทยาและปฏิทวิทยา และสถานบริการวิชาการด้านวิทยาศาสตร์การแพทย์ที่ให้ความอนุเคราะห์เครื่องมือและอุปกรณ์ต่างๆที่ใช้ในการทำวิจัย และขอขอบพระคุณครอบครัว เพื่อน ที่น้อง ทุกท่าน ที่เคยสนับสนุนและให้กำลังใจด้วยดีเสมอมา

สุดท้ายนี้คุณค่าและคุณประโยชน์ใดๆอันที่ได้รับจากการทำวิทยานิพนธ์ฉบับนี้ ผู้วิจัยขอขอบคุณและอุทิศแด่ผู้มีพระคุณทุกๆท่าน ผู้วิจัยหวังเป็นอย่างยิ่งว่า วิทยานิพนธ์ฉบับนี้จะเป็นประโยชน์ต่อผู้อ่านและผู้สนใจด้านเชื้อเบคทีเรียด้วยทักษะและการถ่ายทอดยืนดื้อยาไม่มากก็น้อย

อุดมลักษณ์ เหลืองทองคำ

ชื่อเรื่อง	การศึกษาคุณสมบัติทางเอนไซม์ชีววิทยาของคลาสตี บีต้า-แลคทามेस และการถ่ายทอดยีนในเชื้อ <u>Acinetobacter baumannii</u>
ผู้วิจัย	อุดมลักษณ์ เหลืองทองคำ
ประธานที่ปรึกษา	ผู้ช่วยศาสตราจารย์ ดร.สุทธิรัตน์ สิทธิศักดิ์
กรรมการที่ปรึกษา	ดร.กัญญา ทัศนภักดี
ประเภทสารนิพนธ์	วิทยานิพนธ์ ว.ม. สาขาวิชาจุลชีววิทยา, มหาวิทยาลัยนเรศวร, 2560
คำสำคัญ	<i>Acinetobacter baumannii</i> รูปแบบการดื้อยาต้านจุลชีพ ยีนดื้อยาในกลุ่ม class D-β-lactamase รูปแบบของพลาสมิด ⁺ การถ่ายทอดยีนในแนวราบ

บทคัดย่อ

A. baumannii เป็นเชื้อแบคทีเรียแกรมลบ เป็นเชื้อสาเหตุสำคัญที่ก่อให้เกิดโรคติดเชื้อในโรงพยาบาล โดยเฉพาะอย่างยิ่งในห้องผู้ป่วยหนัก ช่วง 10 ปีที่ผ่านมา พบรูปแบบการดื้อยาต้านจุลชีพกลุ่มคาร์บานิเพนมากองเชื้อ *A. baumannii* เพิ่มสูงขึ้นอย่างรวดเร็วภายในโรงพยาบาลของทวีปเอเชียและโรงพยาบาลของประเทศไทย นอกจากนี้ยังพบการแพร่กระจายของยีนดื้อยาคลาสตี บีต้า-แลคทามีส์เกือบทุกภูมิภาค การศึกษาครั้งนี้จึงมีวัตถุประสงค์ เพื่อศึกษา รูปแบบการดื้อยาต้านจุลชีพ เพื่อทราบหา_yein_dื้อยาและการแพร่กระจายของยีน_dื้อยาในเชื้อ *A. baumannii* ที่แยกจากผู้ป่วยภายในโรงพยาบาลเชิงรายประชานุเคราะห์และโรงพยาบาลพิเศษ ศึกษารูปแบบพลาสมิดของเชื้อ *A. baumannii* ในกลุ่ม XDR-AB จากนั้นนำเข้ามาศึกษา การถ่ายทอดยีนในแนวราบ โดยวิธีทวนสฟอร์เมชัน ทวนสตั๊กชัน และคอนจูเกชัน ระหว่างเชื้อแบคทีเรีย *A. baumannii* ที่แยกได้จากสิ่งตรวจของผู้ป่วยในโรงพยาบาล และ *Acinetobacter* spp. ที่แยกได้จากแหล่งธรรมชาติ ผลการศึกษาพบเชื้อ *A. baumannii* ดื้อยาต้านจุลชีพ cefotaxime (CTX), ceftazidime (CAZ), ceftriaxone (CRO), ciprofloxacin (CIP), imipenem (IPM), meropenem (MEM) และ piperracillin/tazobactam (PIP) มากกว่าร้อยละ 75 พบรูปแบบ การดื้อยาต้านจุลชีพในกลุ่มคาร์บานิเพน (CR-AB) ร้อยละ 85.5, กลุ่ม XDR-AB ร้อยละ 6.5 และกลุ่มที่ไวต่อยาต้านจุลชีพ ร้อยละ 8.4 ทุกไอโซเลตไวต่อยาต้านจุลชีพ colistin และ tigecycline เมื่อกำหนดสอบหายีน_dื้อยาคลาสตี คาร์บานิเพนส์ โดยใช้เทคนิคแมลติเพล็กซ์PCR พบยีน_dื้อยา

*bla*_{OXA-23} และยีนดีออยา *bla*_{OXA-58} ร้อยละ 76.1 และ 9.3 ตามลำดับ นำเข้าอกลุ่ม XDR-AB มาศึกษา รูปแบบพลาสมิดพบว่ามี 2 รูปแบบ ขนาดประมาณ 9 kb ถึง ≥ 23 kb จากนั้นศึกษาการถ่ายทอด ยีนดีออยาในแนวราบ ผลที่ได้พบว่าเชื้อ XDR-AB สายพันธุ์ AB135 สามารถถ่ายทอดการดีออยา tetracycline และยีนดีออยา *tet(B)* ผ่านกระบวนการทราบสัดกชั้น โดยอาศัยแบคเทอโริโนเฟจ ABP19 นำพา yīn dī' o yā sū เซื่อสายพันธุ์ไม่ดีออยา NU013 และ NU015 มีค่าความถี่ในการเกิดกระบวนการทราบสัดกชั้น (transduction frequencies) เท่ากับ $4.8 - 9.1 \times 10^{-9}$ นอกจากนี้เชื้อ XDR-AB สายพันธุ์ AB140 สามารถถ่ายทอดการดีออยา kanamycin และยีนดีออยา *aphA6* โดยอาศัยกระบวนการ conjugation สูงสุดเชื้อสายพันธุ์ไม่ดีออยา NU013 และ NU015 มีค่าความถี่ในการเกิดกระบวนการ conjugation (conjugation frequencies) เท่ากับ $6.3 - 8.5 \times 10^{-5}$ ผลจากการศึกษา ครั้งนี้สามารถนำมาใช้เป็นข้อมูลเบื้องต้นสำหรับการควบคุมป้องกันการแพร่กระจายของยีนดีออยา และเชื้อแบคทีเรียดีออยาในอนาคตต่อไป



Title	MOLECULAR CHARACTERIZATION OF CLASS D β -LACTAMASE DETERMINANTS AND GENE TRANSFER <u>IN ACINETOBACTER BAUMANNII</u>
Author	Udomluk Leungtongkam
Advisor	Assistant Professor Sutthirat Sitthisak, Ph.D.
Co - Advisor	Kannipa Tasanapak, Ph.D.
Academic paper	Thesis M.S. in Microbiology, Naresuan University, 2017
Keywords	<i>Acinetobacter baumannii</i> , Antibiotic susceptibility patterns, class D β -lactamase determinants, plasmid profiles, horizontal gene transfer

ABSTRACT

A. baumannii is a gram-negative bacteria, which is the major cause of nosocomial infection, especially in Intensive Care Units (ICUs). In the past decades, the prevalence of carbapenem *A. baumannii* (CR-AB) has been increasing rapidly in Asia and Thai hospitals. Moreover, the spread of class D β -lactamase resistance genes was detected in almost all regions. The aims of this study were to determine the antimicrobial susceptibility patterns, to detect and study the dissemination of class D β -lactamase resistance genes in *A. baumannii* isolated from inpatients within ChiangRai Prachanukroh and Phichit hospitals, to examine the plasmid profiles of XDR-AB strains and to study the horizontal gene transfer by transformation, transduction and conjugation between *A. baumannii* isolated from clinical specimens and *Acinetobacter* spp. isolated from natural sources. Our results showed that more than 75% of the *A. baumannii* isolates were resistant to cefotaxime (CTX), ceftazidime (CAZ), ceftriaxone (CRO), ciprofloxacin (CIP), imipenem (IPM), meropenem (MEM) and piperracillin/tazobactam (PIP). The prevalence of CR-AB was found in 85.5%, XDR-AB was found in 6.5%, and susceptibility to all antibiotic tested was found in 8.4%. All isolates were sensitive to colistin and tigecycline. Class D β -lactamase genes were investigated by multiplex PCR amplification. The *bla*_{OXA-23} and *bla*_{OXA-58} genes were detected in 76.1% and 9.3%, respectively. XDR-AB strains were

selected to study the plasmid profiles. There are two patterns, ranging approximately from 9 kb to \geq 23 kb. Moreover, XDR-AB AB135 was transferred tetracycline resistant and *tet(B)* gene via transduction by bacteriophage ABP19 which make the antibiotic susceptible strains, NU013 and NU015, to be antibiotic resistant strains. The transduction frequencies were $4.8 - 9.1 \times 10^{-9}$ per recipient cells. In addition, XDR-AB AB140 was transferred kanamycin resistant gene, *aphA6* via conjugation to antibiotic susceptible strains, NU013 and NU015. The frequency of tranconjugants was $6.3 - 8.5 \times 10^{-5}$ per recipient cells. The results of this study can be used as preliminary data for preventing and controlling the spread of resistance genes and resistant bacteria in the future.



ຂໍ້ມູນຫຍ່ອ

bp	=	Base pair
CaCl_2	=	Calcium chloride
CF	=	Frequency of conjugation
CFU	=	Colony forming unit
CR-AB	=	Carbapenem-resistant <i>A. baumannii</i>
DNA	=	Deoxyribonucleic acid
EDTA	=	Ethylene diamine tetra-acetic acid
g	=	Gram
Kb	=	Kilo base
MDR-AB	=	Multidrug-resistant <i>A. baumannii</i>
MgCl_2	=	Magnesium chloride
MgSO_4	=	Magnesium sulfate
MIC	=	Minimal inhibitory concentration
ml	=	Milliliter
mm	=	Millimeter
multiplex PCR	=	Multiplex polymerase chain reaction
NaCl	=	Sodium chloride
NaOH	=	Hydrogen hydroxide
PCR	=	Polymerase chain reaction
PDR-AB	=	Pandrug-resistant <i>A. baumannii</i>
PFU	=	Plaque forming unit
pH	=	Power of hydrogen ion concentration
RNA	=	Ribonucleic acid
TBE	=	Tris-borate-EDTA
TE	=	Transformation efficiency
XDR-AB	=	Extensively drug-resistant <i>A. baumannii</i>
μg	=	Microgram

สารบัญ

บทที่	หน้า
1 บทนำ.....	1
ความเป็นมาและความสำคัญของปัญหา.....	1
วัตถุประสงค์ของงานวิจัย.....	3
ขอบเขตของงานวิจัย.....	3
2 เอกสารและงานวิจัยที่เกี่ยวข้อง.....	4
<i>Acinetobacter baumannii</i>	4
การถ่ายทอดยีน.....	13
การถ่ายทอดยีนด้วยยาในเมตรานะของแบคทีเรีย.....	17
3 วิธีดำเนินการวิจัย.....	25
สายพันธุ์แบคทีเรียและแบคเทอโริไฟจ์ที่ใช้ในการศึกษา.....	25
การตรวจหาสายพันธุ์ของเชื้อ <i>Acinetobacter spp.</i> ที่แยกจากแหล่ง	
ธรรมชาติโดยการวิเคราะห์ลำดับนิวคลีโอไทด์ของยีน 16S rRNA และ	
ยีน <i>rpoB</i>	26
การทดสอบความไวต่อยาต้านจุลชีพโดยวิธี disc diffusion.....	28
การตรวจหา_yein_ด้วย OXA-type carbapenemase ด้วยเทคนิค Multiplex	
PCR.....	30
การสกัดพลาสมิดของเชื้อ extensively drug resistant <i>A. baumannii</i>	
(XDR-AB).....	31
การคัดเลือกแบคทีเรียผู้ให้และแบคทีเรียผู้รับ.....	31
การศึกษาการถ่ายทอดยีนด้วยยาโดยวิธีทราบสฟอร์เมชันแบบธรรมชาติ	
(Natural transformation).....	32
การศึกษาการถ่ายทอดยีนด้วยยาโดยวิธีทราบสตักชัน.....	33

สารบัญ (ต่อ)

บทที่	หน้า
การศึกษาการส่งผ่านยีนดีออยาโดยวิธีคอนจูเกชั่น.....	35
การตรวจหา_yin_ดีออยา class D β -lactamase, <i>tet(B)</i> และ <i>aphA6</i> ใน transformants, transductants และ transconjugants ที่แยกได้.....	37
4 ผลการวิจัย.....	38
การตรวจหาสายพันธุ์ของเชื้อ <i>Acinetobacter</i> spp. ที่แยกได้จากแหล่งธรรมชาติโดยการวิเคราะห์ลำดับนิวคลีโอไทด์ของยีน 16S rRNA และยีน <i>rpoB</i>	38
การศึกษาความไวของเชื้อ <i>A. baumannii</i> ต่อยาต้านจุลชีพ.....	39
การตรวจหา_yin_ดีออยา OXA-type carbapenemase.....	41
การศึกษาฐานแบบของพลาสมิด (plasmid profiles).....	42
การคัดเลือกแบคทีเรียผู้รับและแบคทีเรียผู้ให้.....	42
การศึกษาการส่งผ่านยีนดีออยาโดยวิธีทวนสฟอร์เมชั่น.....	44
การศึกษาการส่งผ่านยีนดีออยาโดยวิธีทวนสตักชั่น.....	44
การศึกษาการส่งผ่านยีนดีออยาโดยวิธีคอนจูเกชั่น.....	45
5 บทสรุป.....	50
สรุปผลการวิจัย.....	50
อภิปรายผล.....	51
ข้อเสนอแนะ.....	58
บรรณานุกรม.....	59
ภาคผนวก.....	78

สารบัญ (ต่อ)

บทที่

หน้า

ประวัติผู้วิจัย.....	99
----------------------	----



สารบัญตาราง

ตาราง	หน้า
1 แสดงยีนดีอยาที่พบใน <i>A. baumannii</i>	12
2 แสดงการถ่ายทอดยีนดีอยาในແງວກາບຂອງແບຄທີເຮືຍ.....	22
3 แสดงສາຍພັນຮູ້ຂອງແບຄເທໂຣົໂຟຈີທີໃຫ້ໃນການສຶກໜາ.....	25
4 แสดงໄພຣມູອົງທີ່ໃໝ່ໃນການທຽບທ່ານ 16S rRNA ຍືນ <i>rpoB</i> ຍືນດີ້ອຍາ OXA-type carbapenemase ຍືນດີ້ອຍາ tetracycline (<i>tet(B)</i>) ແລະ ຍືນດີ້ອຍາ kanamycin (<i>aphA6</i>).....	27
5 แสดงສກາວະທີ່ໃໝ່ໃນກາರທຳ PCR ຕຽບທ່ານ 16S rRNA	28
6 แสดงສກາວະທີ່ໃໝ່ໃນກາรທຳ PCR ຕຽບທ່ານ <i>rpoB</i>	28
7 แสดงຍາຕ້ານຈຸລື້ພະແນກແປລຜລກາຣທດສອບຄວາມໄວ່ຕອຍາຕ້ານຈຸລື້ພ.....	29
8 แสดงສກາວະທີ່ໃໝ່ໃນກາրທຳ multiplex PCR ຕຽບທ່ານ ຍືນດີ້ອຍາ OXA-type carbapenemase.....	30
9 แสดงສກາວະທີ່ໃໝ່ໃນກາรທຳ PCR ຕຽບທ່ານ ຍືນດີ້ອຍາ <i>tet(B)</i> ແລະ <i>aphA6</i>	31
10 แสดงຜລກາຣວິເຄາະທີ່ລຳດັບນິວຄລືໄອໄທດ້ຂອງຍືນ 16S rRNA ແລະ <i>rpoB</i> ໃນເຂື້ອ <i>Acinetobacter</i> spp. ທີ່ແຍກໄດ້ຈາກແລ່ງອະວຸມຫາຕີ.....	38
11 แสดงຜລກາຣດີ້ອັບແບຄທີເຮືຍຜູ້ໃໝ່ແລະ ແບຄທີເຮືຍຜູ້ຮັບ.....	43
12 แสดงຄວາມສາມາດໃນກາຈົງໃນສກາວະທີ່ມີ sodium azide ແລະ ສູງປະກາດດີ້ອ່າຍາຕ້ານຈຸລື້ພຂອງແບຄທີເຮືຍຜູ້ໃໝ່ແລະ ແບຄທີເຮືຍຜູ້ຮັບ.....	47
13 ສູງປະກາດກາງທຽບທ່ານ ຍືນດີ້ອຍາ class D β -lactamase, <i>tet(B)</i> ແລະ <i>aphA6</i> ໃນ transformants ທີ່ແຍກໄດ້.....	48
14 ສູງປະກາດກາງທຽບທ່ານ ຍືນດີ້ອຍາ class D β -lactamase, <i>tet(B)</i> ແລະ <i>aphA6</i> ໃນ transductants ທີ່ແຍກໄດ້.....	48

สารบัญตาราง (ต่อ)

ตาราง	หน้า
15 สรุปผลการตรวจยาปฏิชีวนิจัยด้วย class D β -lactamase, <i>tet(B)</i> และ <i>aphA6</i> ใน transconjugants ที่แยกได้.....	49
16 แสดงข้อมูลเชื้อ <i>A. baumannii</i> ที่แยกได้จากสิ่งตรวจของผู้ป่วยจำนวน 160 例 โภคเดต และผลการศึกษาฐานแบบการดีอตต์อยาต้านจุลชีพ และยืนด้วย class D β -lactamase ที่ตรวจพบ.....	79
17 แสดงผลการศึกษาการถ่ายทอดยืนด้วยยาโดยวิธีทรายสฟอร์เมชันระหว่างแบคทีเรีย <i>A. baumannii</i> และ <i>Acinetobacter</i> spp.	92
18 แสดงผลการศึกษาการถ่ายทอดยืนด้วยยาโดยวิธีทรายสตั๊กชันระหว่างแบคทีเรีย <i>A. baumannii</i> และ <i>Acinetobacter</i> spp.	93
19 แสดงผลการศึกษาการถ่ายทอดยืนด้วยยาโดยวิธีคอกอนคูเกชันระหว่างแบคทีเรีย <i>A. baumannii</i> และ <i>Acinetobacter</i> spp.	95

สารบัญภาพ

ภาพ	หน้า
1 แสดงโครงสร้างของ acinetobactin.....	9
2 แสดงกระบวนการกรานสฟอร์เมชัน.....	14
3 แสดงกระบวนการกรานสตักชัน.....	15
4 แสดงกระบวนการกรากอนจูเกชัน.....	16
5 แสดงเปอร์เซ็นต์การต่อต้านจุลชีพ (resistance) ของเชื้อ <i>A. baumannii</i> ที่แยกได้จากผู้ป่วยโรงพยาบาลเชียงรายประชาชนเคราะห์และโรงพยาบาลพิจิตร	40
6 แสดงเปอร์เซ็นต์รูปแบบการต่อต้านจุลชีพของเชื้อ <i>A. baumannii</i> ที่แยกได้จากผู้ป่วยโรงพยาบาลเชียงรายประชาชนเคราะห์และโรงพยาบาลพิจิตร.....	40
7 แสดง PCR product จากการตรวจสอนหายีนต์อยาในกลุ่ม OXA-type carbapenemase ภายใต้เชื้อ <i>A. baumannii</i> ที่แยกได้จากโรงพยาบาลเชียงรายประชาชนเคราะห์และโรงพยาบาลพิจิตร Lane M: 100 bp ladder; Lane 1: Negative control (น้ำกัลน์); Lane 2: PCR product ของยีนต์อยา <i>bla</i> _{OXA-51} และ <i>bla</i> _{OXA-23} ; Lane 3: PCR product ของยีนต์อยา <i>bla</i> _{OXA-51} และ <i>bla</i> _{OXA-58} และ Lane 5: PCR product ของยีนต์อยา <i>bla</i> _{OXA-23} , <i>bla</i> _{OXA-51} และ <i>bla</i> _{OXA-58}	41
8 แสดงรูปแบบของพลาสมิด (plasmid profiles) ของเชื้อ extensively drug resistant <i>A. baumannii</i> (XDR-AB) Lane M: VC Lambda/HindIII; Lane 1-10: รูปแบบพลาสมิด (plasmid profiles) ของเชื้อ <i>A. baumannii</i> สายพันธุ์ AB95, AB180, AB183, AB241, AB246, AB269, AB135, AB136, AB140 และ AB229 ตามลำดับ.....	42

สารบัญภาพ (ต่อ)

ภาพ	หน้า
9 แสดง PCR product จากการตรวจสืบทอดยา <i>tet(B)</i> ภายใน transductants ที่ได้จากการกระบวนการทรานส์ดักชัน Lane M: 100 bp ladder; Lane 1: Negative control (น้ำกัลล์); Lane 2: PCR product ยึนดีอยา <i>bla_{OXA-51}</i> ขนาด 353 bp และยึนดีอยา <i>tet(B)</i> ขนาด 206 bp ของแบคทีเรียผู้ให้สายพันธุ์ AB135; Lane 3-4: PCR product ยึนดีอยา <i>bla_{OXA-51}</i> ของแบคทีเรียผู้รับ สายพันธุ์ NU013 และ NU015 ตามลำดับ และ Lane 5-8: PCR product ยึนดีอยา <i>bla_{OXA-51}</i> และ <i>tet(B)</i> ของ transductants ที่ได้จำนวน 4 ไอโซเลต.....	45
10 แสดง PCR product จากการตรวจสืบทอดยา <i>aphA6</i> ภายใน transconjugants ที่ได้จากการกระบวนการคอนjugation Lane M: 100 bp ladder; Lane 1: Negative control (น้ำกัลล์); Lane 2: PCR product ยึนดีอยา <i>bla_{OXA-51}</i> ขนาด 353 bp และยึนดีอยา <i>aphA6</i> ขนาด 736 bp ของแบคทีเรียผู้ให้สายพันธุ์ AB140; Lane 3-4: PCR product ยึนดีอยา <i>bla_{OXA-51}</i> ของแบคทีเรียผู้รับ สายพันธุ์ NU013 และ NU015 ตามลำดับ และ Lane 5-6: PCR product ยึนดีอยา <i>bla_{OXA-51}</i> และ <i>aphA6</i> ของ transconjugants ที่ได้.....	46

บทที่ 1

บทนำ

ความเป็นมาและความสำคัญของปัญหา

ในปัจจุบันโรคติดเชื้อที่มีสาเหตุมาจากการติดเชื้อแบคทีเรียก่อโรคจัดเป็นปัญหาสำคัญทางสาธารณสุขของทั่วโลกรวมทั้งประเทศไทย เนื่องจากพบอัตราการเสียชีวิตจากการติดเชื้อเป็นจำนวนมาก จากรายงานของศูนย์เฝ้าระวังเชื้อดื/oxyaแห่งชาติ กระทรวงสาธารณสุข ประเทศไทย พบว่าสิ่งตรวจที่แยกได้ทั้งหมดภายในปี ค.ศ. 2014-2015 ตรวจพบเชื้อ *Acinetobacter baumannii* มากที่สุดเป็นอันดับที่สาม รองจาก *Escherichia coli* และ *Klebsiella pneumoniae* (NARST, 2014-2015) *A. baumannii* เป็นเชื้อแบคทีเรียแกรมลบ รูปหอกลม พับได้ทั่วไปในช่องทางเดินหายใจ ทนทานต่อยาต้านจุลชีพหลายชนิดเพิ่มขึ้น โดยเฉพาะอย่างยิ่งในกลุ่ม carbapenems (carbapenem-resistant *A. baumannii* (CR-AB)) (Poirel, & Nordmann, 2006) กลไกสำคัญที่ทำให้เชื้อ *A. baumannii* ต้านต่อยาต้านจุลชีพหลายชนิด คือ การสร้างเอนไซม์ออกมาทำลายยา ซึ่งส่วนใหญ่ เป็นการสร้างเอนไซม์ในกลุ่ม β-lactamase ออกมาย้อยสลายยาในกลุ่ม cephalosporins, penicillins และ carbapenems ทำให้ยาต้านจุลชีพออกฤทธิ์ไม่ได้ ส่งผลให้แบคทีเรียต้านต่อยาต้านจุลชีพที่ใช้ในการรักษาตามมา กลไกการต้านเชื้อของแบคทีเรียถูกควบคุมโดยยืนต่อยาที่พบใน CR-AB ส่วนใหญ่เป็นยืนต่อยาในกลุ่ม class D β-lactamase (Zarrilli et al., 2009) ภายใต้ประเทศไทยมีรายงานการแพร่กระจายของยืนต่อยา class D β-lactamase อยู่เกือบทุกภูมิภาค ทั้งในจังหวัดพิษณุโลก จังหวัดกรุงเทพมหานคร จังหวัดอุบลราชธานี และจังหวัดประจวบคีรีขันธ์ (Niumsup et al., 2009; Thapa et al., 2010; Jantama et al., 2013; Jumroon, & Santanirand, 2013; Santimaleeworagun et al., 2014; Teo et al. 2015; Juntanawiwat et al., 2016)

ในช่วง 10 ปีที่ผ่านมา พบอุบัติการณ์โรคติดเชื้อที่เกิดจาก *A. baumannii* ที่ดื/oxya ต้านจุลชีพหลายชนิดเพิ่มขึ้น โดยเฉพาะอย่างยิ่งในกลุ่ม carbapenems (carbapenem-resistant *A. baumannii* (CR-AB)) (Poirel, & Nordmann, 2006) กลไกสำคัญที่ทำให้เชื้อ *A. baumannii* ต้านต่อยาต้านจุลชีพหลายชนิด คือ การสร้างเอนไซม์ออกมาทำลายยา ซึ่งส่วนใหญ่ เป็นการสร้างเอนไซม์ในกลุ่ม β-lactamase ออกมาย้อยสลายยาในกลุ่ม cephalosporins, penicillins และ carbapenems ทำให้ยาต้านจุลชีพออกฤทธิ์ไม่ได้ ส่งผลให้แบคทีเรียต้านต่อยาต้านจุลชีพที่ใช้ในการรักษาตามมา กลไกการต้านเชื้อของแบคทีเรียถูกควบคุมโดยยืนต่อยาที่พบใน CR-AB ส่วนใหญ่เป็นยืนต่อยาในกลุ่ม class D β-lactamase (Zarrilli et al., 2009) ภายใต้ประเทศไทยมีรายงานการแพร่กระจายของยืนต่อยา class D β-lactamase อยู่เกือบทุกภูมิภาค ทั้งในจังหวัดพิษณุโลก จังหวัดกรุงเทพมหานคร จังหวัดอุบลราชธานี และจังหวัดประจวบคีรีขันธ์ (Niumsup et al., 2009; Thapa et al., 2010; Jantama et al., 2013; Jumroon, & Santanirand, 2013; Santimaleeworagun et al., 2014; Teo et al. 2015; Juntanawiwat et al., 2016)

การแพร่กระจายของยีนดื้อยา มักเกิดจากการถ่ายทอดยีนดื้อยาในแนวราบ (horizontal gene transfer) โดยเป็นการถ่ายทอดยีนระหว่างแบคทีเรียชนิดหนึ่งไปสู่แบคทีเรียอีกชนิดหนึ่ง โดยอาศัยกระบวนการที่สำคัญ คือ หวานสฟอร์เมชั่น หวานสตั๊กชั่น และค่อนจูเกชั่น (Huddleston, 2014) กระบวนการหวานสฟอร์เมชั่น เป็นการที่เซลล์แบคทีเรียรับดีเอ็นเอที่ล่องลอยอยู่ภายนอกแล้วดัดล้อมเข้ามาสู่เซลล์แบคทีเรียอีกชนิดหนึ่ง มีรายงานการศึกษาพบว่าในเชื้อ *Acinetobacter* spp. กระบวนการหวานสฟอร์เมชั่นสามารถถ่ายทอดยีนดื้อยา bla_{OXA-23} , bla_{OXA-24} , bla_{OXA-58} และ bla_{NDM-1} ไปสู่แบคทีเรียผู้รับได้ ทำให้เกิดการแพร่กระจายของยีนดื้อยาภายในโรงพยาบาลเพิ่มสูงขึ้น (Bertini et al., 2010; Rumbo et al., 2011; Fu et al., 2012; Fu et al., 2014) ส่วนกระบวนการหวานสตั๊กชั่น เป็นการถ่ายทอดยีนดื้อยาจากแบคทีเรียชนิดหนึ่งไปสู่แบคทีเรียอีกชนิด โดยอาศัยแบคทีเรียโอลิโอเฟจเป็นตัวนำพา yin-doxya และกระบวนการค่อนจูเกชั่น เป็นการถ่ายทอดยีนดื้อยาจากแบคทีเรียชนิดหนึ่งไปสู่แบคทีเรียอีกชนิดโดยอาศัยอวัยวะพิเศษที่เรียกว่า pili ดึงเซลล์แบคทีเรียสองตัวมาใกล้กัน เกิดการถ่ายทอดยีนดื้อยาให้แก่กัน (Black, 2013) มีรายงานการศึกษาก่อนหน้าพบว่าเชื้อ *Acinetobacter* spp. สามารถถ่ายทอดยีนดื้อยา bla_{OXA-23} , bla_{OXA-58} , bla_{GES-11} , bla_{IMP-1} และ bla_{NDM-1} ไปสู่แบคทีเรียผู้รับ โดยอาศัยกระบวนการค่อนจูเกชั่น (Bertini et al., 2010; Fu et al., 2012; Charfi-Kessis et al., 2014; Zhang et al., 2014; Yang et al., 2015)

จากการระบาดของโรคติดเชื้อที่เกิดจาก *A. baumannii* เพิ่มสูงขึ้นจำนวนมากในระยะเวลาอันรวดเร็ว อีกทั้งเชื้อยังดื้อต่อยาต้านจุลทรรศน์พลาyananพัรอมกัน และยังพนักงานแพร่กระจายของยีนดื้อยาในวงกว้าง ทั้งในทวีปยุโรป ทวีปเเมริกาใต้ และทวีปเอเชีย (Patel , & Bonomo, 2013) รวมทั้งในประเทศไทย สงผลให้การรักษาโรคติดเชื้อทำได้ยาก ผู้ป่วยเกิดการเสียชีวิตในอัตราสูง จึงจำเป็นต้องประสค์ของงานวิจัย คือ เพื่อศึกษารูปแบบการถ่ายยา yin-doxya และการแพร่กระจายของยีนดื้อยาภายนอกเชื้อ *A. baumannii* ที่แยกได้จากโรงพยาบาลสองแห่งทางภาคเหนือของประเทศไทย ได้แก่ โรงพยาบาลเชียงรายประชานุเคราะห์และโรงพยาบาลพิจิตร แล้วนำเชื้อบาคทีเรียที่เรียกว่า extensively drug resistant *A. baumannii* (XDR-AB) มาศึกษาการถ่ายทอดยีนดื้อยาในแนวราบ โดยวิธีหวานสฟอร์เมชั่น หวานสตั๊กชั่น และค่อนจูเกชั่น

วัตถุประสงค์ของงานวิจัย

1. เพื่อศึกษารูปแบบการต่อต้านจุลชีพในเชื้อ *A. baumannii* โดยวิธี disc diffusion
2. เพื่อศึกษายืนดื้อยาและการแพร่กระจายของยืนดื้อยา class D β-lactamase ในเชื้อ *A. baumannii* โดยวิธี multiplex polymerase chain reaction (multiplex PCR)
3. เพื่อศึกษารูปแบบของพลาสมิด (plasmid profiles) ในเชื้อ *A. baumannii* กลุ่ม extensively drug resistant *A. baumannii* (XDR-AB)
4. เพื่อศึกษาการถ่ายทอดยืนดื้อยาในแนวราบ (horizontal gene transfer) โดยวิธี ทรา农สฟอร์เมชัน ทรา农สตั๊กชัน และคอลนูเกชัน

ขอบเขตของงานวิจัย

ศึกษารูปแบบการต่อต้านจุลชีพของ *A. baumannii* ที่แยกมาจากผู้ป่วยภายในโรงพยาบาลเชียงรายประชานุเคราะห์ จังหวัดเชียงราย และโรงพยาบาลพิจิตร จังหวัดพิจิตร และ เชื้อที่แยกได้จากธรรมชาติ นำมาตรวจส่วนหัวยืนดื้อยาและการแพร่กระจายของยืนดื้อยาใน class D β-lactamase ตกดพลาสมิดและศึกษารูปแบบของพลาสมิดในเชื้อ *A. baumannii* กลุ่ม XDR-AB นำเข้ามาศึกษาการถ่ายทอดยืนดื้อยาในแนวราบระหว่างแบคทีเรีย *A. baumannii* ที่แยกได้จากสิ่งแวดล้อมภายในโรงพยาบาล และ *Acinetobacter* spp. ที่แยกได้จากธรรมชาติ

บทที่ 2

เอกสารและงานวิจัยที่เกี่ยวข้อง

Acinetobacter baumannii

1. จุลชีววิทยา

Acinetobacter ถูกค้นพบครั้งแรกในปี ค.ศ.1911 โดย Beigerinck นักจุลชีววิทยาชาวตัดตซ์ เแยกได้จากตัวอย่างดิน เดิมจัดอยู่ในวงศ์ Neisseriaceae แต่ปัจจุบันถูกจัดอยู่ในวงศ์ Moraxellaceae เป็นเชื้อแบคทีเรียแกรมลบ รูปร่างหอกลม (coccobacilli) มีขนาดประมาณ 0.7×1.0 ไมโครเมตร ไม่สามารถเคลื่อนที่ได้ (non-motile) เจริญเติบโตได้ในสภาวะที่มีออกซิเจนเพียง (strictly aerobic) ให้ผลลัพธ์กับการทดสอบ catalase test ให้ผลลบกับการทดสอบ oxidase test และมีสัดส่วนของ Guanine และ Cytosine (G+C content) ในสารพันธุกรรม 39-47% (Fournier, & Richet, 2006; Peleg et al., 2008) โคลินีมีลักษณะเรียบ บางครั้งมีลักษณะเป็นเมือก สีเหลืองอ่อนหรือสีเทาขอบอาหารเลี้ยงเชื้อ (Pagel, & Seyfried, 1976) สามารถพบเชื้อได้ทั่วไปในธรรมชาติ ทั้งในดิน น้ำ ผิวน้ำ รวมทั้งสิ่งแวดล้อมภายในโรงพยาบาล ปัจจุบันพบ *Acinetobacter* 26 สายพันธุ์ มีเพียง 10 สายพันธุ์ที่สามารถแยกจากสิ่งตรวจสอบในมาตรฐานได้ คือ *A. baumannii*, *A. calcoaceticus*, *A. haemolyticus*, *A. johnsonii*, *A. junii*, *A. Iwoffii*, *A. parvus*, *A. radioresistens*, *A. schindleri* และ *A. ursingii* (Di Nocera et al., 2011; Dortet et al., 2006) สายพันธุ์ที่พบว่าเป็นสาเหตุของการเกิดโรคติดเชื้อในโรงพยาบาลมากที่สุด คือ *A. baumannii* (Peleg et al., 2008) ซึ่ง *A. baumannii* มีความสามารถในการยึดเกาะกับอวัยวะของผู้ป่วยได้ดีและยังสามารถอยู่รอดได้บนพื้นผิวต่างๆ เช่น วัสดุอุปกรณ์ทางการแพทย์ ได้เป็นระยะเวลานาน ส่งผลให้พบโรคติดเชื้อที่เกิดจาก *A. baumannii* ในโรงพยาบาลเพิ่มมากยิ่งขึ้น (Lee et al., 2008; Pour et al., 2011)

2. โรคที่เกิดจากการติดเชื้อ *Acinetobacter baumannii*

A. baumannii จัดเป็นเชื้อ ก่อโรคที่มีความสำคัญทางการแพทย์ เนื่องจากพบจำนวนการติดเชื้อชนิดนี้อย่างรวดเร็วในช่วงสามทศวรรษที่ผ่านมา อีกทั้งเชื้อยังติดต่ออย่างรวดเร็วและหลายชนิด (multidrug-resistant) โรคที่พบมากที่สุดจากการติดเชื้อ *A. baumannii* คือ โรคปอดอักเสบในโรงพยาบาลหรือที่เรียกว่า Hospital-acquired pneumonia (McConnell et al., 2013) พบรากในผู้ป่วยที่ทำการพักรักษาตัวอยู่ภายในห้องวินิบาลผู้ป่วยหนัก (intensive care unit)

เป็นเวลานาน มีการใช้เครื่องช่วยหายใจ และใชยาปฏิชีวนะไม่สมเหตุสมผล นอกจากนี้ยังมีรายงานพบว่าการระบาดของโรคติดเชื้อภายในโรงพยาบาลอาจมีสาเหตุมาจากการปนเปื้อนเชื้อ *A. baumannii* บนเครื่องมือแพทย์หรือบุคลากรทางการแพทย์ที่มีสุขอนามัย สวนบุคคลไม่ดี สงสัยให้มีการแพร่กระจายของเชื้อภายในโรงพยาบาลเพิ่มมากขึ้น (Luna, & Aruj, 2007)

โรคปอดอักเสบในชุมชน (Community-acquired pneumonia) เป็นโรคปอดอักเสบที่เกิดภายนอกโรงพยาบาล เกิดขึ้นรุนแรงและเฉียบพลัน มีอัตราการเสียชีวิตสูงกว่าร้อยละ 60 มักเกี่ยวข้องกับตัวของไฮสต์เอง เช่น การดื่มเครื่องดื่มแอลกอฮอล์จำนวนมากเกินไปหรือการเป็นโรคปอดอุดกั้นเรื้อรัง นอกจากนี้มีรายงานพบว่าโรคปอดอักเสบในชุมชน ส่วนใหญ่มักเกิดขึ้นเป็นจำนวนมากในเขตที่มีภูมิอากาศร้อนหรือกึ่งเขตร้อน (Falagus et al., 2007)

โรคติดเชื้อในกระแสเลือด (Bloodstream infection) มีรายงานในระหว่างปี ค.ศ.1995 ถึง ค.ศ. 2002 พบรากурсติดเชื้อในกระแสเลือดในโรงพยาบาลของประเทศสวีเดนที่เกิดจากอาการติดเชื้อ *Acinetobacter spp.* คิดเป็นร้อยละ 1.3 ของการติดเชื้อในกระแสเลือดทั้งหมด พบรากурсติดเชื้อในห้องปฏิบัติการที่พักรักษาตัวอยู่ภายในห้องปฏิบัติการ มีอัตราการเสียชีวิตจากการติดเชื้อประมาณร้อยละ 34-43.4 พบรากурсติดเชื้อในห้องผู้ป่วยที่ต้องดูแลตัวเอง ร่องจากการติดเชื้อ *P. aeruginosa* และ *Candida spp.* (Wisplinghoff et al., 2004)

โรคติดเชื้อบริเวณบาดแผลไฟไหม้และบาดแผลอื่นๆ (Burn infection and other wounds) ส่วนใหญ่มักมีสาเหตุจากการติดเชื้อแบคทีเรียที่เรียดต้านยาหลายชนิด (MDR-bacteria) รวมทั้ง *A. baumannii* มีรายงานพบว่าในหมู่หารากурсที่โรคติดเชื้อบริเวณบาดแผลมักมีสาเหตุมาจากการติดเชื้อ *A. baumannii* คิดเป็นร้อยละ 22 นอกจากนี้ยังพบว่าร้อยละ 53 ของเชื้อที่แยกได้นั้น ดื้อต่อยาต้านจุลชีพหลายชนิด (MDR-AB) ซึ่งจัดเป็นปัญหาสำคัญที่นำไปสู่ภาวะทุพพลภาพและการเสียชีวิตในที่สุด (Keen et al., 2010)

โรคเยื่อหุ้มสมองอักเสบ (Meningitis) จัดเป็นโรคติดเชื้อในโรงพยาบาล มักเกิดขึ้นภายในหลังจากผู้ป่วยได้รับการผ่าตัดสมอง เมื่อมีการติดเชื้อ *A. baumannii* มักมีอาการแสดง ได้แก่ เป็นไข้ ปวดหัว และชากร้าว สำหรับปัจจัยที่ส่งเสริมทำให้โรคเยื่อหุ้มสมองอักเสบมีความรุนแรงมาก ยิ่งขึ้น คือ การใส่สายระบายน้ำในโพรงสมอง ซึ่งกล้ายเป็นช่องทางสำหรับการติดเชื้อฉวยโอกาสได้ง่ายยิ่งขึ้น ทำให้พบอัตราการเสียชีวิตสูงถึงร้อยละ 71 (Metan et al., 2007; Rodriguez et al., 2008)

3. ระบบวิทยา

ในปี ค.ศ. 1995 จากการสำรวจผู้ป่วยที่ติดเชื้อในกระแสเลือดในประเทศไทยพบว่ามีการติดเชื้อ *A. baumannii* ในกระแสเลือดสูงถึงร้อยละ 43.3 เป็นสาเหตุการตายอันดับสามในผู้ป่วยที่นอนพักรักษาตัวในห้องวินิฟิล์มผู้ป่วยหนัก (Wisplinghoff et al., 2004) ส่วนในประเทศไทยพบที่ปรึกษาเชี่ยนนั้น ในประเทศไทยได้หันพับการติดเชื้อ *A.baumannii* เพิ่มสูงขึ้นจาก 25 ครั้งต่อผู้ป่วย 10,000 คน ในปี ค.ศ.1999 เป็น 55 ครั้งต่อผู้ป่วย 10,000 คน ในปี ค.ศ. 2003 (Hsueh et al., 2005) ต่อมามีรายงานในปี ค.ศ. 2014 พบร่วมกับการติดเชื้อ *A. baumannii* มากเป็นอันดับที่สอง รองจากการติดเชื้อ *Pseudomonas aeruginosa* ภายใต้ผู้ป่วยโรคปอดอักเสบของโรงพยาบาลในประเทศไทย (Zhang et al., 2014) จากการรายงานของ Rattanaumpawan et al. พบร่วมกับการติดเชื้อ *A. baumannii* มากเป็นอันดับที่หนึ่งคิดเป็นร้อยละ 32.7 ของโรคติดเชื้อในกระแสเลือด ซึ่งเป็นสาเหตุที่ทำให้เสียชีวิตอันดับต้นๆของประเทศไทย (Rattanaumpawan et al., 2013)

การศึกษาสำหรับการพัฒนาการติดต่อยาต้านจุลชีพของเชื้อ *A. baumannii* พบร่วมในช่วง ค.ศ. 1970 พบร่วมกับการติดเชื้อที่มีสาเหตุมาจากการติดเชื้อ *Acinetobacter spp.* จากสิ่งส่งตรวจเป็นจำนวนมาก แต่ยังทำการรักษาได้ง่าย โดยใช้ยาต้านจุลชีพในกลุ่ม β -lactam เช่น ampicillin, minocycline, second-generation cephalosporins, colistin หรือ gentamicin (Livermore, & Woodford, 2006) ต่อมามีการใช้ยาต้านจุลชีพมากเกินความจำเป็น สงผลให้ในระหว่างปี ค.ศ. 1980 ถึง ค.ศ. 1990 พบร่วมกับการติดเชื้อต่อยาต้านจุลชีพสามชนิดขึ้นไปที่เรียกว่า multidrug-resistant *A. baumannii* (MDR-AB) และต่อต่อยาในกลุ่ม carbapenem ได้แก่ imipenem และ meropenem ที่เรียกว่า carbapenem-resistant *A. baumannii* (CR-AB) ซึ่งเป็นยาที่มีฤทธิ์ยับยั้งกว้าง นิยมใช้รักษาการติดเชื้อจากแบคทีเรียแกรมลบ รวมทั้ง *A. baumannii* (Poirel, & Nordmann, 2006) ในปี ค.ศ. 1994 Go et al. รายงานการเพิ่มระบาดของโรคติดเชื้อภายใต้ผู้ป่วยในโรงพยาบาลนิวยอร์ก ซึ่งเกิดจาก *A. baumannii* พบร่วมเชื้อที่แยกได้ต่อต่อยา cephalosporins และ carbapenem (Go et al., 1994) ต่อมามีรายงานสหราชอาณาจักรพบ CR-AB จากสิ่งส่งตรวจเลือดเพิ่มสูงขึ้นจากร้อยละ 0 ในปี ค.ศ. 1998 เป็นร้อยละ 55 ในปี ค.ศ. 2006 (Wareham et al., 2008) ส่วนในประเทศไทยพบ CR-AB เพิ่มสูงขึ้นจากร้อยละ 52.9 ในปี ค.ศ. 2006 เป็นร้อยละ 89.8 ในปี ค.ศ. 2014 (Choi et al., 2016) สำหรับในประเทศไทย มีรายงานการศึกษาพบว่าในระหว่างปี ค.ศ. 1996 ถึง ค.ศ. 1997 ภายในโรงพยาบาลศิริราช พบร่วมกับการติดเชื้อ *A. baumannii* ร้อยละ 57.6 (Aswapee et al., 1998) ส่วนภายในโรงพยาบาลรามคำแหง ค.ศ. 1998 พบว่าในปี ค.ศ. 1998 ภายในโรงพยาบาลรามคำแหงพบเชื้อ *A. baumannii* ร้อยละ 40.8 (Aswapee et al., 1998)

ในปี ค.ศ. 2003 พบความชุกของ MDR-AB ร้อยละ 23 และเชื้อดื้อต่อยาในกลุ่ม carbapenem มากที่สุด (Chaiwarith et al., 2005) ในขณะที่โรงพยาบาลศิริราช พบ CR-AB ถึงร้อยละ 56.7 โดยทุกไโอลเซเลตที่แยกได้ไวต่อยา colistin (Sirichot et al., 2009) ต่อมาในปี ค.ศ. 2012 มีรายงานพบว่าโรงพยาบาลศิริราชของประเทศไทย จำนวน 12 แห่ง พบความชุกของ CR-AB เพิ่มสูงขึ้น เป็นร้อยละ 81.8 (Werarak et al., 2012) ซึ่งเห็นได้ว่าพบอัตราการติดเชื้อ *A. baumannii* ที่ดื้อต่อยาในกลุ่ม carbapenem เพิ่มสูงขึ้นในระยะเวลาอันรวดเร็ว จัดเป็นปัญหาทางสาธารณสุขสำคัญที่พบทั่วโลก รวมทั้งประเทศไทยด้วย การดื้อต่อยาในกลุ่ม carbapenem เกิดจากกลไกการติดเชื้อยาหลายกลไกด้วยกัน ได้แก่ การสร้างเอนไซม์ทำลายยาในกลุ่ม β -lactam การดัดแปลงโครงสร้างของ outer membrane หรือ penicillin binding proteins ซึ่งเป็นเป้าหมายในการจับของยา และการขับยาออกนอกเซลล์โดย efflux pumps (Limansky et al., 2002; Gehrlein et al., 1991; Marchand et al., 2011)

4. ปัจจัยก่อโรค

ความรุนแรงของโรคติดเชื้อที่มีสาเหตุมาจากการติดเชื้อ *A. baumannii* ขึ้นอยู่กับตัวของผู้ติดเชื้อ และตัวเชื้อก่อโรค โดยปัจจัยที่ก่อให้เกิดความรุนแรงของโรค (virulence factors) ในเชื้อ *A. baumannii* ที่สำคัญ ได้แก่

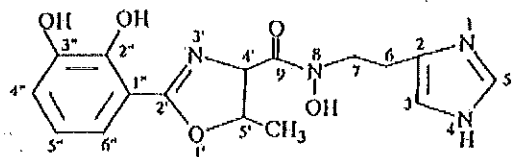
4.1 Outer membrane vesicles หรือ OMVs เป็นถุงที่เข้าสู่ร่างกายจาก outer membrane ของเชื้อแบคทีเรียแล้วหลอมอบ มีรายงานพบว่า OMVs เป็นปัจจัยก่อโรคที่มีส่วนร่วมที่ทำให้เชื้อแบคทีเรียมีความรุนแรงมากขึ้น โดยการส่งปัจจัยก่อโรคไปยังไซต์ติดเชื้อ เช่น OMVs บรรจุ OmpA ซึ่งเป็นโปรตีนที่ทำหน้าที่เป็น protease และ hemolysin เป็นตัวชักนำให้เซลล์แตก และทำให้เซลล์ตายในที่สุด และยังพบอีกว่า OmpA มีบทบาทในการเกิดติดเชื้อ และบุกrukทำลายเซลล์เยื่อบุผิว นำไปสู่การแพร่กระจายของเชื้อ *A. baumannii* ในระหว่างที่มีการติดเชื้อ (Choi et al., 2008) และสามารถยับยั้ง alternative complement pathways ทำให้ระบบ complement ไม่สามารถจ่าเชื้อแบคทีเรียได้ (Kim et al., 2009) นอกจากนี้ OMVs ยังมีส่วนช่วยในการส่งผ่านยีนดื้อยาไปยังเซลล์แบคทีเรียอื่นได้ (horizontal gene transfer) เช่น OXA-24 carbapenamase gene แสดงให้เห็นว่า OMVs มีบทบาทสำคัญในการแพร่กระจายของการติดเชื้อยาในเชื้อ *A. baumannii* อีกด้วย (Rumbo et al., 2011)

4.2 Lipopolysaccharide หรือ LPS เป็นสารที่ A. baumannii สามารถสร้าง LPS บนผิวเซลล์ของตัวเชื้อได้ โดยพบว่า LPS ประกอบไปด้วย lipid A carbohydrate core และ O-antigen จากการทดลองของ Luke et al. ในปี ค.ศ. 2010 พบว่าเมื่อมีการแยกพันธุ์ของเอนไซม์ LpsB glycotransferase ทำให้เชื้อมีอัตราการรอดชีวิตลดลงเมื่อเทียบกับสายพันธุ์ที่ไม่ได้เกิดการกลายพันธุ์ และแสดงผลให้เชื้อแบคทีเรียชนิดนี้ต้านทานต่อการทำงานของชีรัม (serum resistant) เชื้อจึงทนและเจริญได้ดีในชีรัมของมนุษย์ นอกจากนี้ยังพบว่า LPS มีบทบาทสำคัญที่ทำให้เชื้อแบคทีเรียชนิดนี้สามารถหลบเลี่ยงระบบภูมิคุ้มกันของเซลล์ไฮสต์ได้ค่อนข้างด้วย (Luke et al., 2010)

4.3 Capsular polysaccharide มีบทบาทสำคัญในการป้องกันแบคทีเรียจากการตอบสนองทางระบบภูมิคุ้มกันของเซลล์ไฮสต์ (Russo et al., 2010)

4.4 Bacterial phospholipase เป็น lipolytic enzyme ประกอบด้วยเอนไซม์ phospholipase D ที่มีความสำคัญในการเกิด serum resistant และเอนไซม์ phospholipase C ช่วยเพิ่มความเป็นพิษต่อเซลล์เยื่อบุ เอนไซม์ Bacterial phospholipase จัดเป็นปัจจัยก่อโรคที่สำคัญในแบคทีเรียแกรมลบ สามารถกระตุ้นให้มีการตัด phospholipids ซึ่งเป็นองค์ประกอบของเยื่อหุ้มเซลล์ของเซลล์ไฮสต์ เป็นผลให้เชื้อสามารถรุกรานและแพร่กระจายไปยังเซลล์แบคทีเรียข้างเคียงได้ (Jacobs et al., 2010; Camarena et al., 2010)

4.5 Acinetobactin เป็นสารที่ A. baumannii สร้างขึ้นสำหรับนำ Fe³⁺เข้ามาภายในเซลล์ มีบทบาทสำคัญในการช่วยยึดเกาะเซลล์เยื่อบุและยังเหนี่ยวนำให้เซลล์ไฮสต์แตกและตายได้ มีการศึกษาใน A. baumannii ATCC19606 พบว่าเชื้อสร้าง acinetobactin ซึ่งพบอยู่บนเยื่อบุผิวเซลล์ของมนุษย์ เป็นสาเหตุสำคัญที่ทำให้เซลล์แตกและตายในที่สุด ต่อมามีการศึกษาทดลองในหนู mice พบว่า acinetobactin ที่เชื้อสร้างขึ้น ทำให้หนูที่ติดเชื้อตายได้ แสดงให้เห็นได้ว่าการที่เชื้อสามารถผลิต acinetobactin ได้นั้น สงผลให้เชื้อมีความรุนแรงในการก่อโรคมากยิ่งขึ้น (Gaddy et al., 2012; Kim et al., 2015)



ภาพ 1 แสดงโครงสร้างของ acinetobactin

ที่มา: Yamamoto et al., 1994

4.6 Biofilm เชื้อ *A. baumannii* สามารถสร้าง biofilm ขึ้นมาได้ ทำให้เชื้อสามารถคงอยู่ในสภาวะที่ลุนแรงได้นานกว่าเชื้อที่ไม่มีการสร้าง biofilm ดังนั้นการที่เชื้อสามารถผลิตหรือสร้าง biofilm ได้ ช่วยเพิ่มความสามารถในการเกาะติดเซลล์เยื่อบุและทำให้อยู่ในสิ่งแวดล้อมได้นานยิ่งขึ้น อีกทั้งยังพบว่าเชื้อ *A. baumannii* สามารถยึดเกาะอุปกรณ์ช่วยหายใจ อุปกรณ์ที่เป็นแก้วหรือพลาสติกได้เป็นอย่างดี สงผลให้เกิดการแพร่กระจายเชื้อ ก่อให้เกิดโรคติดเชื้อภายในโรงพยาบาลเพิ่มสูงขึ้น และยังสงผลให้เกิดการติดเชื้อต่อญาต้านๆ จำนวนมาก (Espinola et al., 2012; Longo et al., 2014)

5. กลไกการดีอxygen

ในปัจจุบันทั่วโลกกำลังประสบปัญหาเบคทีเรียต้านยาเพิ่มจำนวนสูงขึ้นอย่างรวดเร็ว โดยเฉพาะอย่างยิ่งในเชื้อ *A. baumannii* การต่อต้านจุลชีพของเชื้อ *A. baumannii* มีอยู่หลายรูปแบบ เช่น *A. baumannii* ที่ต่อต้านจุลชีพในกลุ่ม carbapenems (Carbapenem resistant *A. baumannii*; CR-AB) เชื้อ *A. baumannii* ที่ต่อต้านจุลชีพตั้งแต่สามขันน้ำขึ้นไป (Multidrug resistant *A. baumannii*; MDR-AB) เชื้อ *A. baumannii* ที่ต่อต้านจุลชีพทุกชนิดที่ใช้ในการรักษา ยกเว้น colistin และ tigecycline (Extensively drug resistant *A. baumannii*; XDR-AB) และเชื้อ *A. baumannii* ที่ต่อต้านจุลชีพทุกชนิดที่ใช้ในการรักษา (Pandrug resistant *A. baumannii*; PDR-AB) สงผลให้พบอัตราการเสียชีวิตของผู้ติดเชื้อเป็นจำนวนมาก (Majiorakos et al., 2012) กลไกสำคัญที่ทำให้ *A. baumannii* ต่อต้านได้แก่

5.1 การสร้างเอนไซม์ทำลายยา ซึ่งพบมากที่สุดในการต่ออายุของ *A. baumannii* เช่น การสร้างเอนไซม์ในกลุ่ม β -lactamases นายอยสลายยาในกลุ่ม penicillins, cephalosporins และ carbapenems (Bonomo, & Szabo, 2006) การสร้างเอนไซม์ AmpC cephalosporinase ทำให้เชื้อต่อต้านยา penicillins และ extended-spectrum cephalosporin ยกเว้น cefepime (Drawz et al., 2010) การสร้างเอนไซม์ class D β -lactamase ทำให้เชื้อต่อต้านยา carbapenem

(Evans, & Amyes, 2014) และการสร้างเอนไซม์ class B metallo- β -lactamase เช่น VIM, IMP ซึ่งสามารถย่อยสลายยาต้านจุลชีพในกลุ่ม carbapenems ได้ (Thomson, & Bonomo, 2005)

5.2 การลดการนำยาเข้าเซลล์โดยลดการสร้าง porin ยาต้านจุลชีพบางชนิด เช่น ยาในกลุ่ม β -lactam ไม่สามารถผ่านเข้าสู่เซลล์ได้โดยตรง ต้องอาศัยช่องทางในการนำยา เข้าสู่เซลล์โดยผ่าน porin มีการศึกษาพบว่าถ้า *A. baumannii* ตือต่อยาในกลุ่ม carbapenem เชื่อมีการปรับตัวโดยลดการสร้าง porin ซึ่งเป็นช่องทางสำหรับนำยาเข้าสู่เซลล์ สงผลให้ยา เข้าสู่เซลล์ได้น้อยลง เกิดการต่อต้านจุลชีพ (Bou et al., 2000; Limansky et al., 2002)

5.3 การเปลี่ยนแปลงเป้าหมายในการจับของยา เชือที่ต่อต้านในกลุ่ม Fluoroquinolones, β -lactams และ Polymyxins มีการเปลี่ยนแปลง penicillin binding protein (PBP) ซึ่งเป็นเป้าหมายในการจับของยา โดยการสร้าง PBP ชนิดใหม่ ทำให้ยาจับไม่ได้ หรือลดการ สร้าง PBP ชนิดเดิมที่ยาเคยจับได้ ทำให้ยาต้านจุลชีพจับได้น้อยลงหรือจับไม่ได้เลย สงผลให้ยา ออกฤทธิ์ไม่ได้ แต่อย่างไรก็ตามพบกลไกการต่อต้านลักษณะนี้อยู่มากในเชื้อแบคทีเรียแกรมลบ (Gehrlein et al., 1991)

5.4 การขับยาออกนอกเซลล์ โดย efflux pump ที่อยู่บริเวณเยื่อหุ้มเซลล์ โดยสามารถ ขับยาในกลุ่ม β -lactams, Tetracycline, Fluoroquinolone, Aminoglycoside และ Glycylcycline โดยใช้ระบบ resistance-nodulation-cell division (RND) สงผลให้ระดับยาในเซลล์ลดลง จนไม่สามารถยับยั้งหรือทำลายเชื้อได้ ทำให้เกิดการต่อต้านหลายชนิดพร้อมกัน (Magnet et al., 2001; McConnell et al., 2013)

6. การต่อต้านในกลุ่ม β -lactams และยืนต่อต้านที่พบใน *A. baumannii*

กลไกสำคัญและพบได้บ่อยสำหรับการต่อต้านจุลชีพในกลุ่ม β -lactams ของ เชื้อ *A. baumannii* คือ การสร้างเอนไซม์ β -lactamase ออกแบบทำลายยา มีการจัดกลุ่มเอนไซม์ ตามคุณสมบัติทางอนุชีววิทยาหรือโครงสร้างระดับโมเลกุล แบ่งออกเป็น 4 กลุ่ม ตามการ จัดจำแนกของ Ambler (Ambler classification) (Bush, & Jacoby, 2010) ได้แก่ Class A beta-lactamases ซึ่งมีหมู่ serine อยู่บริเวณ active site ถูกยับยั้งด้วย clavulanic acid พบรากใน แบคทีเรีย Enterobacteriaceae ต่อมากับ KPC-like enzyme และ GES-like enzyme ใน CR-AB ในประเทศไทยและเมืองปารีส ตามลำดับ (Robledo et al., 2010; Bonnin et al., 2011) Class B metallo-beta-lactamases (MBLs) ใน *A. baumannii* พบราก *bla_{IMP}*, *bla_{VIM}* และ *bla_{SIM}* ซึ่งพบมากในแบคทีเรียกุมภากาคเจียเมเปซิกิ ได้แก่ ประเทศไทย ยองกง เกาหลีใต้ และ ออสเตรเลีย (Mendes et al., 2009) Class C beta-lactamases มีหมู่ serine อยู่บริเวณ active

site ถูกยับยั้งด้วย boronic acid พบยืน bla_{AmpC} เพิ่มการแสดงออกของ β -lactamase เป็นผลให้ดีอ็ต-oxya extended-spectrum cephalosporins ยกเว้น cefepime (Perez et al., 2007) และสุดท้าย Class D serine-carbapenemase หรือ OXA type carbapenemases พบมากที่สุดใน CR-AB (ตาราง 1) (Zarrilli et al., 2009) โดย OXA type carbapenemases ประกอบด้วยกรดอะมิโนประมาณ 243-260 residues มีน้ำหนักโมเลกุล 23.0 ถึง 35.5 kDa และมีค่า pl values อุ่นระหว่าง 5.1 และ 9.0 (Walther-Rasmussen, & Hoiby, 2006) OXA type carbapenemases ถูกพบครั้งแรกในเชื้อ *A. baumannii* ในปี ค.ศ.1985 แยกได้จากโรงพยาบาลในประเทศสหอตแลนด์ ให้ชื่อว่า ARI-1 (Acinetobacter Resistant to Imipenem) หรือที่เรียกว่า OXA-23 (Paton et al., 1993) ในปัจจุบันพบ OXA type carbapenemases หลายชนิด ได้แก่ OXA-23-like, OXA-24/40-like, OXA-51-like, OXA-58-like และ OXA-143-like (Evans, & Amyes, 2014) การแพร่กระจายของ OXA type carbapenemases พบได้ทั่วโลก เช่น OXA-23-like พบในประเทศโคลัมเบีย อาร์เจนตินา บราซิล เลบานอน และเวียดนาม เป็นต้น (Villegas et al., 2007; Merkier et al., 2008; Carvalho et al., 2009; Nhu et al., 2014; Al Atrouni et al., 2016) OXA-58-like ส่วนใหญ่พบในทวีปยุโรป ได้แก่ ประเทศตุรกี กรีซ และอิตาลี (Kulah et al., 2010; Gogou et al., 2011; Migliavacca et al., 2013) OXA-24/40-like พบมากในบางประเทศแถบยุโรปและแอฟริกา (Lolans et al., 2006; Mendes et al., 2009) ส่วน OXA-143-like พบในประเทศบราซิล (Neves et al., 2016) สำหรับในประเทศไทย มีรายงานพบยืนดีอ็ต-oxya ในกลุ่ม OXA type carbapenemases ได้แก่ bla_{OXA-23} , $bla_{OXA-24/40}$ และ bla_{OXA-58} (Mendes et al., 2009) โดยพบความซุกของยืนดีอ็ต-oxya bla_{OXA-23} มากที่สุด ร้อยละ 80-100 ในโรงพยาบาลพุทธชินราช จังหวัดพิษณุโลก โรงพยาบาลศิริราช จังหวัดกรุงเทพมหานคร โรงพยาบาลสราษฎร์ประสุร จังหวัดอุบลราชธานี โรงพยาบาลหัวหิน จังหวัดประจวบคีรีขันธ์ และโรงพยาบาลมหาวิทยาลัยธรรมศาสตร์ จังหวัดปทุมธานี ส่วน $bla_{OXA40-like}$ พบในโรงพยาบาลหัวหิน จังหวัดประจวบคีรีขันธ์ ซึ่งมีลำดับนิวคลีอ�다อกล้าเดียว bla_{OXA-40} ถึง 99% (GenBank accession no. KJ748571) พบเป็นครั้งแรกในประเทศไทย และพบยืนดีอ็ต-oxya bla_{OXA-58} ในเชื้อ *A. baumannii* ที่แยกได้จากโรงพยาบาลสราษฎร์ประสุร โรงพยาบาลรามาธิบดี และโรงพยาบาลพระมงกุฎเกล้า (Niumsup et al., 2009; Thapa et al., 2010; Jantama et al., 2013; Jumroon, & Santanirand, 2013; Santimaleeworagun et al., 2014; Teo et al., 2015; Jantanawiwat et al., 2016)

ตาราง 1 แสดงชนิดของยาปฏิชีวนะ A. baumannii

	ชื่น	ตัวแทนของพัฒนา	ตัวอย่าง	แหล่งมา
Class A β-lactamase				
$\beta/\alpha_{\text{GES-11}}$	ผลิตภัณฑ์	β -lactams	Poirel et al., 2011	
$\beta/\alpha_{\text{TEM}}$	ผลิตภัณฑ์ที่รักษาไวรัส	cephalosporins (3 rd)	Manchanda et al., 2010	
Class B β-lactamase				
$\beta/\alpha_{\text{IMP}}$	ผลิตภัณฑ์	carbapenems	Poirel et al., 2011	
$\beta/\alpha_{\text{VIM}}$	ผลิตภัณฑ์	carbapenems	Poirel et al., 2011	
$\beta/\alpha_{\text{NDM}}$	ผลิตภัณฑ์ที่รักษาไวรัส	carbapenems	Zhang et al., 2013; Krahn et al., 2016	
Class C β-lactamase				
$\beta/\alpha_{\text{AmpC}}$	โคโนบิซส์	extended-spectrum cephalosporins	Poirel, & Nordmann, 2006	
Class D β-lactamase (OXA-type carbapenemase)				
$\beta/\alpha_{\text{OXA-23}}$	ผลิตภัณฑ์ที่รักษาไวรัส	carbapenems	Peleg et al., 2008	
$\beta/\alpha_{\text{OXA-24}}$	ผลิตภัณฑ์ที่รักษาไวรัส	carbapenems	Peleg et al., 2008	
$\beta/\alpha_{\text{OXA-51}}$	โคโนบิซส์	carbapenems	Peleg et al., 2008	
$\beta/\alpha_{\text{OXA-58}}$	ผลิตภัณฑ์ที่รักษาไวรัส	carbapenems	Peleg et al., 2008	

การถ่ายทอดยีน (gene transfer)

การถ่ายทอดยีนระหว่างแบคทีเรียสองชนิดนั้น จำเป็นต้องมีเซลล์แบคทีเรียผู้ให้ (donor cell) และเซลล์แบคทีเรียผู้รับ (recipient cell) เพื่อส่งผ่านยีน สามารถเกิดได้สองวิธี คือ การถ่ายทอดยีนในแนวตั้ง (vertical gene transfer) และการถ่ายทอดยีนในแนวราบ (horizontal gene transfer or lateral gene transfer)

การถ่ายทอดยีนในแนวตั้ง (vertical gene transfer) เป็นการถ่ายทอดยีนจากเซลล์พ่อแม่ไปยังเซลล์ลูกในขณะที่มีการแบ่งตัว ทำให้ยีนที่ถ่ายทอดมา มีลักษณะเหมือนเซลล์พ่อแม่ ส่วนการถ่ายทอดยีนในแนวราบ (horizontal gene transfer or lateral gene transfer) เป็นการถ่ายทอดยีนจากเซลล์แบคทีเรียชนิดหนึ่ง ไปให้แบคทีเรียอีกชนิดหนึ่งซึ่งไม่ใช่เซลล์พ่อแม่ การถ่ายทอดยีนในแนวราบ จัดว่ามีความสำคัญทางการแพทย์ เนื่องจากพบว่าการถ่ายทอดในลักษณะนี้ส่งผลให้แบคทีเรียดื้อยาต้านจุลชีพมากขึ้น การถ่ายทอดยีนในแนวราบ ประกอบด้วยสามกระบวนการ คือ หวานสฟอร์เมชัน หวานสตักชัน และคอนจูเกชัน

1. หวานสฟอร์เมชัน (transformation) เป็นการรับเอา free DNA ที่ส่องคลายอยู่ในสิ่งแวดล้อม เข้ามาในเซลล์ผู้รับ (recipient cell) เนื่องจากเซลล์ผู้ให้มีการปล่อยสลายหรือเซลล์แตกพบรโดย Fred Griffith, et al. ที่ศึกษาปรากฏการณ์ในปี ค.ศ. 1928 กระบวนการหวานสฟอร์เมชัน มีอยู่สองวิธีด้วยกัน ได้แก่ หวานสฟอร์เมชันที่สามารถเกิดได้ทั่วไปตามธรรมชาติ (Natural transformation) ซึ่งมีเพียงแบคทีเรียบางสกุลเท่านั้นที่สามารถเกิด Natural transformation ได้ เช่น *Bacillus*, *Campylobacter*, *Haemophilus*, *Neisseria*, *Pseudomonas*, *Helicobacter* และ *Acinetobacter* (Lorenz, & Wackernagel, 1994; Vries, & Wackernagel, 2002) โดยเซลล์แบคทีเรียที่สามารถรับเอา DNA หรือที่พร้อมรับเอา DNA เข้าไปในเซลล์ได้ เรียกว่า competent cell ขั้นตอนการหวานสฟอร์เมชันตามธรรมชาตินั้น เริ่มจากเซลล์แบคทีเรียผู้ให้ (donor cell) พยายามและมีการปล่อยสลาย DNA ออกมานอกจาก DNA fragment ของเซลล์แบคทีเรียผู้ให้จับกับ DNA binding protein บนผนังเซลล์ของเซลล์แบคทีเรียผู้รับ (recipient cell) หลังจากนั้นเอนไซม์นิวคลีอส์ทำ การตัดสาย DNA fragment สายใดสายหนึ่งของเซลล์แบคทีเรียผู้ให้ สายเดียวของเซลล์แบคทีเรียผู้ให้ จะสามารถผ่านเข้าห้องชุดระหว่างเซลล์ และเข้าไปภายในเซลล์ของแบคทีเรียผู้รับ เกิดการถ่ายทอดสารพันธุกรรมกันระหว่างเซลล์แบคทีเรียผู้ให้และเซลล์แบคทีเรียผู้รับ (ภาพ 2) (Lorenz, & Wackernagel, 1994) ส่วนหวานสฟอร์เมชันที่เกิดในห้องปฏิบัติการ หรือที่เรียกว่า Artificial transformation แบคทีเรียหลายชนิด ไม่มีคุณสมบัติเป็น competent cell ในธรรมชาติ จึงต้องมีการซักนำให้เป็น competent cell ก่อน เพื่อทำการหวานสฟอร์เมชันต่อไป กระบวนการ

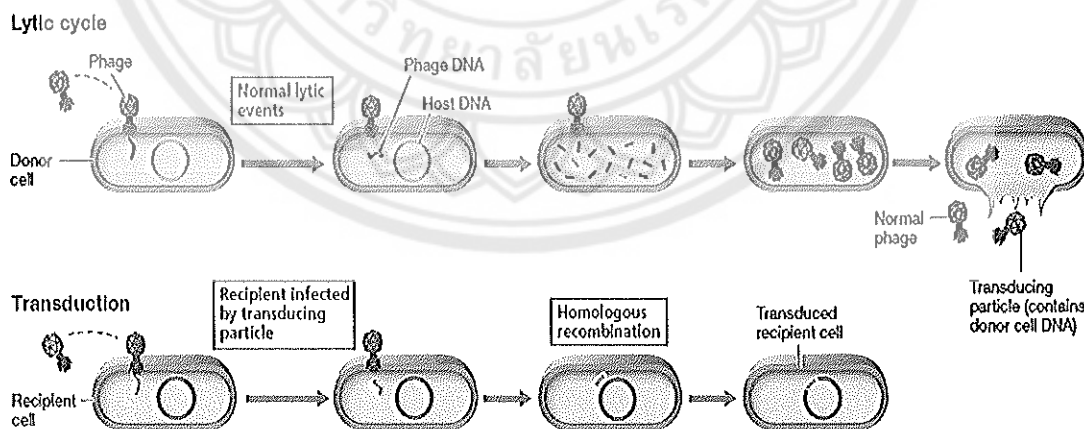
กระบวนการสฟอร์เมชันที่เกิดในห้องปฏิบัติการ มีสองวิธีที่นิยม คือ การใช้สารเคมีและการใช้กระแทกไฟฟ้าในการกระตุ้นให้เซลล์ผู้รับมีคุณสมบัติเป็น competent cell การใช้สารเคมีในการกระตุ้น เริ่มจากทำการเลี้ยงเซลล์แบคทีเรียให้อยู่ในระยะ log phase นำไปปั่นเหวี่ยง ละลายลงไปใน CaCl_2 จากนั้นนำไปปั่นที่อุณหภูมิ 4 องศาเซลเซียส นำ competent cell ที่ได้เติมพลาสมิดที่ศึกษาลงไปนำไป heat shock โดยใช้ความร้อน 42 องศาเซลเซียส เป็นเวลา 1-2 นาที หลังจากนั้นเติมอาหารเลี้ยงเชื้อ แล้วนำไปปั่นที่อุณหภูมิ 37 องศาเซลเซียส ให้มีการแสดงออกของยีน และนำไปเพาะเลี้ยงบนอาหารเลี้ยงเชื้อที่เหมาะสม ส่วนการใช้กระแทกไฟฟ้า เป็นการนำเซลล์แบคทีเรียผสมกับพลาสมิดแล้วนำไปให้กระแทกไฟฟ้าที่ความต่างศักย์สูง ทำให้พลาสมิดสามารถเข้าสู่เซลล์แบคทีเรียได้ดียิ่งขึ้น แล้วจึงนำไปคัดเลือกโดยทำการเพาะเลี้ยงบนอาหารเลี้ยงเชื้อที่มียาต้านจุลชีพ เพื่อคัดเลือกเซลล์แบคทีเรียที่ต้องการ วิธีนี้นิยมใช้ในแบคทีเรียที่มีผนังเซลล์หนา (Dale, 1995)



ภาพ 2 แสดงกระบวนการทวนสฟอร์เมชัน

ที่มา: Madigan et al., 2012

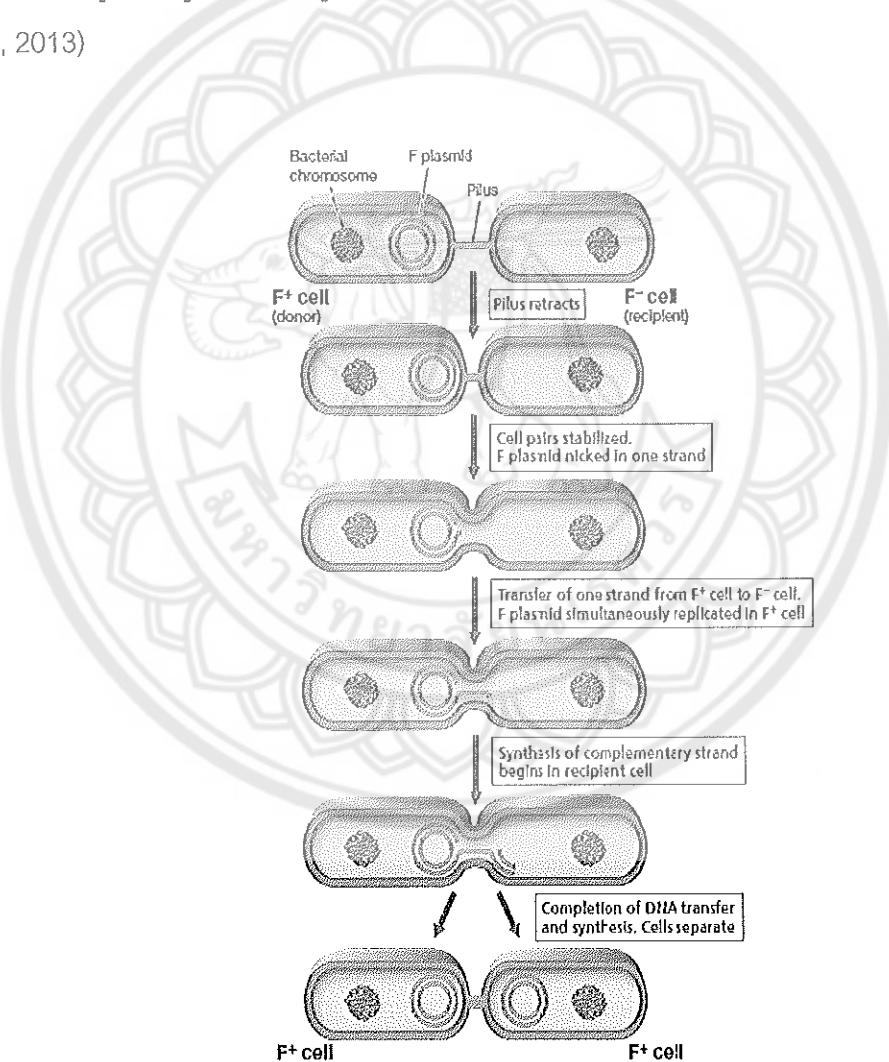
2. ทราณสตั๊กชั่น (transduction) เป็นกระบวนการเคลื่อนย้ายยีนของเซลล์แบคทีเรีย ชนิดหนึ่งไปสู่เซลล์แบคทีเรียอีกชนิด โดยมีแบคทีเรียโอลิฟเจจเป็นตัวนำพายีน ภายใต้การควบคุมของแบคทีเรียอยู่ ยีนถูกจัดเข้าไปในแบคทีเรียอีกชนิดหนึ่งได้ เกิดการถ่ายทอดยีนระหว่างกัน (Baker et al., 2011) กระบวนการทราณสตั๊กชั่นมีสองแบบ คือ ทราณสตั๊กชั่นทั่วไป (generalized transduction) และทราณสตั๊กชั่นจำเพาะที่ (specialized transduction) ทราณสตั๊กชั่นทั่วไป เกิดกับ lytic phage เมื่อเฟจเกะติดกับเซลล์แบคทีเรีย สงผ่านกรดนิวคลีอิกเข้าไปภายในเซลล์ แบคทีเรีย กรดนิวคลีอิกของเฟจมีการแบ่งตัวเพิ่มจำนวน และทำให้ครโนโซมหรือกรดนิวคลีอิกของ แบคทีเรียแตกออกเป็นห่อน (fragment) จากนั้นถูกนำไปรวมกันใหม่ ครโนโซมหรือยีนที่อยู่ในเฟจ เมื่อประกอบกันเป็นเฟจที่สมบูรณ์ ออกจากเซลล์แบคทีเรียไปเกะติดกับแบคทีเรียตัวใหม่ สงผ่านกรดนิวคลีอิกเข้าไปในเซลล์แบคทีเรียตัวใหม่ ครโนโซมหรือยีนที่อยู่ในเฟจเข้าไปแทรกอยู่ใน แบคทีเรียตัวใหม่ เกิดการถ่ายทอดยีนให้แก่กัน (ภาพ 3) ส่วนทราณสตั๊กชั่นจำเพาะที่ (specialized transduction) เกิดขึ้นกับ lysogenic phage เช่น แಲมด้าเฟจ (lambda phage) โดยกรดนิวคลีอิก ถูกแทรกเข้าไปภายในครโนโซมของเซลล์เจ้าบ้าน (host cell) เมื่อสภาวะเหมาะสม ถูกเหนี่ยงทำ ให้เข้าสู่ lytic cycle เมื่อเกิดการแบ่งตัวเพิ่มจำนวนของเฟจ เซลล์แบคทีเรียแตก ปลดปล่อยอนุภาค ของเฟจออกมานา เมื่อไปเกะติดกับเซลล์แบคทีเรียตัวใหม่ จะนำกรดนิวคลีอิกเข้าไปในครโนโซม ของเซลล์เจ้าบ้าน เกิดการถ่ายทอดยีนให้แก่กัน (Awwal, & Abalaka, 2011)



ภาพ 3 แสดงกระบวนการทราณสตั๊กชั่น

ที่มา: Madigan et al., 2012

3. คุณจูเกชั่น (conjugation) ถูกค้นพบโดย Lederberg และ Tatum ในปี ค.ศ. 1946 เป็นกระบวนการที่เกี่ยวข้องกับการถ่ายทอดยีนหรือพลาสมิดระหว่างเซลล์แบคทีเรียโดยตรง มีการสัมผัสกันระหว่างสองเซลล์ คือ เซลล์แบคทีเรียที่เรียกว่า F⁺ หรือที่เรียกว่า F⁺ และ เซลล์แบคทีเรียที่เรียกว่า F⁻ ไม่มี F plasmid หรือที่เรียกว่า F⁻ โดยเซลล์แบคทีเรียที่มี F plasmid (F⁺) สร้าง sex pilus ดึงเซลล์แบคทีเรียที่ไม่มี F plasmid (F⁻) มาใกล้กัน เกิดการเข้ามต่อ กัน ตัดสายใย DNA หนึ่งของพลาสมิดส่งไปให้แบคทีเรียที่ไม่มี F plasmid สร้างอีกหนึ่งสายที่เข้าคู่กันขึ้นมา ส่วนเซลล์แบคทีเรียที่มี F plasmid สร้างอีกหนึ่งสายที่เข้าคู่กัน เกิดการถ่ายทอดพลาสมิดหรือยีน จากแบคทีเรียที่เรียกว่า F⁺ ไปสู่แบคทีเรียที่เรียกว่า F⁻ ผ่านกระบวนการ homologous recombination (ภาพ 4) (Black, 2013)



ภาพ 4 แสดงกระบวนการคุณจูเกชั่น

ที่มา: Madigan et al., 2012

การถ่ายทอดยีนต้านยาในแนวราบของแบคทีเรีย (horizontal gene transfer of antibiotic resistance genes in bacteria)

การถ่ายทอดยีนต้านยาในเชื้อแบคทีเรียก่อโรคเพิ่มสูงขึ้นอย่างรวดเร็วและจัดเป็นภัยคุกคามต่อปัญหาสุขภาพของประชากรทั่วโลก กลไกสำคัญที่ส่งเสริมให้มีการแพร่กระจายของยีนต้านยามากที่สุด คือ การถ่ายทอดยีนในแนวราบ หรือ horizontal gene transfer (Davies, & Davies, 2010) ซึ่งประกอบด้วยสามกลไกหลัก ได้แก่ ทราบสฟอร์เมชัน ทราบดักชั่น และคอนจูเกชัน โดยพบว่า คอนจูเกชัน เป็นกลไกหลักที่ทำให้เกิดการถ่ายทอดยีนต้านยาในแบคทีเรีย (Dzidic, & Bedekovic, 2003)

1. ทราบสฟอร์เมชัน

ในปี ค.ศ. 2010 Bertini et al. ได้ทำการศึกษาการส่งผ่านยีนโดยวิธีทราบสฟอร์เมชัน ใช้กระแทกไฟฟ้าความต่างศักย์สูงในการนำพลาสมิดที่มียีนต้านยา *bla_{OXA-58}* ของเชื้อ *A. baumannii* Ab120066 ไปสู่เชื้อแบคทีเรียผู้รับ *A. baumannii* BM4547 ซึ่งไม่ต้องอาศัยตัวกลางชีพ จากการศึกษาพบว่า เชื้อแบคทีเรียผู้รับมียีนต้านยา *bla_{OXA-58}* สงผลให้เชื้อดื้อต่อยาต้านจุลชีพในกลุ่ม carbapenem ตามมา (Bertini et al., 2010) ต่อมา Ramirez et al. ได้ค้นพบ *A. baumannii* A118 ที่แยกได้จากสิ่งสังเคราะห์เจือดของผู้ป่วยภายในโรงพยาบาลลูโนสเตร์ ในประเทศอาร์เจนตินา ซึ่งเป็นสายพันธุ์ที่สามารถรับเอ็นโซหรือเข้ามาภายในเซลล์โดยธรรมชาติ ไม่ต้องใช้สารเคมีหรือกระแสไฟฟ้าเข้ามากระตุ้น (Ramirez et al., 2010)

ส่วนในปี ค.ศ. 2011 Pour et al. ศึกษาระบวนการทราบสฟอร์เมชัน โดยใช้พลาสมิดของเชื้อ *A. baumannii* A3 เป็นแบคทีเรียผู้ให้ และ *A. baylyi* 7056 trpE เป็นแบคทีเรียผู้รับ เมื่อได้โคลนีของ transformants นำมาตรวจสอบหาค่า MIC เพื่อเปรียบเทียบกับแบคทีเรียผู้รับ พบว่า transformants ที่ได้มีค่า MIC ของยาต้านจุลชีพสูงขึ้นมากกว่า 8 เท่า และมีค่า transformation efficiency เท่ากับ 2.9×10^3 transformants μg^{-1} plasmid DNA (Pour et al., 2011)

จากนั้นในปี ค.ศ. 2012 Ramirez et al. ได้ทำการศึกษาการถ่ายทอดยีนต้านยา *bla_{CTX-M-2}* โดยใช้พลาสมิดของเชื้อ *Proteus mirabilis* ที่มียีนต้านยา *bla_{CTX-M-2}* เข้าไปใน *A. baumannii* A118 ซึ่งไม่ต้องยา CTX, CAZ และ FEP จากการศึกษาพบว่ายีน *bla_{CTX-M-2}* สามารถถ่ายทอดยีนต้านยาให้ *A. baumannii* A118 ได้ ทำให้เกิดการแพร่กระจายของยีนต้านยา *bla_{CTX-M-2}* (Ramirez et al., 2012) ในปีเดียวกัน Rumbo et al. ศึกษาการถ่ายทอดยีนในแนวราบ (horizontal gene transfer) ของยีน OXA-24 carbapenemase ผ่าน outer membrane vesicles (OMVs) ซึ่งมีการศึกษา ก่อนหน้าว่าอาจถ่ายทอดสารพันธุกรรมระหว่างแบคทีเรียสปีชีส์เดียวกันได้ จากระบวนการทราบสฟอร์เมชัน โดยใช้ *A. baumannii* สายพันธุ์ H120-A2 และ H120-CU3

ที่พลาสมิดมียีนดีออยา $\text{bla}_{\text{OXA-24}}$ เป็นแบคทีเรียผู้ให้ และ *A. baumannii* ATCC17978 เป็นแบคทีเรียผู้รับ จากการศึกษาแสดงให้เห็นว่า *A. baumannii* ที่สามารถปลดปล่อย OMVs ที่มียีนดีออยา $\text{bla}_{\text{OXA-24}}$ ออกมานำมาทำให้เกิดการแพร่กระจายของยีนดีออยา โดยเฉพาะยีนที่ต่อตัวในกลุ่ม carbapenems ได้ (Rumbo et al., 2011) นอกจากนี้ Fu et al. ยังพบว่าเชื้อ *Acinetobacter* spp. ที่มีพลาสมิดที่มียีนดีออยา $\text{bla}_{\text{NDM-1}}$ สามารถส่งผ่านยีนดีออยาไปสู่เชื้อแบคทีเรียผู้รับ *A. baylyi* ADP1 ได้ โดยอาศัยกระบวนการกรองสารฟอร์เมชั่นแบบใช้กระ┃เสไฟฟ้าเข้ามาช่วย (Fu et al., 2012)

ปี ค.ศ. 2013 Higgins et al. พบร่องรอยการแพร่กระจายของยีนดีออยาใน *A. baumannii* ATCC17978 โดยใช้กระ┃เสไฟฟ้าเข้ามาช่วยกระบวนการตีนเซลล์แบคทีเรียให้พร้อมรับดีเจ็นเนอหรือยีนเข้าไปภายใต้กระ┃เสไฟฟ้าเข้ามาช่วยกระบวนการตีนเซลล์ เมื่อทำการกรองสารฟอร์เมชั่นเข้าไปใน *A. baumannii* ATCC17978 พบร่องรอยเชื้อต่อตัวในกลุ่ม carbapenem เมื่อเทียบกับสายพันธุ์ที่ไม่ได้เกิดกระบวนการกรองสารฟอร์เมชั่น แสดงให้เห็นว่ากระบวนการกรองสารฟอร์เมชั่นสามารถถ่ายทอดยีนดีออยาระหว่างแบคทีเรียได้ (Higgins et al., 2013) และในปีเดียวกัน Krizova et al. ได้ทำการศึกษาการถ่ายทอดยีน $\text{bla}_{\text{TEM-1}}$ โดยกระบวนการกรองสารฟอร์เมชั่น ใช้ *E. coli* ที่มีพลาสมิด pAT801 ซึ่งมียีน $\text{bla}_{\text{TEM-1}}$ อยู่ เป็นเซลล์แบคทีเรียผู้ให้ แล้วทำการกรองสารฟอร์เมชั่นเข้าไปใน *E. coli* Top10 และ *A. baumannii* NPH56 ซึ่งไม่มียีน $\text{bla}_{\text{TEM-1}}$ อยู่ พบร่องรอยการแพร่กระจายของยีน $\text{bla}_{\text{TEM-1}}$ ได้โดยอาศัยกระบวนการกรองสารฟอร์เมชั่น มีการใช้กระ┃เสไฟฟ้าเข้าช่วย ทำการตรวจสอบหา_yin $\text{bla}_{\text{TEM-1}}$ โดยวิธีพีซีอาร์ และตรวจสอบพลาสมิด pAT801 เพื่อทำการยืนยันว่าพนยິນและพลาสมิดที่มียีนดีออยา $\text{bla}_{\text{TEM-1}}$ อยู่ในเซลล์แบคทีเรียผู้รับ แล้วส่งผลให้เกิดการแพร่กระจายของเชื้อดีออยา (Krizova et al., 2013)

และในปี ค.ศ. 2014 พบร่องรอยการแพร่กระจายของยีนดีออยา $\text{bla}_{\text{OXA-58}}$ จาก *Acinetobacter* spp. ไปสู่เชื้อ *A. baumannii* LS0148 ซึ่งเป็นแบคทีเรียผู้รับ ใช้อาหารเลี้ยงเชื้อที่มียาต้านจุลชีพ ticarcillin เป็นตัวคัดเลือก transformants ที่ได้ ผลการศึกษาพบว่าเชื้อแบคทีเรียผู้รับมียีนดีออยา $\text{bla}_{\text{OXA-58}}$ และยังต่อตัวต้านจุลชีพในกลุ่ม carbapenem ที่ระดับความเข้มข้นเพิ่มสูงขึ้นอีกด้วย (Fu et al., 2014)

จากการศึกษาทดลองการถ่ายทอดยีนดีออยาโดยอาศัยกระบวนการกรองสารฟอร์เมชั่น พบร่องรอย *A. baumannii* สามารถถ่ายทอดยีนดีออยา ได้แก่ $\text{bla}_{\text{OXA-23}}$, $\text{bla}_{\text{OXA-24}}$, $\text{bla}_{\text{OXA-58}}$ และ $\text{bla}_{\text{NDM-1}}$ ไปสู่แบคทีเรียผู้รับได้ ซึ่งโดยส่วนใหญ่จะเป็นต้องใช้กระ┃เสไฟฟ้าในการกรองตัวให้เซลล์แบคทีเรียผู้รับพร้อมที่จะรับยีนดีออยาเข้าไปภายใต้กระ┃เสไฟฟ้า ในการถ่ายทอดยีนดีออยาระหว่างกัน

2. ทราบสตั๊กชั่น

เป็นการถ่ายทอดยีนหรือดีเอ็นเอจากแบคทีเรียเซลล์หนึ่งไปยังแบคทีเรียอีกเซลล์หนึ่งโดยมีแบคเทอโริโอเฟจเป็นพาหะ ในปัจจุบันยังไม่มีการศึกษาใน *A. baumannii* แต่มีการศึกษาในแบคทีเรียชนิดอื่น ได้แก่

การศึกษาของ Mazaheri Nezhad Fard, Barton, & Heuzenroeder ในปี ค.ศ. 2011 ได้ทำการศึกษาระบวนการทราบสตั๊กชั่นในแบคทีเรีย Enterococci โดยใช้แบคเทอโริโอเฟจที่แยกได้จาก *Enterococcus gallinarurum* EGRM195, *Enterococcus faecalis* EFRM31 และ EFRM42 จากการศึกษาแสดงให้เห็นว่าแบคเทอโริโอเฟจที่แยกได้จากแบคทีเรีย Enterococci มีบทบาทสำคัญในการถ่ายทอดยีนดี'อยา tetracycline (*tet(M)*) และ gentamicin (*ant2-1*) ระหว่างแบคทีเรียสปีชีส์เดียวกันหรือแบคทีเรียต่างสปีชีส์ในกลุ่ม Enterococci (Mazaheri Nezhad Fard et al., 2011)

ต่อมาในปี ค.ศ. 2012 Varga et al. ได้ทำการศึกษาการถ่ายทอด พลาสมิดที่มียีนดี'อยา โดยกระบวนการทราบสตั๊กชั่นใน methicillin-resistant *Staphylococcus aureus* (MRSA) USA300 ซึ่งพบว่ามีพลาสมิดดี'อยาต้านจุลชีพในวงกว้าง (broad spectrum) ในการศึกษาครั้งนี้ใช้แบคเทอโริโอเฟจสองชนิด คือ Ø80α และ ØJB ในการซักนำให้มีการนำพลาสมิดที่มียีนดี'อยาเข้าสู่เซลล์แบคทีเรีย พบร่วมกับความสำคัญในการเกิดกระบวนการทราบสตั๊กชั่น นำพลาสมิด penicillinase และพลาสมิดที่ดี'อยา tetracycline ถ่ายทอดพลาสมิดเข้าไปใน USA300 โดย Ø80α และ ØJB เป็นผลให้มีการแพร่กระจายของพลาสมิดที่มียีนดี'อยาในเชื้อ *S. aureus* (Varga et al., 2012)

ในปี ค.ศ. 2015 Giovanetti et al. ทำการศึกษาระบวนการทราบสตั๊กชั่นของ *Streptococcus pyogenes* bacteriophage Øm46.1 ที่มียีนดี'อยา *mef(A)* และ *tet(O)* ไปสู่ *Streptococcus* สปีชีส์อื่นๆ พบร่วมกับความสามารถส่งผ่านยีนดี'อยาไปสู่ *S. agalactiae*, *S. gordonii* และ *S. suis* ได้ด้วยกระบวนการทราบสตั๊กชั่น (Giovanetti et al., 2015) ส่วนในแบคทีเรียแกรมลบ มีการศึกษาในเชื้อ *E. coli* โดยใช้แบคเทอโริโอเฟจที่แยกได้จากตัวอย่างเนื้อไก่เป็นตัวนำพายีนดี'อยา จากการศึกษาพบว่าแบคเทอโริโอเฟจที่แยกได้จากตัวอย่างเนื้อไก่ สามารถนำพายีนดี'อยา *aphA1*, *tet(A)*, *floR* และ *bla_{TEM-1}* ไปสู่เชื้อแบคทีเรียผู้รับ *E. coli* ATCC13706 ทำให้พบแบคทีเรียเพิ่มมากขึ้น (Shousha et al., 2015)

จากที่กล่าวมาข้างต้นจะเห็นได้ว่าในปัจจุบันแบคเทอโริโอเฟจเริ่มเข้ามานำไปทบทวนในการถ่ายทอดยีนดี'อยาระหว่างแบคทีเรียตัวกับตัว โดยอาศัยกระบวนการทราบสตั๊กชั่น ซึ่งยังมี

ผู้ศึกษาในแบคทีเรียแกรมลบจำนวนน้อยมาก เมื่อเทียบกับการศึกษาการถ่ายทอดยีนโดยอาศัยกระบวนการ หวานส์ฟอร์เมชั่นและคอนจูเกชั่น

3. คอนจูเกชั่น

เป็นกระบวนการถ่ายทอดยีนจากเซลล์แบคทีเรียชนิดหนึ่งไปให้เซลล์แบคทีเรียชนิดหนึ่งโดยตรง ผ่านอวัยวะพิเศษที่เรียกว่า pili เมื่อเซลล์สองตัวมาอยู่ใกล้กัน เซลล์หนึ่งยึด pill ไปเชื่อมกับอีกเซลล์ เกิดการถ่ายทอดยีนดื้อยาให้แก่กัน

ในปี ค.ศ. 2000 Bou, Oliver, & Martinez-beltran ได้ทำการศึกษาการถ่ายทอดการดื้อยาในกลุ่ม β -lactam โดยกระบวนการคอนจูเกชั่นจาก *A. baumannii* RYC52763/97 ซึ่งตือต่อยาในกลุ่ม β -lactam เช่นไปสู่ *E. coli* และ *A. junii* พบร่วมกันสามารถถ่ายทอดการดื้อยาในกลุ่ม β -lactam ผ่านกระบวนการคอนจูเกชั่นได้ (Bou et al., 2000)

ในปี ค.ศ. 2007 Valenzuela et al. ศึกษาการถ่ายทอดยีนในแนวราบ (horizontal gene transfer) ของ Carbapenem-resistant *Acinetobacter baumannii* (CR-AB) โดยอาศัยกระบวนการคอนจูเกชั่น พบว่าไม่ประสบความสำเร็จในการเคลื่อนย้ายพลาสมิดของ *A. baumannii* MW96 เข้าไปใน *E. coli* UB5201Rf (Valenzuela et al., 2007)

จากนั้นในปี ค.ศ. 2010 Bertini et al. ได้ทำการศึกษาการถ่ายทอดยีนดื้อยา *bla_{OXA-23}* โดยกระบวนการคอนจูเกชั่น พบร่วมกันสามารถถ่ายทอดยีนดื้อยา *bla_{OXA-23}* เข้าสู่แบคทีเรียผู้รับ *A. baumannii* BM4547 ได้ (Bertini et al., 2010)

ส่วนปี ค.ศ. 2011 Potron et al. ทำการศึกษาการถ่ายทอดยีนดื้อยา *bla_{NDM-1}* ในแบคทีเรียแกรมลบรุ่นร่างท่อน โดยอาศัยกระบวนการคอนจูเกชั่น เซลล์แบคทีเรียผู้ให้มี 5 สายพันธุ์ ได้แก่ *K. pneumoniae* 601 และ 419, *K. pneumoniae* Kp7, *E. coli* GUE และ *E. coli* 271 ส่วนเซลล์แบคทีเรียผู้รับ คือ *E. coli* J53 นำมาคัดเลือกสายพันธุ์บนอาหารเตี้ยงเหือกมียา cefoxitin และ azide พบร่วมกันสามารถถ่ายทอดยีนดื้อยา *bla_{NDM-1}* ไปสู่เซลล์แบคทีเรียผู้รับ *E. coli* J53 ได้ มีค่า Conjugation frequencies หรือ CF เท่ากับ 10^{-4} ถึง 10^{-3} transconjugants/donor (Potron et al., 2011)

ต่อมาในปี ค.ศ. 2012 Fu et al. ได้ทำการศึกษาการถ่ายทอดยีนดื้อยา *bla_{NDM-1}* ผ่านกระบวนการคอนจูเกชั่น โดยใช้ non-*baumannii* *Acinetobacter* spp. ที่พลาสมิดมียีนดื้อยา *bla_{NDM-1}* เป็นเซลล์แบคทีเรียผู้ให้ เกิดกระบวนการคอนจูเกชั่นเข้าไปใน *E. coli* J53 ซึ่งใช้เป็นเซลล์แบคทีเรียผู้รับ พบร่วมกันสามารถถ่ายทอดพลาสมิดที่มียีนดื้อยา *bla_{NDM-1}* ให้แก่ *E. coli* J53 ได้ ทำให้

เซลล์แบคทีเรียผู้รับดื้อต่อยาเชฟาโรสฟอริวินทุกชนิดและดื้อต่อยาในกลุ่ม β -lactam (Fu et al., 2012)

นอกจากนี้ในปี ค.ศ. 2014 มีรายงานพบว่าเชื้อ *A. baumannii* Ab453 และ Ab537 สามารถถ่ายทอดยีนดื้อยา bla_{OXA-23} และ bla_{GES-11} ไปสู่เชื้อ *A. baumannii* BM4547 โดยอาศัยกระบวนการครอบคลุมเจ้าตัว ทำให้แบคทีเรียผู้รับดื้อต่อยาต้านจุลชีพตามมา (Charfi-Kessis et al., 2014) และยังมีรายงานของ Talreja et al. พบว่ากระบวนการครอบคลุมเจ้าตัวสามารถถ่ายทอดยีนดื้อยา quinolone ($aaC(6')-lb$) และยีนดื้อยา tetracycline ($tet(E)$, $tet(B)$) ของเชื้อ MDR-AB 'ไปสู่เชื้อ *E. coli* J53' ได้มีค่า CF เท่ากับ 10^4 transconjugants/donor (Talreja et al., 2014)

ส่วนในปี ค.ศ. 2015 Yang et al. ทำการศึกษาการถ่ายทอดยีนดื้อยาภายใต้ Carabapenem non-susceptible *A. nosocomial* (CNSAN) และ *A. baumannii* สายพันธุ์ 218 และ 102 ซึ่งไวต่อยาต้านจุลชีพในกลุ่ม carbapenem และไม่มียีนดื้อยา จากการศึกษาพบว่า CNSAN สามารถถ่ายทอดยีนดื้อยา bla_{OXA-58} และ bla_{IMP-1} ไปสู่แบคทีเรียผู้รับประสบความสำเร็จ ตรวจพบยีนดื้อยาในแบคทีเรียผู้รับ ค่า MIC ของยา IPM ในแบคทีเรียผู้รับสูงขึ้นจาก $0.75 \mu\text{g/ml}$ ไปเป็น $32 \mu\text{g/ml}$ (Yang et al., 2015) และในปี ค.ศ. 2016 มีรายงานการศึกษาพบว่ากระบวนการครอบคลุมเจ้าตัวสามารถถ่ายทอดยีนดื้อยา bla_{NDM-1} จากแบคทีเรียผู้ให้ *A. baumannii* A4183 'ไปสู่แบคทีเรียผู้รับ *E. coli* J53' โดยใช้ยา IPM ความเข้มข้น $0.5 \mu\text{g/ml}$ และ sodium azide ความเข้มข้น $100 \mu\text{g/ml}$ เป็นตัวคัดเลือก transconjugants (Ramoul et al., 2016)

จากที่กล่าวมาข้างต้น แสดงให้เห็นว่าเชื้อ *A. baumannii* สามารถถ่ายทอดการดื้อยา และยีนดื้อยาให้แก่แบคทีเรียสายพันธุ์เดียวกันและต่างสายพันธุ์ได้ โดยอาศัยกระบวนการครอบคลุมเจ้าตัวในการการส่งผ่านยีนดื้อยา เป็นผลให้ในปัจจุบันพบอุบัติการณ์การดื้อต่อยาต้านจุลชีพเพิ่มสูงขึ้น และยังทำให้การรักษาโรคติดเชื้อทำได้ยากยิ่งขึ้นอีกด้วย

ตาราง 2 แสดงการต่อต้านตัวอย่างในแอนวารานาของแบคทีเรีย

เชื้อแบคทีเรีย	ยีนต์อย่า	กระบวนการกำจัด	แหล่งที่มา
เชลล์ใหญ่	เชลล์ใหญ่	ยีนต์อย่า	ถ่ายทอดสืบต่อๆ กัน
<i>A. baumannii</i> Ab12006	<i>A. baumannii</i> BM4547 b/a _{OXA-58}	ทราบจากเว็บไซต์	Bertini et al., 2010
<i>Proteus mirabilis</i>	<i>A. baumannii</i> A118 b/a _{ctx-M-2}	ทราบจากเว็บไซต์	Ramirez et al., 2012
<i>A. baumannii</i> ที่ดูดซับยา carbapenem สายพันธุ์	<i>A. baumannii</i> ATCC 17978	ทราบจากเว็บไซต์	Rumbo et al., 2011
AbH120-A2 และ AbH120-CU3			
<i>Acinetobacter</i> spp.	<i>A. baylyi</i> ADP1 b/a _{NDM-1}	ทราบจากเว็บไซต์	Fu et al., 2012
<i>Acinetobacter</i> spp.	<i>A. baumannii</i> LS0148 b/a _{OXA-58}	ทราบจากเว็บไซต์	Fu et al., 2014
Enterococci	Enterococci tetracycline (<i>tetM</i>) และ gentamicin (<i>ant2-1</i>)	ทราบสัดส่วน โดยใช้เจลที่แยกได้จาก <i>E. gallinarum</i> EGRM195 , <i>E. faecalis</i> EFRM31 และ EFRM42	Mazaheri Nezhad Fard et al., 2011

ตาราง 2 (ต่อ)

เชื้อแบคทีเรีย	เชื้อแบคทีเรีย	ภูมิคุ้มกัน	กระบวนการกำจัดเชื้อแบคทีเรีย	แหล่งมา
เชื้อส์ฟอร์	เชื้อส์ฟอร์			
Methicillin-resistant <i>S. aureus</i> USA300 (MRSA) USA300	MRSA USA300	พลาสมิเด penicillinase และพลาสมิเดทีโอทียา tetracycline	ทราสนสต็อกน้ำโดยใช้ไฟฟ้า Ø800 μ และ ØJB Øm46.1	Varga et al., 2012
<i>Streptococcus pyogenes</i>	<i>Streptococcus spp.</i>	<i>meff(A)</i> และ <i>tet(O)</i>	ทราสนสต็อกน้ำโดยใช้ไฟฟ้า Øm46.1	Giovanetti et al., 2015
<i>E. coli</i>	<i>E. coli</i> ATCC13706	<i>aphA1</i> , <i>tet(A)</i> , <i>floR</i> และ <i>b/a_{TEM-1}</i>	ทราสนสต็อกน้ำโดยใช้ไฟฟ้า ได้จากการติดเชื้อในไก่	Shousha et al., 2015
<i>A. baumannii</i>	<i>A. baumannii</i> BM4547	<i>b/a_{OXA-23}</i>	คหบงจุก้าว	Bertini et al., 2010
<i>K. pneumoniae</i> 601 และ <i>K. pneumoniae</i> 419 , <i>K. pneumoniae</i> Kp7 , <i>E. coli</i> GUS และ <i>E. coli</i> 271	<i>E. coli</i> J53	<i>b/a_{NDM-1}</i>	คหบงจุก้าว	Potron et al., 2011

ตาราง 2 (ต่อ)

ເຮືອແບບທີ່ໄຊ	ຄືນຕົວຍາ	ກະຂະປວງນກາຣ	ແຫລ້ງທີ່ມາ
ເປັດສູນໄຟ	ເປັດສູນໄຟ	ຄໍາຢາຫອດຍິນຕົວຍາ	
non- <i>baumannii</i>	<i>E. coli</i> J53	<i>bla</i> _{NDM-1}	Fu et al., 2012
<i>Acinetobacter spp.</i> ທີ່ພາສົມດີເນື່ອມື້ມາ			
<i>bla</i> _{NDM-1}			
<i>A. baumannii</i> Ab453 ແລະ Ab537	<i>A. baumannii</i> BM4547	<i>bla</i> _{OXA-23} ແລະ <i>bla</i> _{GES-11}	Charfi-Kessis et al., 2014
MDR-AB	<i>E. coli</i> J53	<i>aaC (6')-Ib, (tetE) 45%</i> <i>tet(B)</i>	Talreja et al., 2014
Carbapenem non susceptible <i>A.</i> <i>nosocomial</i> (CNSAN)	<i>A. baumannii</i> 218	<i>bla</i> _{OXA-58} ແລະ <i>bla</i> _{IMP-1}	Yang et al., 2015
<i>A. baumannii</i> A4183	<i>E. coli</i> J53	<i>bla</i> _{NDM-1}	Ramoul et al., 2016

บทที่ 3

วิธีดำเนินงานวิจัย

สายพันธุ์แบคทีเรียและแบคเทอโริโอเฟจที่ใช้ในการศึกษา

สายพันธุ์แบคทีเรียที่ใช้ในการศึกษาครั้งนี้ได้แก่ *A. baumannii* จำนวน 106 ไอโซเลต ที่แยกได้จากผู้ป่วยในโรงพยาบาลเชียงรายประชานุเคราะห์ จังหวัดเชียงราย ในช่วงเดือนกรกฎาคมถึงเดือนตุลาคม ในปี พ.ศ. 2557 *A. baumannii* จำนวน 54 ไอโซเลต ที่แยกได้จากผู้ป่วยในโรงพยาบาลพิจิตร จังหวัดพิจิตร ในช่วงเดือนสิงหาคมถึงเดือนกันยายน ในปี พ.ศ. 2557 *Acinetobacter spp.* จำนวน 19 ไอโซเลต ที่แยกจากแหล่งธรรมชาติภายในมหาวิทยาลัยเชียงใหม่ และในโรงพยาบาลพุทธชินราช (รัชวราตน แสงศรี, 2556) ส่วนแบคเทอโริโอเฟจที่ใช้ในการศึกษา ได้แก่ bacteriophage ØABP-02, ØABP-19, ØABP-39, ØABP-44 ที่จำเพาะต่อเชื้อ *A. baumannii* ที่แยกจากป้องบังน้ำเสีย ในโรงพยาบาลพุทธชินราช จังหวัดพิษณุโลก bacteriophage ØABP-29 ที่จำเพาะต่อเชื้อ *A. baumannii* ที่แยกจากป้องบังน้ำเสีย ในโรงพยาบาลบางระกำ จังหวัดพิษณุโลก (Kitti et al., 2015) ดังแสดงในตาราง 3

ตาราง 3 แสดงสายพันธุ์ของแบคเทอโริโอเฟจที่ใช้ในการศึกษา

แบคเทอโริโอเฟจ	สายพันธุ์โיסต์ <i>A. baumannii</i>	แหล่งที่เก็บ (ป้องบังน้ำเสีย)	แหล่งที่มา
ØABP-02	A1389, AB22*	รพ.พุทธชินราช	Kitti et al., 2015
ØABP-19	A1589, AB22*	รพ.พุทธชินราช	Kitti et al., 2015
ØABP-29	A1589, AB22*	รพ. บางระกำ	Kitti et al., 2015
ØABP-39	A1511, AB22*	รพ.พุทธชินราช	Kitti et al., 2015
ØABP-44	ATCC19606, AB20*	รพ.พุทธชินราช	Kitti et al., 2015

* *A. baumannii* ที่แยกได้จากโรงพยาบาลสวรรค์ประชารักษ์ จังหวัดนครสวรรค์

การตรวจหาสายพันธุ์ของเชื้อ *Acinetobacter* spp. ที่แยกจากแหล่งธรรมชาติโดยการวิเคราะห์ลำดับนิวคลีโอไทด์ของยีน 16S rRNA และยีน *rpoB*

นำเชื้อ *Acinetobacter* spp. ที่แยกได้จากธรรมชาติ มาเพิ่มปริมาณดีเอ็นเอ โดยใช้เทคนิค Polymerase chain reaction (PCR) ในขั้นตอนแรกไฟรเมอร์ที่ใช้ คือ 16S rRNA-F และ 16S rRNA-R ดังตาราง 4 ในการเพิ่มปริมาณดีเอ็นเอใช้สภาวะ (PCR condition) ตามตาราง 5 เมื่อได้ PCR product จะทำให้ PCR product ที่ได้มีความบริสุทธิ์ โดยใช้ชุดสกัดสำเร็จชุด Gel/PCR DNA Fragment extraction (RBC Bioscience, Taipei, Taiwan) จากนั้นทำการตรวจสอบ PCR product ที่สกัดได้โดยใช้เทคนิคของการโอลูสเจลอะลีกโตรไฟเรซิส (agarose gel electrophoresis) โดยใช้เจลอะการอยด์ 1% กระแทกไฟฟ้าที่ความต่างศักย์ไฟฟ้า 100 โวลต์ เวลา 30 นาที ดูແນบดีเอ็นเอที่เกิดขึ้นภายใต้แสงอัลตราไวโอเลต เปรียบเทียบกับดีเอ็นเอมาตรฐาน 100 bp ladder สังไปวิเคราะห์ลำดับนิวคลีโอไทด์ที่บริษัท Macrogen Inc. Service ประเทศไทย เมื่อได้ลำดับนิวคลีโอไทด์ นำมาเก็บไว้ที่โปรแกรม biology workbench (<http://workbench.sdsc.edu>) จากนั้นนำลำดับนิวคลีโอไทด์ที่ได้นำมาเปรียบเทียบกับลำดับนิวคลีโอไทด์ของสิ่งมีชีวิตอื่นๆ ในฐานข้อมูล NCBI โดยใช้โปรแกรม BLASTn (<https://blast.ncbi.nlm.nih.gov/Blast.cgi>) เมื่อผลการวิเคราะห์ลำดับนิวคลีโอไทด์ของยีน 16S rRNA โดยใช้โปรแกรม BLASTn ให้ผล % identity ต่ำกว่า 98% หรือไม่สามารถจำแนกสายพันธุ์ของเชื้อ *Acinetobacter* spp. ได้ทำการลงวิเคราะห์ลำดับนิวคลีโอไทด์อีกรอบ โดยใช้ยีน *rpoB* ในการศึกษา ไฟรเมอร์และสภาวะที่ใช้ในการเพิ่มปริมาณดีเอ็นเอ แสดงดังตาราง 4 และ 6 ตามลำดับ

ตาราง 4 แสดงไพรเมอร์ที่ใช้ในการตรวจหาเชิง 16S rRNA เช่น *rpoB* เช่นเดียวกับ OXA-type carbapenemase เช่นเดียวกับ tetracycline (*tet(B)*) และเช่นเดียวกับ kanamycin (*aphA6*)

ไพรเมอร์	ลำดับนิวคลีโอไทด์ (5' → 3')	ขนาด PCR product (bp)	แหล่งที่มา
16S rRNA-F	AGAGTTGATCCTGGCTCAG	1,500	Misbah et al., 2005
16S rRNA-R	ACGGCTACCTTGTACGACTT		
<i>rpoB</i> -F	CCTTCATGACCTGGAAYGGNTA	940	Wang et al., 2014
<i>rpoB</i> -R	TCCAGGATCTGNCCNACRTTCAT		
OXA 23-F	GATCGGATTGGAGAACAGA	501	Woodford et al.,
OXA 23-R	ATTCTGACCGCATTCCAT		2006
OXA 24-F	GGTTAGTTGGCCCCCTTAAA	246	Woodford et al.,
OXA 24-R	AGTTGAGCGAAAAGGGGATT		2006
OXA 51-F	TAATGCTTGATCGGCCTG	353	Woodford et al.,
OXA 51-R	TGGATTGCACCTCATCTTGG		2006
OXA 58-F	AAGTATTGGGGCTTGTGCTG	599	Woodford et al.,
OXA 58-R	CCCCTCTGCGCTCTACATAC		2006
<i>tet(B)</i> -F	TACGTGAATTATTGCTTCGG	206	Aminov et al., 2002
<i>tet(B)</i> -R	ATACAGCATCCAAAGCGCAC		
<i>aphA6</i> -F	ATGGAATTGCCAATATTATTC	736	Hujer et al., 2006
<i>aphA6</i> -R	TCAATTCAATTCAAGTTTA		

หมายเหตุ: R = A/G; Y = C/T; N = A/C/G/T

ตาราง 5 แสดงสภาวะที่ใช้ในการทำ PCR ตรวจหาเชื้อ 16S rRNA

ขั้นตอน	จำนวนรอบ	อุณหภูมิ (องศาเซลเซียส)	เวลา
Initial denaturation	1	95°C	5 นาที
Denature	34	94°C	25 วินาที
Annealing		58°C	40 วินาที
Extension		72°C	50 วินาที
Final extension	1	72°C	6 นาที

ตาราง 6 แสดงสภาวะที่ใช้ในการทำ PCR ตรวจหาเชื้อ *rpoB*

ขั้นตอน	จำนวนรอบ	อุณหภูมิ (องศาเซลเซียส)	เวลา
Initial denaturation	1	95°C	5 นาที
Denature	34	95°C	30 วินาที
Annealing		55°C	1 นาที
Extension		72°C	1 นาที
Final extension	1	72°C	7 นาที

การทดสอบความไวต่อยาต้านจุลชีพโดยวิธี disc diffusion

เพาะเลี้ยงเชื้อแบคทีเรีย *A. baumannii* บนจานอาหารเลี้ยงเชื้อ TSA และนำไปปั่นที่ 37 องศาเซลเซียส เป็นเวลา 24 ชั่วโมง จากนั้นนำโคโลนีที่เจริญบนจานอาหารเลี้ยงเชื้อมาปรับความชื้นในสารละลาย 0.85% Sodium chloride (0.85%NaCl) ให้ได้ความชื้นเทียบเท่ากับ 0.5 Mcfarland โดยใช้เครื่องวัดความชื้น (McFarland densitometer: SiaBiosan, Latvia) นำไปพัฒสำลีที่ปราศจากเชื้อจุลลงในเชือที่ปรับความชื้นแล้ว หมุนนำไปพัฒสำลีไปมา 2-3 ครั้ง ให้หมดบริเวณข้างหลังทดลอง จากนั้นนำเชือมาป้าย (swab) บนจานอาหารเลี้ยงเชื้อ Mueller Hinton Agar (MHA) ให้ทั่วบริเวณผิวน้ำจานอาหาร รอให้เชือที่ป้ายบนอาหารเลี้ยงเชื้อแห้งแล้วจึงนำยาต้านจุลชีพที่ต้องการทดสอบความไวต่อยาต้านจุลชีพมาวางบนจานอาหารเลี้ยงเชื้อ MHA ที่ทำการป้ายเชือทดลองแล้ว โดยใช้เทคนิคปราศจากเชือ จากนั้นนำไปปั่นที่ 37 องศาเซลเซียส เป็นเวลา 24 ชั่วโมง แล้วบันทึกผลการทดสอบความไวต่อยาต้านจุลชีพ

โดยการวัด zone of inhibition (mm) และแปลผลการทดสอบความไวต่อยาต้านจุลชีพ โดยใช้เกณฑ์มาตรฐานจาก Clinical and Laboratory Standards Institute (CLSI) antimicrobial susceptibility testing standards 2014 และ Plewngam, & Kiratisin (2014) ดังแสดงในตาราง 7

ตาราง 7 แสดงยาต้านจุลชีพและการแปลผลการทดสอบความไวต่อยาต้านจุลชีพ

ยาต้านจุลชีพ	Resistance	Intermediated	Susceptibility
1. Amikacin (AK) 30 µg	14	15-16	17
2. Cefotaxime (CTX) 30 µg	14	15-22	23
3. Ceftazidime (CAZ) 30 µg	14	15-17	18
4. Ceftriaxone (CRO) 30 µg	13	14-20	21
5. Cefepime (FEP) 30 µg	14	15-17	18
6. Ciprofloxacin (CIP) 5 µg	15	16-20	21
7. Gentamicin (CN) 10 µg	12	13-14	15
8. Imipenem (IPM) 10 µg	18	19-21	18
9. Meropenem (MEM) 10 µg	14	15-17	18
10. TMX/SXT 1.25/23.75 µg	10	11-15	16
11. Tetracycline (TE) 30 µg	11	12-14	15
12. Piperacillin/tazobactam (TZP) 100/10 µg	17	18-20	21
13. Colistin (CT) 10 µg	9	10-11	12
14. Tigecycline (TGC) 15 µg	12	13-16	17

ที่มา: Clinical and Laboratory Standards Institute (CLSI) antimicrobial susceptibility testing Standards, 2014 และ Plewngam, & Kiratisin, 2014

การตรวจหาเชิงดื้อยา OXA-type carbapenemase ด้วยเทคนิค Multiplex PCR

เขี้ยเชื้อ *A. baumannii* ที่แยกได้จากสิ่งส่งตรวจของผู้ป่วยโรงพยาบาลเชียงราย ประจำนุเคราะห์ และโรงพยาบาลพิจิตร จำนวน 160 โภชนาต ที่เจริญบนจานอาหารเลี้ยงเชื้อ TSA มาใส่ในหลอด 1.5 ml ที่มี TE buffer 200 ไมโครลิตร จากนั้นนำไปต้มในน้ำเดือดเป็นเวลา 15 นาที บ่นเหลืองที่ความเร็ว 12,500 รอบต่อนาที เป็นเวลา 5 นาที ทำให้ตะกอนเซลล์ (pellet) ตกลงมา บริเวณก้นหลอด 1.5 ml นำส่วนใสด้านบนมาใช้เป็นดีเอ็นเอแม่แบบ (DNA template) เตรียม master mix ซึ่งประกอบไปด้วย 10X buffer ปริมาณ 2 ไมโครลิตร dNTPs ความเข้มข้น 2.5 มิลลิโมลาร์ ปริมาณ 2 ไมโครลิตร magnesium chloride ($MgCl_2$) ความเข้มข้น 25 มิลลิโมลาร์ ปริมาณ 2 ไมโครลิตร ไพรเมอร์ จำนวน 4 คู่ ได้แก่ OXA23-F, OXA24-F, OXA51-F, OXA58-F และ OXA23-R, OXA24-R, OXA51-R, OXA58-R ความเข้มข้นอย่างละ 20 ไมโครโมลาร์ ปริมาณ อย่างละ 0.25 ไมโครลิตร ดังตาราง 4 เอนไซม์ *Taq* DNA polymerase 0.5 ยูนิต ปริมาณ 0.1 ไมโครลิตร และดีเอ็นเอแม่แบบ ปริมาณ 2 ไมโครลิตร ปรับปริมาณโดยเติม dH_2O ให้มีปริมาณ สุดท้ายเท่ากับ 20 ไมโครลิตร นำเข้าเครื่อง thermal cycle โดยสภาวะที่ใช้ในการเพิ่มปริมาณ ดีเอ็นเอแสดงเป็นไปตามตาราง 8 จากนั้นทำการตรวจสอบดีเอ็นเอที่ได้จากการเพิ่มปริมาณ (PCR product) โดยใช้เทคนิคของการโอลูเซลล์เจลทริฟเรชิส (agarose gel electrophoresis) เจลอะกาโรสเข้มข้น 1% ในสารละลาย 0.5% TBE buffer ย้อมอะกาโรสเจลด้วยเอธิดีเยมใบไวโอร์ ในการทำอิเล็กโทรฟเรชิส ใช้ความด่างศักย์ไฟฟ้า 100 โวลต์ เป็นเวลา 30 นาที ดูແບດดีเอ็นเอ ที่เกิดขึ้นภายใต้แสงอัลตราไวโอเลต เทียบกับดีเอ็นเอมาตรฐาน 100 bp ladder

ตาราง 8 แสดงสภาวะที่ใช้ในการทำ multiplex PCR ตรวจหาเชิงดื้อยา OXA-type carbapenemase

ขั้นตอน	จำนวนรอบ	อุณหภูมิ (องศาเซลเซียส)	เวลา
Initial denaturation	1	95°C	5 นาที
Denature	35	94°C	30 วินาที
Annealing		52°C	40 วินาที
Extension		72°C	50 วินาที
Final extension	1	72°C	7 นาที

การสกัดพลาสมิดของเชื้อ extensively drug resistant *A. baumannii* (XDR-AB)

นำเชื้อ *A. baumannii* ซึ่งทำการทดสอบหาความไวต่อยาต้านจุลชีพ แล้วพบว่า เชื้อดื้อต่อยาต้านจุลชีพทุกชนิดที่ใช้ในการทดสอบ ยกเว้น colistin และ tigecycline (XDR-AB) มาเลี้ยงในอาหารเลี้ยงเชื้อเหลว LB ที่อุณหภูมิ 37 องศาเซลเซียส เขย่าด้วยความเร็วรอบ 150 รอบ ต่อนาที เป็นเวลา 24 ชั่วโมง จากนั้นนำไปปั่นให้หยดด้วยความเร็ว 4,000 รอบต่อนาที เป็นเวลา 15 นาที เพื่อตกรตะกอนเซลล์แบคทีเรีย เทส่วนใส่ด้านบนทิ้ง นำตะกอนเซลล์แบคทีเรียที่ได้ มาทำการสกัดพลาสมิดที่ต้องการด้วยชุดสกัดสำเร็จรูป Plasmid Mini Kit (RBC Bioscience, Taipei, Taiwan) จากนั้นทำการตรวจสอบรูปแบบของพลาสมิดที่สกัดได้โดยใช้เทคนิค อะgaroseเจลอะลีกโตรไฟฟ์เรซิส (agarose gel electrophoresis) โดยใช้เจลอะgaroseเข้มข้น 1% กระแทกไฟฟ้าที่ความต่างศักย์ไฟฟ้า 75 โวลต์ เวลา 45 นาที ดูແบดີເຣັ້ນເຂົ້າກິດຢືນກາຍໃຫ້ ແສງຄົດຕາວໄວໂຄລັດ ເປົ້າຍເທິຍບັນດີເຣັ້ນເຄມາຕຮຽນ VC Lambda/HindIII Marker

การคัดเลือกแบคทีเรียผู้ให้และแบคทีเรียผู้รับ

แบคทีเรียผู้ให้ คัดเลือกจากเชื้อ *A. baumannii* ที่แยกได้จากผู้ป่วยโรงพยาบาลเชียงราย ประชานุเคราะห์และโรงพยาบาลพิจิตร ที่ดื้อต่อยาต้านจุลชีพทุกชนิด ยกเว้น colistin และ tigecycline หรือที่เรียกว่า XDR-AB ส่วนแบคทีเรียผู้รับ คัดเลือกจากเชื้อ *Acinetobacter* spp. จำนวน 19 ໂໂໂໂໂເລຕ ที่แยกได้จากแหล่งธรรมชาติ และไวต่อยาต้านจุลชีพทุกชนิดที่ใช้ในการทดสอบ จากนั้นนำแบคทีเรียผู้ให้และแบคทีเรียผู้รับมาทำการตรวจหายีนดื้อยาในกลุ่ม OXA-type carbapenemase (*bla*_{OXA-23}, *bla*_{OXA-24}, *bla*_{OXA-58}) ยีนดื้อยา tetracycline (*tet*(B)) และยีนดื้อยา kanamycin (*aph*A6) ดังแสดงเป็นไปตามตาราง 4 ซึ่งสภาวะที่ใช้ในการเพิ่มปริมาณดีเอ็นເອเป็นไปตามตาราง 8 และ 9

ตาราง 9 แสดงสภาวะที่ใช้ในการทำ PCR ตรวจหา yin dื้อยา *tet*(B) และ *aph*A6

ขั้นตอน	จำนวนรอบ	อุณหภูมิ (องศาเซลเซียส)	เวลา
Initial denaturation	1	95°C	5 นาที
Denature	34	94°C	30 วินาที
Annealing		54°C	40 วินาที
Extension		72°C	45 วินาที
Final extension	1	72°C	10 นาที

การศึกษาการส่งผ่านยีนดีอхаโดยวิธีทranส์ฟอร์เมชันแบบธรรมชาติ (Natural transformation)

นำแบคทีเรียผู้รับที่มีคุณสมบัติไว้ต่อ ya-taen จุลชีพทุกชนิด (*Acinetobacter spp.*) เลี้ยงในอาหารเลี้ยงเชื้อเหลว LB จากนั้นนำไปเขย่าด้วยความเร็วรอบ 160 รอบต่อนาที ที่ 37 องศาเซลเซียส เป็นเวลาข้ามคืน หลังจากนั้นนำแบคทีเรียผู้รับที่เจริญอยู่ในอาหารเหลว LB ปริมาณ 100 ไมโครลิตร มาผสมกับอาหารเลี้ยงเชื้อเหลว LB ปริมาณ 395 ไมโครลิตร เติมพลาสมิดของแบคทีเรียผู้ให้ (XDR-AB) ที่สักดัดให้ได้ความเข้มข้น 0.5 ไมโครกรัม นำไปเขย่าด้วยความเร็วรอบ 160 รอบต่อนาที ที่ 37 องศาเซลเซียส เป็นเวลา 1 ชั่วโมง และวิจัยนำมารทำการ spread plate บนจานอาหารเลี้ยงเชื้อแข็ง LB ที่มียาต้านจุลชีพ 3 ชนิด ได้แก่ ticarcillin (50 µg/ml), kanamycin (20 µg/ml) และ tetracycline (20 µg/ml) ตามลำดับ จำนวนอาหารเลี้ยงเชื้อละ 100 ไมโครลิตร จากนั้นนำไปปั่นที่ 37 องศาเซลเซียส เป็นเวลา 24 ชั่วโมง ตรวจนับโคโลนีที่เจริญบนจานอาหารเลี้ยงเชื้อ โดยโคโลนีที่สามารถเจริญบนอาหารเลี้ยงเชื้อที่มียาต้านจุลชีพได้ เรียกว่า transformants จำนวนคุณจะทำการ spread แบคทีเรียผู้รับที่มีคุณสมบัติไว้ต่อ ya-taen จุลชีพ บนอาหารเลี้ยงเชื้อ LB ที่มียาต้านจุลชีพ 3 ชนิด ได้แก่ ticarcillin (50 µg/ml), kanamycin (20 µg/ml) และ tetracycline (20 µg/ml) คำนวนหาค่า frequency of transformation โดยใช้สูตรดังต่อไปนี้

$$\text{Frequency of transformation} = \frac{\text{ปริมาณของ transformants (CFU/ml)}}{\text{ปริมาณของ recipient (CFU/ml)}}$$

และคำนวนหาค่าประสิทธิภาพของการทranส์ฟอร์เมชัน (transformation efficiency) โดยใช้สูตรดังต่อไปนี้ (Tn, 2005)

$$\text{Transformation efficiency} = \frac{\text{จำนวนโคโลนี transformant ทั้งหมด (CFU)}}{\text{ปริมาณของพลาสมิด (µg)}}$$

การศึกษาการส่งผ่านยีนดีอิยาโดยวิธีหานสตั๊กชั่น

1. การเพิ่มจำนวนแบคเทอโริโอเฟจที่ใช้ในการศึกษา

เพาะเลี้ยงเซลล์ไฮสต์ของแบคทีเรีย *A. baumannii* ในอาหารเลี้ยงเชื้อเหลว LB ที่อุณหภูมิ 37 องศาเซลเซียส เข้าด้วยความเร็วรอบ 150 รอบต่อนาที เป็นเวลา 24 ชั่วโมง จากนั้นนำเซลล์ไฮสต์ปริมาตร 5 มิลลิลิตร ใส่ลงไปในอาหารเลี้ยงเชื้อเหลว LB ปริมาตร 50 มิลลิลิตร เข้าด้วยความเร็วรอบ 150 รอบต่อนาที ที่ 37 องศาเซลเซียส บ่มจนกว่าเชื้อจะเจริญอยู่ในระยะ log phase หรือมีค่าคุณลักษณะที่ความยาวคลื่น 600 นาโนเมตร เท่ากับ 0.3-0.4 จากนั้นเติมแบคเทอโริโอเฟจที่จำเพาะกับเซลล์ไฮสต์ชนิดนั้นๆลงไป 1 มิลลิลิตร แล้วเข้าด้วยความเร็วรอบ 150 รอบต่อนาที ที่ 37 องศาเซลเซียส เป็นเวลา 2 ชั่วโมง หรือจนกระทั่งอาหารเลี้ยงเชื้อใส จากนั้นเติม chloroform ปริมาตร 1 มิลลิลิตร นำไปบ่มต่อโดยการเข้าด้วยความเร็ว 150 รอบต่อนาที ที่ 37 องศาเซลเซียส เป็นเวลา 20 นาที เพื่อให้เซลล์ไฮสต์แตกแล้วสามารถปลดปล่อยอนุภาคแบคเทอโริโอเฟจออกมากได้ดียิ่งขึ้น จากนั้นนำไปปั่นเหวี่ยงด้วยความเร็ว 8,000 รอบต่อนาที เป็นเวลา 15 นาที ที่ 20 องศาเซลเซียส เพื่อแยกเอาตะกอนเซลล์ไฮสต์ออกไป ส่วนอนุภาคของแบคเทอโริโอเฟจจะอยู่ส่วนไส้ด้านบน นำเอาส่วนไส้ด้านบนมากรองผ่านแผ่นกรองขนาด 0.45 ไมโครเมตร เก็บเอาส่วนไส้หรืออนุภาคของแบคเทอโริโอเฟจที่กรองผ่านแผ่นกรองไว้ที่อุณหภูมิ 4 องศาเซลเซียส เพื่อใช้ในการศึกษาขั้นต่อไป (Su et al., 1998)

2. การตรวจนับปริมาณแบคเทอโริโอเฟจโดยวิธี plaque assay

นำแบคเทอโริโอเฟจที่ทำการศึกษา ปริมาตร 100 ไมโครลิตร มาเจือจางใน SM buffer ปริมาตร 900 ไมโครลิตร เจือจางลงครั้งละ 10 เท่า (10-fold serial dilution) หลังจากนั้นนำแบคเทอโริโอเฟจที่ทำการเจือจางใน SM buffer แล้วปริมาตร 100 ไมโครลิตร มาผสมให้เข้ากันกับเซลล์ไฮสต์ของแบคทีเรีย *A. baumannii* ปริมาตร 100 ไมโครลิตร และสารละลาย CaCl_2 ความเข้มข้น 200 mM ปริมาตร 100 ไมโครลิตร จากนั้นนำส่วนผสมทั้งหมดเติมลงในอาหาร soft agar ที่หลอมละลายแล้วปริมาตร 4 มิลลิลิตร ผสมให้เข้ากัน แล้วเทส่วนผสมที่เข้ากันแล้วลงบนอาหารเลี้ยงเชื้อ TSA ที่มีหุนร้อยละ 1.5 ตั้งทึ้งไว้รอจนอาหารเลี้ยงเชื้อแข็งตัว นำไปปั่นที่อุณหภูมิ 37 องศาเซลเซียส เป็นเวลา 18-24 ชั่วโมง นับจำนวนพลาคที่เกิดขึ้น (Adums, 1959) แล้วนำมาคำนวณหาปริมาณแบคเทอโริโอเฟจ โดยใช้สูตร

$$\text{ปริมาณของแบคเทอโริโนเฟจ (PFU/ml)} = \frac{\text{จำนวนพลาค} \times \text{ส่วนกลับของการเจือจาง}}{\text{ปริมาณแบคเทอโริโนเฟจที่ใส่ในหุ้นที่เกะ (ml)}}$$

3. การศึกษาคุณสมบัติจำเพาะระหว่างแบคเทอโริโนเฟจที่แยกได้จากแหล่งธรรมชาติและเซลล์ไอยส์ต์ XDR-AB โดยวิธี spot test

เพาะเลี้ยงเชื้อแบคทีเรีย XDR-AB ที่แยกได้จากโรงพยาบาลเชียงรายประชาชนเคราะห์และโรงพยาบาลพิจิตรา จำนวน 10 ไอโซเลตในอาหารเลี้ยงเชื้อเหลว LB นำไปปั่นที่อุณหภูมิ 37 องศาเซลเซียส เขย่าด้วยความเร็วรอบ 150 รอบต่อนาที เป็นเวลา 24 ชั่วโมง จากนั้นนำเชื้อที่ปั่นขึ้นคีมแล้ว ปริมาตร 100 ไมโครลิตร เติมลงในอาหารเลี้ยงเชื้อ soft agar ที่หลอมละลายแล้วปริมาตร 4 มิลลิลิตร ผสมเข้ากันโดยใช้ vortex จากนั้นเทส่วนผสมที่เข้ากันแล้วลงบนอาหารเลี้ยงเชื้อ TSA ที่มีหุ้นร้อยละ 1.5 อย่างรวดเร็ว ตั้งทิ้งไว้รอจนอาหารเลี้ยงเชื้อแข็งตัว แล้วจึงหยด (spot) แบคเทอโริโนเฟจที่ทำการศึกษาปริมาตร 2 ไมโครลิตรต่อแบคเทอโริโนเฟจหนึ่งตัวลงบนจานอาหารเลี้ยงเชื้อ รอจนกราะทั่งแบคเทอโริโนเฟจที่ทำการหยดลงไปแห้งสนิท แล้วจึงนำไปปั่นที่อุณหภูมิ 37 องศาเซลเซียส เป็นเวลา 18-24 ชั่วโมง ตรวจดูโชน์ไซ (clear zone) ที่เกิดขึ้น (Yang et al., 2010)

4. กระบวนการทวนสตั๊ดชั้น

คัดเลือกแบคเทอโริโนเฟจที่มีความจำเพาะกับเซลล์ไอยส์ต์ XDR-AB แล้วนำแบคเทอโริโนเฟจมาเตรียม phage lysate ของแบคทีเรียผู้ให้โดยเพาะเลี้ยงเซลล์ไอยส์ต์ XDR-AB ในอาหารเลี้ยงเชื้อเหลว LB ที่อุณหภูมิ 37 องศาเซลเซียส เขย่าด้วยความเร็วรอบ 150 รอบต่อนาที เป็นเวลา 24 ชั่วโมง จากนั้นนำเซลล์ไอยส์ต์ XDR-AB ปริมาตร 5 มิลลิลิตรใส่ลงไปในอาหารเลี้ยงเชื้อเหลว LB ปริมาตร 50 มิลลิลิตร เขย่าด้วยความเร็วรอบ 150 รอบต่อนาที ที่ 37 องศาเซลเซียส ประมาณกว่าเชื้อจะเจริญอยู่ในระยะ log phase หรือมีค่าดูดกลืนแสงที่ความยาวคลื่น 600 นาโนเมตร เท่ากับ 0.3-0.4 เติมแบคเทอโริโนเฟจที่จำเพาะกับเซลล์ไอยส์ต์ชนิดนั้นๆลงไป 1 มิลลิลิตร แล้วนำมาเขย่าด้วยความเร็วรอบ 150 รอบต่อนาที ที่อุณหภูมิ 37 องศาเซลเซียส เป็นเวลา 2 ชั่วโมง หรือจนกระทั่งอาหารเลี้ยงเชื้อใส เติม chloroform ปริมาตร 1 มิลลิลิตร นำไปปั่นต่อโดยการเขย่าด้วยความเร็วรอบ 150 รอบต่อนาที ที่ 37 องศาเซลเซียส เป็นเวลา 20 นาที เพื่อให้เซลล์ไอยส์ต์แตกแล้วสามารถปลดปล่อยอนุภาคแบคเทอโริโนเฟจออกมากได้ดียิ่งขึ้น จากนั้นนำไปปั่นให้เรียงด้วยความเร็ว 8,000 รอบต่อนาที เป็นเวลา 15 นาที ที่อุณหภูมิ 20 องศาเซลเซียส เพื่อแยกเอาตะกอนเซลล์ไอยส์ต์ออกไป ส่วนอนุภาคของแบคเทอโริโนเฟจจะอยู่ส่วนใส่ด้านบน นำเอาส่วนใส่ด้านบนมากรองผ่านแผ่นกรองขนาด 0.45 ไมโครเมตร เก็บเอาส่วนใส่หรืออนุภาคของ

แบคทีโริโนเฟจที่กรองผ่านแผ่นกรองแล้ว ไว้ที่อุณหภูมิ 4 องศาเซลเซียส หลังจากนั้นทำการเพาะเลี้ยงเชื้อ *Acinetobacter* spp. ที่แยกได้จากแหล่งธรรมชาติ ซึ่งใช้เป็นแบคทีเรียผู้รับในอาหารเหลว LB นำไปปั่นที่อุณหภูมิ 37 องศาเซลเซียส เขย่าด้วยความเร็วรอบ 150 รอบต่อนาที เป็นเวลา 24 ชั่วโมง ปรับปริมาณเซลล์ให้ได้เท่ากับ 0.5 McFarland ในสารละลายน้ำ NaCl นำเชื้อที่ได้ปริมาตร 500 ไมโครลิตร มาผสมกับแบคทีโริโนเฟจ (10^8 pfu/ml) ที่เต็รี่ยมไว้ขั้นต้นปริมาตร 50 ไมโครลิตร เติมอาหารเลี้ยงเชื้อดouble-strength LB broth ปริมาตร 550 ไมโครลิตรนำไปปั่นที่ 37 องศาเซลเซียส เป็นเวลา 30 นาที หลังจากนั้นเติมอาหารเหลว LB จนได้ปริมาตรรวม 5 มิลลิลิตร เขย่าด้วยความเร็วรอบ 160 รอบต่อนาที ที่ 37 องศาเซลเซียส เป็นเวลา 2 ชั่วโมง เมื่อครบเวลาที่กำหนด นำไปปั่นเหวี่ยงที่ความเร็วรอบ 3,500 รอบต่อนาที เป็นเวลา 15 นาที เทส่วนใส่ด้านบนทิ้ง นำตะกอนเซลล์ที่ตกอยู่บริเวณด้านล่างมาลละเอียบในอาหารเหลว LB ปริมาตร 500 ไมโครลิตร จากนั้นนำมาระบายลงบนspread plate บนอาหารเลี้ยงเชื้อแข็ง LB ที่มียาต้านจุลชีพ 3 ชนิด ได้แก่ ticarcillin (50 µg/ml), kanamycin (20 µg/ml) และ tetracycline (20 µg/ml) ตามลำดับ จำนวนเชื้อละ 100 ไมโครลิตร นำไปปั่นที่ 37 องศาเซลเซียส เป็นเวลา 24-48 ชั่วโมง ตรวจดูโคโลนีที่เจริญบนอาหารเลี้ยงเชื้อ โดยที่สามารถเจริญบนอาหารเลี้ยงเชื้อที่ได้รีเยกว่า transductants (ดัดแปลงจาก Shousha et al., 2015) จากนั้นคำนวณหาค่า frequency of transduction ในการทดลองมีจำนวนคุณภาพดีโดยการ spread แบคทีเรียผู้รับที่มีคุณสมบัติไวต่อยาต้านจุลชีพบนอาหารเลี้ยงเชื้อ LB ที่มียาต้านจุลชีพ 3 ชนิด ได้แก่ ticarcillin (50 µg/ml), kanamycin (20 µg/ml) และ tetracycline (20 µg/ml)

$$\text{Frequency of transduction} = \frac{\text{ปริมาณของ transductants (CFU/ml)}}{\text{ปริมาณของ recipient (CFU/ml)}}$$

การศึกษาการส่งผ่านยืนดือยาโดยวิธีคุณจุเกชั่น

1. การดัดเลือกแบคทีเรียผู้รับที่มีคุณสมบัติต่อต้าน sodium azide เพื่อใช้เป็นแบคทีเรียผู้รับ

นำแบคทีเรีย *Acinetobacter* spp. ที่แยกได้จากธรรมชาติมาศึกษาหาค่า MIC ของ sodium azide จากนั้นนำเชื้อตั้งกล้ามาเลี้ยงในอาหารเหลว LB ที่มีส่วนผสมของ sodium azide ในระดับ $0.5 \times \text{MIC}$ ปั่นที่อุณหภูมิ 37 องศาเซลเซียส ความเร็วรอบ 150 rpm เป็นเวลา 24 ชั่วโมง จากนั้นนำ overnight culture ไปเลี้ยงในอาหาร LB ที่เพิ่มความเข้มข้นของ sodium azide

(เพิ่มครั้งละ $0.5 \times \text{MIC}$) ในอัตราส่วน 1:10 (overnight culture: fresh LB) เมื่อแบคทีเรียผู้รับสามารถเจริญในระดับความเข้มข้นของ sodium azide ตามที่ต้องการแล้ว นำมาศึกษา susceptibility patterns ของห้อง芽ต้านจุลชีพและ sodium azide

2. กระบวนการคัดแยกเชื้อ

นำแบคทีเรียผู้ให้ที่เป็น XDR-AB มาทดสอบการส่งผ่านยีนดื้อยาโดยวิธีคัดแยกเชื้อ กับแบคทีเรียผู้รับ โดยคัดเลือกแบคทีเรีย XDR-AB ที่มีคุณสมบัติดื้อยาแต่ต่อ sodium azide ($\text{MIC} \leq 150 \mu\text{g/ml}$) มาศึกษาการส่งผ่านยีนดื้อยาโดยวิธี conjugation โดยใช้ broth culture mating method เริ่มจากนำแบคทีเรียผู้ให้ (XDR-AB) และแบคทีเรียผู้รับที่มีคุณสมบัติดื้อต่อ sodium azide มาเพาะเลี้ยงในอาหารเลี้ยงเชื้อ เช่น LB ปูมที่ 37 องศาเซลเซียส เป็นเวลา ข้ามคืน จากนั้นนำแบคทีเรียผู้ให้และแบคทีเรียผู้รับ มาปรับปริมาณเชลล์ให้ได้เท่ากับ 0.5 McFarland ในสารละลาย 0.85% NaCl นำแบคทีเรียผู้ให้และแบคทีเรียผู้รับมาผสมกัน ในอัตราส่วน 1:3 โดยใช้แบคทีเรียผู้ให้ปริมาตร 60 ไมโครลิตร และแบคทีเรียผู้รับปริมาตร 180 ไมโครลิตร ผสมลงในอาหารเหลว LB ปริมาณ 760 ไมโครลิตร ชุดควบคุมนำแบคทีเรียผู้รับปริมาตร 180 ไมโครลิตร และ 0.85% NaCl ปริมาตร 60 ไมโครลิตร ผสมลงในอาหารเลี้ยงเชื้อเหลว LB ปริมาตร 760 ไมโครลิตร จากนั้นนำไปปูมที่ 37 องศาเซลเซียส เป็นเวลา 4 ชั่วโมง คัดเลือก transconjugants บนอาหารเลี้ยงเชื้อ MHA ที่มี 50 $\mu\text{g/ml}$ ticarcillin + 300 $\mu\text{g/ml}$ sodium azide, MHA ที่มี 20 $\mu\text{g/ml}$ kanamycin + 300 $\mu\text{g/ml}$ sodium azide และ MHA ที่มี 20 $\mu\text{g/ml}$ tetracycline + 300 $\mu\text{g/ml}$ sodium azide โดยเชื้อที่สามารถเจริญบนจานอาหารเลี้ยงเชื้อนี้ได้เรียกว่า transconjugants จานควบคุมจะทำการ spread แบคทีเรียผู้รับบนจานอาหารเลี้ยงเชื้อ MHA ที่มี sodium azide 300 $\mu\text{g/ml}$ และ芽ต้านจุลชีพ 3 ชนิด ได้แก่ ticarcillin (50 $\mu\text{g/ml}$) kanamycin (20 $\mu\text{g/ml}$) และ tetracycline (20 $\mu\text{g/ml}$) นำผลการทดลองที่ได้ มาคำนวณหาค่า frequency of conjugation โดยใช้สูตรดังต่อไปนี้

$$\text{Frequency of conjugation} = \frac{\text{ปริมาณของ transconjugants (CFU/ml)}}{\text{ปริมาณของ recipient (CFU/ml)}}$$

การตรวจหายีนดี็อยา class D β -lactamase, *tet(B)* และ *aphA6* ใน transformants, transductants และ transconjugants ที่แยกได้

ทำการสกัดดีเอ็นเอของ transformants, transductants และ transconjugants ที่แยกได้โดยใช้วิธี boiling method เมื่อได้ดีเอ็นเอออกมายield เป็นดีเอ็นเอแม่แบบ (DNA template) เตรียม master mix ซึ่งประกอบไปด้วย 10X buffer ปริมาณ 2 μM โคลลิตร dNTPs ความเข้มข้น 2.5 มิลลิโมลาร์ ปริมาณ 2 μM โคลลิตร magnesium chloride ($MgCl_2$) ความเข้มข้น 25 มิลลิโมลาร์ ปริมาณ 2 μM โคลลิตร ไพรเมอร์ที่จำเพาะกับยีนในกลุ่ม Class D carbapenemase ยีนดี็อยา tetracycline (*tet(B)*) และยีนดี็อยา kanamycin (*aphA6*) ความเข้มข้นอย่างละ 20 μM โคลลิโมลาร์ ดังตาราง 4 เอนไซม์ *Taq* DNA polymerase 0.5 ยูนิต ปริมาณ 0.1 μM โคลลิตร และดีเอ็นเอแม่แบบ ปริมาณ 2 μM โคลลิตร ปรับปริมาณโดยเติม dH_2O ให้มีปริมาณสุดท้ายเท่ากับ 20 μM โคลลิตร นำเข้าเครื่อง thermal cycle โดยสภาวะที่ใช้ในการเพิ่มปริมาณดีเอ็นเอแสดงดังตาราง 8 และ 9 จากนั้นทำการตรวจสอบดีเอ็นเอที่ได้จากการเพิ่มปริมาณ (PCR product) โดยใช้เทคนิคอะกາโรสเจลอะลีกโตรไฟเรซิส (agarose gel electrophoresis) เจลอะกากาโรสเข้มข้น 1% ในสารละลาย 0.5% TBE buffer ข้อมะกาโรสเจล ด้วยเควชเดียมบอร์มาด์ ในการทำอะลีกโตรไฟเรซิสใช้ความต่างศักย์ไฟฟ้า 100 โวลต์ เป็นเวลา 30 นาที ตรวจสอบแบบดีเอ็นเอที่เกิดขึ้นภายใต้แสงอัลตราไวโอเลต เทียบกับดีเอ็นเอมาตรฐาน 100 bp ladder

บทที่ 4

ผลการวิจัย

การตรวจหาสายพันธุ์ของเชื้อ *Acinetobacter* spp. ที่แยกได้จากแหล่งธรรมชาติโดยการวิเคราะห์ลำดับนิวคลีโอไทด์ของยีน 16S rRNA และยีน *rpoB*

จากการตรวจหาสายพันธุ์ของเชื้อ *Acinetobacter* spp. ที่แยกได้จากแหล่งธรรมชาติจำนวน 19 ไอโซเลต โดยทำการเพิ่มนิวามตีเด็นแอคเดวยเทคนิค PCR ไฟร์เมอร์ที่ใช้ในการศึกษา “ได้แก่ 16S rRNA-F, 16S rRNA-R, *rpoB*-F และ *rpoB*-R พบว่า เมื่อนำลำดับนิวคลีโอไทด์ที่วิเคราะห์ “ได้ไปเปรียบเทียบกับลำดับนิวคลีโอไทด์ของสิ่งมีชีวิตอื่นๆ ในฐานข้อมูล NCBI โดยใช้โปรแกรม BLASTn ผลการทดลองพบว่า เชื้อ *Acinetobacter* spp. ที่แยกได้จากแหล่งธรรมชาติ จำนวน 19 ไอโซเลต สามารถจัดจำแนกเป็น 3 สายพันธุ์ “ได้แก่ *Acinetobacter baumannii* จำนวน 9 ไอโซเลต *Acinetobacter soli* จำนวน 8 ไอโซเลต และ *Acinetobacter nosocomialis* จำนวน 2 ไอโซเลต ดังแสดงในตาราง 10

ตาราง 10 แสดงผลการวิเคราะห์ลำดับนิวคลีโอไทด์ของยีน 16S rRNA และ *rpoB* ในเชื้อ *Acinetobacter* spp. ที่แยกได้จากแหล่งธรรมชาติ

Strains	<i>Acinetobacter</i> species	Gene	% Identity
NU001-1	<i>Acinetobacter baumannii</i>	16S rRNA	98%
NU002-1	<i>Acinetobacter baumannii</i>	16S rRNA	100%
NU003-1	<i>Acinetobacter soli</i>	<i>rpoB</i>	99%
NU003-2	<i>Acinetobacter soli</i>	16S rRNA	100%
NU003-3	<i>Acinetobacter soli</i>	16S rRNA	99%
NU005-1	<i>Acinetobacter nosocomialis</i>	<i>rpoB</i>	99%
NU005-2	<i>Acinetobacter soli</i>	<i>rpoB</i>	99%
NU006-4	<i>Acinetobacter soli</i>	<i>rpoB</i>	100%
NU006-5	<i>Acinetobacter soli</i>	<i>rpoB</i>	100%
NU006-8	<i>Acinetobacter soli</i>	<i>rpoB</i>	100%
NU006-9	<i>Acinetobacter soli</i>	<i>rpoB</i>	99%

ตาราง 10 (ต่อ)

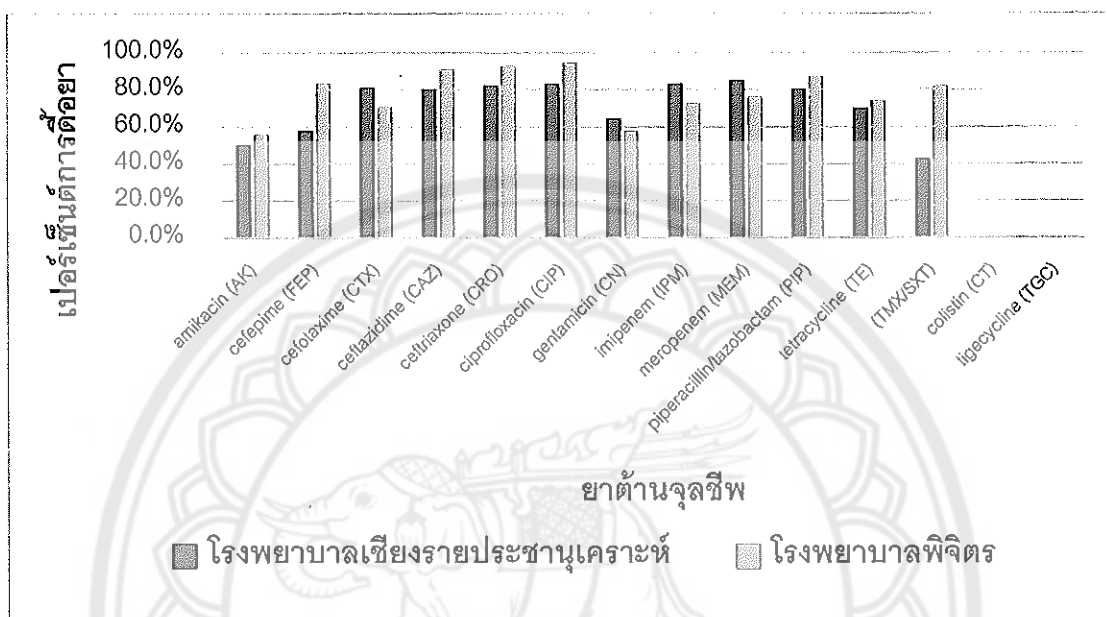
Strains	<i>Acinetobacter</i> species	Gene	% Identity
NU009	<i>Acinetobacter baumannii</i>	16S rRNA	100%
NU010-1	<i>Acinetobacter nosocomialis</i>	rpoB	99%
NU010-2	<i>Acinetobacter baumannii</i>	16S rRNA	99%
NU010-3	<i>Acinetobacter baumannii</i>	16S rRNA	100%
NU010-4	<i>Acinetobacter baumannii</i>	16S rRNA	100%
NU013	<i>Acinetobacter baumannii</i>	16S rRNA	100%
NU015	<i>Acinetobacter baumannii</i>	16S rRNA	100%
NI003	<i>Acinetobacter baumannii</i>	16S rRNA	100%

การศึกษาความไวของเชื้อ *Acinetobacter baumannii* ต่อยาต้านจุลชีพ

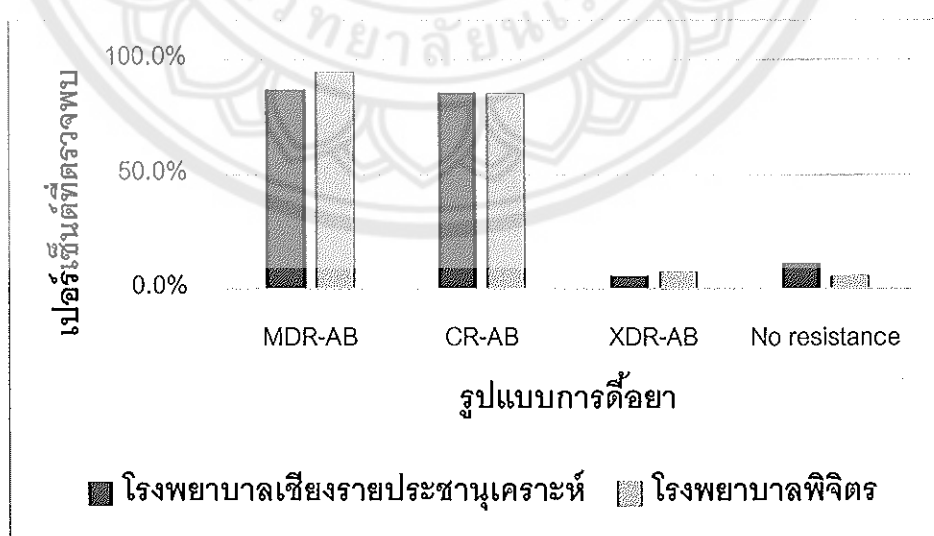
จากการนำเชื้อ *A. baumannii* ที่แยกได้จากผู้ป่วยในโรงพยาบาลเขียงรายประชานุเคราะห์จำนวน 106 ไอโซเลต มาทดสอบความไวต่อยาต้านจุลชีพ โดยใช้วิธี disc diffusion พบว่าเชื้อ *A. baumannii* ดื้อต่อยาต้านจุลชีพ amikacin, cefepime, cefotaxime, ceftazidime, ceftriaxone, ciprofloxacin, gentamycin, imipenem, meropenem, piperacillin/tazobactam, tetracycline และ trimethoprim/sulfamethoxazole (TMX/SXT) ร้อยละ 50.0, 57.5, 81.1, 80.2, 82.1, 83.0, 64.1, 83.0, 84.9, 80.2, 69.8 และ 42.4 ตามลำดับ ส่วนเชื้อ *A. baumannii* ที่แยกได้จากผู้ป่วยในโรงพยาบาลพิจิตร จำนวน 54 ไอโซเลต ดื้อต่อยาต้านจุลชีพ amikacin, cefepime, cefotaxime, ceftazidime, ceftriaxone, ciprofloxacin, gentamycin, imipenem, meropenem, piperacillin/tazobactam, tetracycline และ TMX/SXT ร้อยละ 55.6, 83.3, 70.4, 90.7, 92.6, 94.4, 57.4, 72.2, 75.9, 87.0, 74.1 และ 81.5 ตามลำดับ ทุกไอโซเลตที่แยกได้ไวต่อยาต้านจุลชีพ colistin และ tigecycline ดังแสดงในภาพ 5

เมื่อนำข้อมูลการศึกษาความไวต่อยาต้านจุลชีพที่ได้ข้างต้นมาจัดตามรูปแบบการดื้อต่อยาต้านจุลชีพของเชื้อ *A. baumannii* พบว่าเชื้อ *A. baumannii* ที่แยกได้จากผู้ป่วยภายในโรงพยาบาลเขียงรายประชานุเคราะห์ จัดอยู่ในกลุ่ม MDR-AB, CR-AB และ XDR-AB คิดเป็นร้อยละ 86.8, 85.9 และ 5.7 ตามลำดับ ส่วนภายในโรงพยาบาลพิจิตร พบว่าเชื้อ *A. baumannii* มีรูปแบบการดื้อต่อยาต้านจุลชีพ ดังนี้คือ MDR-AB ร้อยละ 94.4 CR-AB ร้อยละ 85.2 และ

XDR-AB ร้อยละ 7.4 พบรีเซ็ตที่จัดอยู่ในกลุ่มไวต่อยาต้านจุลชีพทุกชนิด (no resistance) ภายในโรงพยาบาลเชียงรายประชานุเคราะห์และโรงพยาบาลพิจิตร คิดเป็นร้อยละ 11.3 และ 5.6 ตามลำดับ ดังภาพ 6



ภาพ 5 แสดงเปอร์เซ็นต์การต้านต่อยาต้านจุลชีพ (resistance) ของเชื้อ *A. baumannii* ที่แยกได้จากผู้ป่วยโรงพยาบาลเชียงรายประชานุเคราะห์และโรงพยาบาลพิจิตร



ภาพ 6 แสดงเปอร์เซ็นต์รูปแบบการต้านต่อยาต้านจุลชีพของเชื้อ *A. baumannii* ที่แยกได้จากผู้ป่วยโรงพยาบาลเชียงรายประชานุเคราะห์และโรงพยาบาลพิจิตร

การตรวจหายีนดี็อยา OXA-type carbapenemase

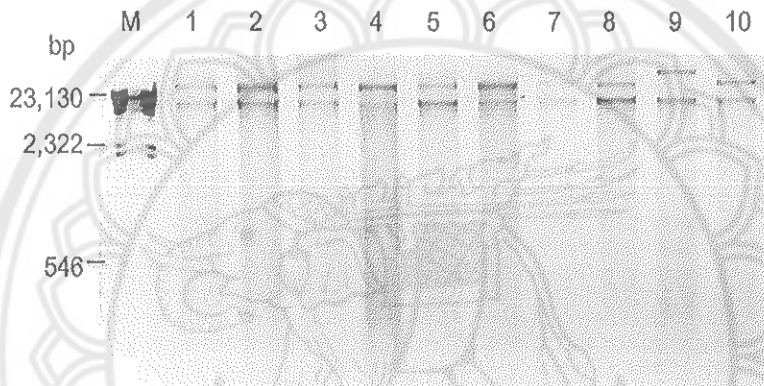
นำเชื้อ *A. baumannii* จำนวน 160 ไอโซเลตมาทำการตรวจหา yin d'oxyan ในกลุ่ม OXA-type carbapenemase ได้แก่ yin d'oxyan bla_{OXA-23}, bla_{OXA-24} และ bla_{OXA-58} โดยใช้ yin d'oxyan bla_{OXA-51} เป็น internal control จากการศึกษาพบว่า เชื้อ *A. baumannii* ที่แยกจากผู้ป่วย โรงพยาบาลเชียงรายประชานุเคราะห์ ตรวจพบ yin d'oxyan bla_{OXA-23} มากที่สุด คิดเป็นร้อยละ 76.4 รองลงมาพบ yin d'oxyan bla_{OXA-58} ร้อยละ 7.5 ส่วนเชื้อ *A. baumannii* ที่แยกจากผู้ป่วยโรงพยาบาลพิจิตร พบ yin d'oxyan bla_{OXA-23} ร้อยละ 75.9 และ yin d'oxyan bla_{OXA-58} ร้อยละ 11.1 ในทุกไอโซเลต ตรวจไม่พบ yin d'oxyan bla_{OXA-24} นอกจากนี้ยังตรวจพบ yin d'oxyan bla_{OXA-23} อู่ร่วมกับ yin d'oxyan bla_{OXA-58} (co-existence) ในเชื้อ *A. baumannii* ที่แยกได้จากโรงพยาบาลเชียงรายประชานุเคราะห์ จำนวน 2 ไอโซเลต คิดเป็นร้อยละ 1.2 ดังแสดงในภาพ 7



ภาพ 7 แสดง PCR product จากการตรวจสืบหา yin d'oxyan ในกลุ่ม OXA-type carbapenemase ภายในเชื้อ *A. baumannii* ที่แยกได้จากโรงพยาบาลเชียงรายประชานุเคราะห์และโรงพยาบาลพิจิตร Lane M: 100 bp ladder, Lane 1: Negative control (น้ำกัลล์); Lane 2: PCR product ของ yin d'oxyan bla_{OXA-51}; Lane 3: PCR product ของ yin d'oxyan bla_{OXA-51} และ bla_{OXA-23}; Lane 4: PCR product ของ yin d'oxyan bla_{OXA-51} และ bla_{OXA-58}; Lane 5: PCR product ของ yin d'oxyan bla_{OXA-23}, bla_{OXA-51} และ bla_{OXA-58}

การศึกษารูปแบบของพลาสมิด (plasmid profiles)

เมื่อนำเชื้อในกุม extensively drug resistant *A. baumannii* (XDR-AB) จำนวน 10 ไอโซเลต ซึ่งแยกได้จากผู้ป่วยในโรงพยาบาลเชียงประ南เคราะห์และโรงพยาบาลพิจิตร มาทำการสกัดพลาสมิด แล้วนำมาศึกษารูปแบบของพลาสมิด หรือ plasmid profiles จากการศึกษาพบว่าพลาสมิดของเชื้อ XDR-AB ที่นำมาศึกษา มีรูปแบบของพลาสมิด 2 รูปแบบ โดยพบพลาสมิดในรูปแบบ A มากที่สุดถึงจำนวน 9 ไอโซเลต (Lane 1-8,10) และรูปแบบ B จำนวน 1 ไอโซเลต (Lane 9) ดังแสดงในภาพ 8



ภาพ 8 แสดงรูปแบบของพลาสมิด (plasmid profiles) ของเชื้อ extensively drug resistant *A. baumannii* (XDR-AB) Lane M: VC Lambda/HindIII; Lane 1-10: รูปแบบพลาสมิด (plasmid profiles) ของเชื้อ *A. baumannii* สายพันธุ์ AB95, AB180, AB183, AB241, AB246, AB269, AB135, AB136, AB140 และ AB229 ตามลำดับ

การคัดเลือกแบคทีเรียผู้รับและแบคทีเรียผู้ให้

ทำการคัดเลือกเชื้อแบคทีเรียผู้ให้ โดยการทดสอบความไวต่อยาต้านจุลชีพ จำนวน 14 ชนิด จากเชื้อ *A. baumannii* ที่แยกได้จากผู้ป่วยโรงพยาบาลเชียงรายประน้ำเคราะห์และโรงพยาบาลพิจิตร จำนวน 160 ไอโซเลต ตรวจพบเชื้อ *A. baumannii* ที่ต่อต้านจุลชีพ ในรูปแบบ XDR-AB จำนวน 10 ไอโซเลต เมื่อนำมาตรวจหายีนต่อต้านจุลชีพ ยีนต่อต้าน tetracycline (*tet*(B)) และยีนต่อต้าน kanamycin (*aphA6*) พบร่วมเชื้อ XDR-AB ทั้ง 10 ไอโซเลต สามารถตรวจพบยีนต่อต้าน *bla_{OXA-23}* และยีนต่อต้าน *tet*(B) ในทุกไอโซเลต สำหรับยีนต่อต้าน *aphA6* ตรวจพบเฉพาะในสายพันธุ์ AB140 ส่วนในแบคทีเรียผู้รับคัดเลือกจากเชื้อ *Acinetobacter* spp. ที่แยกได้จากแหล่งธรรมชาติ จากนั้นนำทดสอบความไวต่อยา

ต้านจุลชีพ คัดเลือกเชื้อพัฒนาสายพันธุ์ที่ไวต่อยาต้านจุลชีพทุกชนิด (no resistance) แล้วทำการตรวจหาเชื้อยีนดี็อยาซินิดเดียวกับแบคทีเรียผู้ให้จากการศึกษาพบว่าเชื้อ *Acinetobacter* spp. จำนวน 4 ไอโซเลต ได้แก่ สายพันธุ์ NU005-1, NU013, NU015 และ NI003 ไวต่อยาต้านจุลชีพทุกชนิดที่ใช้ในการทดสอบ และตรวจไม่พบยีนดี็อยา OXA-type carbapenemase ยีนดี็อยา *tet(B)* และยีนดี็อยา *aphA6* ดังแสดงในตาราง 11 เมื่อคัดเลือกแบคทีเรียผู้ให้และแบคทีเรียผู้รับแล้ว ทำการศึกษาการถ่ายทอดยีนดี็อยาในแนวราบ โดยอาศัยกระบวนการกรานสฟอร์เมชัน หวานสตั๊กชัน และคอนจูเกชันต่อไป

ตาราง 11 แสดงผลการคัดเลือกแบคทีเรียผู้ให้และแบคทีเรียผู้รับ

รหัสสายพันธุ์	รูปแบบการถ่ายทอดยีนต้านจุลชีพ	ยีนดี็อยาที่ตรวจพบ
แบคทีเรียผู้ให้		
AB95	XDR-AB	<i>bla</i> _{OXA-23} , <i>tet(B)</i>
AB135	XDR-AB	<i>bla</i> _{OXA-23} , <i>tet(B)</i>
AB136	XDR-AB	<i>bla</i> _{OXA-23} , <i>tet(B)</i>
AB140	XDR-AB	<i>bla</i> _{OXA-23} , <i>tet(B)</i> , <i>aphA6</i>
AB180	XDR-AB	<i>bla</i> _{OXA-23} , <i>tet(B)</i>
AB183	XDR-AB	<i>bla</i> _{OXA-23} , <i>tet(B)</i>
AB229	XDR-AB	<i>bla</i> _{OXA-23} , <i>tet(B)</i>
AB241	XDR-AB	<i>bla</i> _{OXA-23} , <i>tet(B)</i>
AB246	XDR-AB	<i>bla</i> _{OXA-23} , <i>tet(B)</i>
AB269	XDR-AB	<i>bla</i> _{OXA-23} , <i>tet(B)</i>
แบคทีเรียผู้รับ		
NU005-1	No resistance	ไม่พบยีน
NU013	No resistance	ไม่พบยีน
NU015	No resistance	ไม่พบยีน
NI003	No resistance	ไม่พบยีน

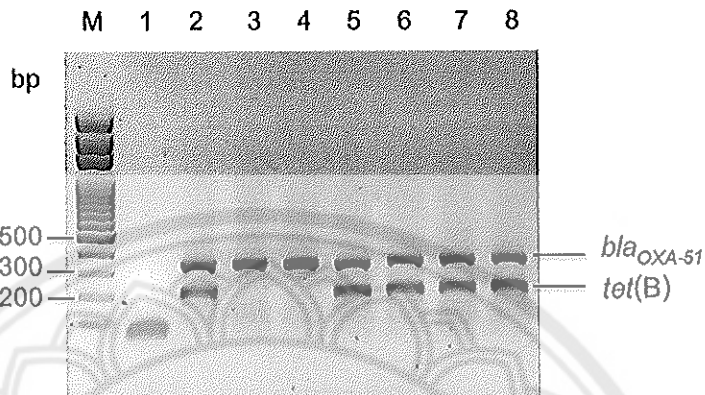
การศึกษาการส่งผ่านยีนดีอิยาโดยวิธีทวนสฟอร์เมชันแบบธรรมชาติ

จากการศึกษาโดยการนำพลาสมิดของเชื้อ XDR-AB ซึ่งให้เป็นแบคทีเรียผู้ให้จำนวน 10 โคราชเดต มาทำการทดสอบการส่งผ่านยีนดีอิยาโดยอาศัยกระบวนการทวนสฟอร์เมชันแบบธรรมชาติ (Natural transformation) ไปสู่เชื้อแบคทีเรียผู้รับ คือ *Acinetobacter spp.* ที่แยกมาจากแหล่งธรรมชาติ และไวยากรณ์จุลชีพทุกชนิดที่ใช้ในการทดสอบ จำนวน 4 โคราชเดต พบว่า เชื้อแบคทีเรียผู้ให้ XDR-AB สายพันธุ์ AB135, AB136, AB140, AB180, AB183 และ AB241 สามารถส่งผ่านการดีอิยา kanamycin ไปสู่แบคทีเรียผู้รับ สายพันธุ์ NU015 ได้ ส่งผลให้ตรวจพบ โคลินีเจริญบนจานอาหารเลี้ยงเชื้อที่ส่วนประกอบของยา kanamycin 20 µg/ml เมื่อคำนวณหาค่าความถี่ในการเกิดกระบวนการทวนสฟอร์เมชันแบบธรรมชาติ (Frequency of transformation) พบว่าอยู่ในช่วง 1.1×10^{-10} ถึง 4.4×10^{-11} ส่วนค่าประสิทธิภาพของการทวนสฟอร์เมชัน (Transformation efficiency) อยู่ในช่วง 2×10^1 ถึง 8×10^2 CFU/µg หลังจากนั้นนำโคลินีที่ได้มาตรวจหาเชื้อยีนดีอิยา aphA6 จากการศึกษาพบว่าตรวจไม่พบยีนดีอิยา aphA6 ใน transformants ที่ได้ (ตาราง 13)

การศึกษาการส่งผ่านยีนดีอิยาโดยวิธีทวนสตักชัน

การศึกษาการส่งผ่านยีนดีอิยาโดยอาศัยกระบวนการทวนสตักชัน เริ่มจากการเพิ่มจำนวนแบคเทอโริโนเฟจ จำนวน 5 สายพันธุ์ ได้แก่ ØABP-02, ØABP-19, ØABP-29, ØABP-39 และ ØABP-44 จากนั้นนำแบคเทอโริโนเฟจที่ทำการเพิ่มจำนวนได้มาทำการนับจำนวน โดยใช้วิธี plaque assay และศึกษาคุณสมบัติความจำเพาะระหว่างแบคเทอโริโนเฟจกับเซลล์ไฮสต์ (XDR-AB) โดยวิธี spot test จากการศึกษาพบว่าแบคเทอโริโนเฟจ ØABP-02 และ ØABP-39 มีความจำเพาะกับเชื้อ XDR-AB สายพันธุ์ AB183 ส่วนแบคเทอโริโนเฟจ ØABP-19, ØABP-29 และ ØABP-44 มีความจำเพาะกับเชื้อ XDR-AB สายพันธุ์ AB135 และ AB229 นำเชื้อ XDR-AB สายพันธุ์ที่มีความจำเพาะกับแบคเทอโริโนเฟจนั้นๆมาใช้เป็นเซลล์ไฮสต์ในการเพิ่มจำนวนและนำพา ยีนดีอิยาไปสู่แบคทีเรียผู้รับ จากการศึกษาการส่งผ่านยีนดีอิยาโดยวิธีทวนสตักชัน พบว่าเชื้อ XDR-AB สายพันธุ์ AB135 ที่ใช้แบคเทอโริโนเฟจ ABP19 (ØABP-19) เป็นตัวนำพาการดีอิยา สามารถนำพาการดีอิยา tetracycline ไปสู่เชื้อแบคทีเรียผู้รับสายพันธุ์ NU013 และ NU015 จึงตรวจพบโคลินีเจริญบนจานอาหารเลี้ยงเชื้อที่มีส่วนประกอบของยา tetracycline 20 µg/ml เมื่อคำนวณหาค่าความถี่ในการเกิดกระบวนการทวนสตักชัน (Frequency of transduction) โดยอาศัยแบคเทอโริโนเฟจเป็นตัวนำพาเชื้อยีนดีอิยา นั้น พบว่ามีค่าอยู่ในช่วง 4.8×10^{-9} ถึง 9.1×10^{-9} หลังจากนั้นทำการตรวจหาเชื้อยีนดีอิยา tet(B) ใน transductants ที่ได้ (ตาราง 14)

จากการศึกษาพบว่าตรวจพบยีนต์ออยา *tet(B)* ในทุกไオโซเลตของ transductants ดังแสดงในภาพ 9

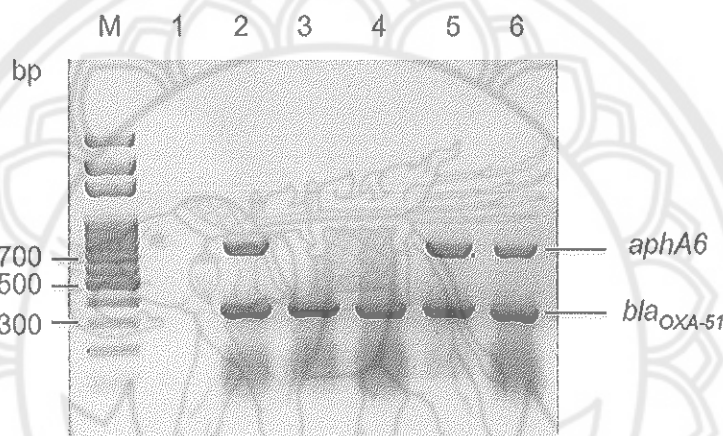


ภาพ 9 แสดง PCR product จากการตรวจสืบหา yinต์ออยา *tet(B)* ภายใน transductants ที่ได้จากการทวนสตั๊กชั่น Lane M: 100 bp ladder; Lane 1: Negative control (น้ำกากลั่น); Lane 2: PCR product ยีนต์ออยา *bla_{OXA-51}* ขนาด 353 bp และยีนต์ออยา *tet(B)* ขนาด 206 bp ของแบคทีเรียผู้รับสายพันธุ์ AB135; Lane 3-4: PCR product ยีนต์ออยา *bla_{OXA-51}* ของแบคทีเรียผู้รับสายพันธุ์ NU013 และ NU015 ตามลำดับ และ Lane 5-8: PCR product ยีนต์ออยา *bla_{OXA-51}* และ *tet(B)* ของ transductants ที่ได้จำนวน 4 ไオโซเลต

การศึกษาการส่งผ่านยีนต์ออยาโดยวิธีคอนจูเกชั่น

คัดเลือกแบคทีเรียผู้รับโดยการทดสอบความไวต่อยาต้านจุลชีพ (susceptibility patterns) และความสามารถในการเจริญในสภาวะที่มี sodium azide เข้มข้นมากกว่า 300 µg/ml จากการศึกษาพบว่าสามารถคัดเลือกแบคทีเรียผู้รับได้จำนวน 2 ไオโซเลต คือ NU013 และ NU015 (ตาราง 12) ที่ไวต่อยาต้านจุลชีพทุกชนิด และมีค่า MIC ของ sodium azide มาากกว่า 300 µg/ml เมื่อได้แบคทีเรียผู้รับแล้ว นำมาทำการทดลองการส่งผ่านยีนต์ออยาโดยวิธีการคอนจูเกชั่น จากการศึกษาทดลองพบว่าสามารถทดลองโคโลนีเจริญบนagar เลี้ยงเชื้อที่มียาต้านจุลชีพ ticarcillin 50 µg/ml และ kanamycin 20 µg/ml (transconjugants) ซึ่งใช้เชื้อ XDR-AB สายพันธุ์ AB140 เป็นแบคทีเรียผู้ให้ และ *Acinetobacter* spp. สายพันธุ์ NU013 และ NU015 เป็นแบคทีเรียผู้รับ เมื่อนำโคโลนีของ transconjugants ที่เจริญบนagar เลี้ยงเชื้อที่มียาต้านจุลชีพ ticarcillin 50 µg/ml มาทำการตรวจหา yinต์ออยาในกลุ่ม OXA-type carbapenemase พบว่า

ตรวจไม่พบยีนดี็อยาในกลุ่ม OXA-type carbapenemase ส่วน transconjugants ที่เจริญบนอาหารเลี้ยงเชื้อที่มียาต้านจุลชีพ kanamycin 20 µg/ml เมื่อนำมาตรวจหา yinดี็อยา *aphA6* พบร่วมสามารถตรวจพบ yinดี็อยา *aphA6* ใน transconjugants ดังภาพ 10 แสดงให้เห็นว่าเชื้อ XDR-AB สายพันธุ์ AB140 ซึ่งเป็นแบคทีเรียผู้ให้สามารถเกิดการส่งผ่าน yinดี็อยา *aphA6* ไปสู่แบคทีเรียผู้รับสายพันธุ์ NU013 และ NU015 สงผลให้เชื้อแบคทีเรียผู้รับดี็อยา kanamycin ตามมา (ตาราง 15) จากนั้นคำนวณหาค่า frequency of conjugation (CF) พบร่วมค่า CF มีค่าเท่ากับ $1.0 \times 10^{-4} - 8.6 \times 10^{-5}$



ภาพ 10 แสดง PCR product จากการตรวจสอบหา yinดี็อยา *aphA6* ภายใน transconjugants ที่ได้จากการกระบวนการคัดแยกชั้น Lane M: 100 bp ladder; Lane 1: Negative control (น้ำก๊ลั่น); Lane 2: PCR product yinดี็อยา *bla_{OXA-51}* ขนาด 353 bp และ yinดี็อยา *aphA6* ขนาด 736 bp ของแบคทีเรียผู้ให้สายพันธุ์ AB140; Lane 3-4: PCR product yinดี็อยา *bla_{OXA-51}* ของแบคทีเรียผู้รับ สายพันธุ์ NU013 และ NU015 ตามลำดับ และ Lane 5-6: PCR product yinดี็อยา *bla_{OXA-51}* และ *aphA6* ของ transconjugants ที่ได้

ตาราง 12 แสดงความสามารถในการเจริญในสภาวะที่มี sodium azide และรูปแบบการต่อต้านจุลชีพของแบคทีเรียผู้ให้และแบคทีเรียผู้รับ

Strains	Sodium azide ($\mu\text{g/ml}$)	Ticarcillin (50 $\mu\text{g/ml}$)	Tetracycline (20 $\mu\text{g/ml}$)	Kanamycin (20 $\mu\text{g/ml}$)
แบคทีเรียผู้รับ				
NU005-1 WT	25	S	S	S
NU013 WT	50	S	S	S
NU015 WT	50	S	S	S
NI003 WT	50	S	S	S
NU005-1 R	100	S	S	S
NU013 R	350	S	S	S
NU015 R	350	S	S	S
NI003 R	100	S	S	S
แบคทีเรียผู้ให้				
AB95 (XDR-AB)	150	R	R	R
AB135 (XDR-AB)	100	R	R	R
AB136 (XDR-AB)	400	R	R	R
AB140 (XDR-AB)	100	R	R	R
AB180 (XDR-AB)	100	R	R	R
AB183 (XDR-AB)	100	R	R	R
AB229 (XDR-AB)	100	R	R	R
AB241 (XDR-AB)	100	R	R	R
AB246 (XDR-AB)	150	R	R	R
AB269 (XDR-AB)	100	R	R	R

หมายเหตุ: Resistant (R), Sensitive (S)

ตาราง 13 สรุปผลการทดสอบเชิงทางเคมีต่อ class D β -lactamase, $tet(B)$ และ $aphA6$ ใน transformants ที่แยกได้

Donor (Resistance genes)	Recipient (Resistance genes)	Transformants (Resistance genes)	Selective antibiotics	Frequency of transformation
AB180 ($aphA6$ -)	NU015 ($aphA6$ -)	TF007 ($aphA6$ -)	20 μ g/ml kanamycin	5.9×10^{-10}
AB183 ($aphA6$ -)	NU015 ($aphA6$ -)	TF009 ($aphA6$ -)	20 μ g/ml kanamycin	1.1×10^{-10}
AB241 ($aphA6$ -)	NU015 ($aphA6$ -)	TF011 ($aphA6$ -)	20 μ g/ml kanamycin	4.4×10^{-11}
AB135 ($aphA6$ -)	NU015 ($aphA6$ -)	TF003 ($aphA6$ -)	20 μ g/ml kanamycin	4.4×10^{-11}
AB136 ($aphA6$ -)	NU015 ($aphA6$ -)	TF005 ($aphA6$ -)	20 μ g/ml kanamycin	1.5×10^{-11}
AB140 ($aphA6$ +)	NU015 ($aphA6$ -)	TF001 ($aphA6$ -)	20 μ g/ml kanamycin	2.9×10^{-10}

ตาราง 14 สรุปผลการทดสอบเชิงทางเคมีต่อ class D β -lactamase, $tet(B)$ และ $aphA6$ ใน transductants ที่แยกได้

Donor (Resistance genes)	Recipient (Resistance genes)	Transductants (Resistance genes)	Selective antibiotics	Frequency of transduction
AB135 (\emptyset ABP-19) ($tet(B)$ +)	NU013 ($tet(B)$ -)	TD001 ($tet(B)$ +)	20 μ g/ml tetracycline	4.8×10^{-9}
AB135 (\emptyset ABP-19) ($tet(B)$ +)	NU015 ($tet(B)$ -)	TD003 ($tet(B)$ +)	20 μ g/ml tetracycline	9.1×10^{-9}

ตาราง 15 สรุปผลการทดสอบหาเชิงเดี่ยว class D β -lactamase, *tet*(B) และ *aphA6* ใน transconjugants ที่แยกได้

Donor (Resistance genes)	Recipient (Resistance genes)	Transconjugants (Resistance genes)	Selective antibiotics	Frequency of conjugation
AB140 (<i>b/a_{OXA-23}</i> +)	NU013 R (<i>b/a_{OXA-23}</i> -)	TC011 (<i>b/a_{OXA-23}</i> -)	50 µg/ml ticarcillin	1.0×10^{-4}
AB140 (<i>b/a_{OXA-23}</i> +)	NU015 R (<i>b/a_{OXA-23}</i> -)	TC016 (<i>b/a_{OXA-23}</i> -)	50 µg/ml ticarcillin	8.6×10^{-5}
AB140 (<i>aphA6</i> +)	NU013 R (<i>aphA6</i> -)	TC021 (<i>aphA6</i> +)	20 µg/ml kanamycin	8.5×10^{-5}
AB140 (<i>aphA6</i> +)	NU015 R (<i>aphA6</i> -)	TC026 (<i>aphA6</i> +)	20 µg/ml kanamycin	6.3×10^{-6}

บทที่ 5

บทสรุป

สรุปผลการวิจัย

การศึกษาคุณสมบัติทางเอนไซม์วิทยาของ class D β -lactamase และการถ่ายทอดยืนในเชื้อ *A. baumannii* ที่แยกได้จากตัวอย่างสิ่งตรวจของผู้ป่วยในโรงพยาบาลเชียงราย ประมาณคระห์ และโรงพยาบาลพิจิตร พบร่วมกันในกลุ่มตัวอย่างต่อต้านจุลชีพที่ใช้ในการทดสอบมากกว่าร้อยละ 50 ในทุกไอโซเลต ไวต่อต้านจุลชีพ colistin และ tigecycline เมื่อจัดตามรูปแบบการต่อต้านจุลชีพ พบร่วมกันในรูปแบบ MDR-AB ร้อยละ 90.6, CR-AB ร้อยละ 85.5 และ XDR-AB ร้อยละ 6.5 จากนั้นทำการตรวจหาเชื้อโดยไนกัลั่ม OXA-type carbapenemase พบร่วมกันในกลุ่ม XDR-AB จำนวน 10 ไอโซเลต พบร่วมกับรูปแบบด้วยกัน ต่อมาศึกษาการถ่ายทอดยืนด้วยยาในแนวราบ โดยอาศัยกระบวนการทวนการทวนสฟอร์เมชัน ทวนสตักชัน และคอนจูเกชัน โดยใช้เชื้อ XDR-AB เป็นแบคทีเรียผู้ให้ *Acinetobacter* spp. ซึ่งแยกได้จากแหล่งน้ำธรรมชาติในมหาวิทยาลัยนเรศวร และโรงพยาบาลพุทธชินราช ที่มีคุณสมบัติไวต่อต้านจุลชีพทุกชนิดที่ใช้ในการทดสอบ และไม่มียืนด้วยยาเป็นแบคทีเรียผู้รับจากการศึกษาพบว่าเชื้อ XDR-AB สามารถนำพาการต่อต้าน kanamycin, tetracycline และ ticarcillin ไปสู่แบคทีเรียผู้รับได้ สามารถตรวจพบยืนด้วยยา *tet(B)* ซึ่งทำให้เชื้อด้วยยา tetracycline ในแบคทีเรียผู้รับของกระบวนการทวนสตักชัน และตรวจพบยืนด้วยยา *aphA6* ซึ่งทำให้เชื้อด้วยยา kanamycin ในแบคทีเรียผู้รับของกระบวนการทวนการคอนจูเกชัน ทำให้ในปัจจุบันตรวจพบแบคทีเรียด้วยยาเพิ่มสูงขึ้นอย่างรวดเร็ว เนื่องจากแบคทีเรียสามารถส่งผ่านการต่อต้านระหว่างกันได้ง่าย โดยไม่จำเป็นต้องถ่ายทอดการต่อต้านจากพ่อแม่ไปสู่ลูก (vertical gene transfer) ดังนั้นจึงจำเป็นต้องทำการควบคุมป้องกันการแพร่กระจายของเชื้อแบคทีเรียที่อยู่ที่อยู่ในโรงพยาบาลไม่ให้ปนเปื้อนออกมานอกมาสูงสิ่งแวดล้อม แล้วเกิดการแพร่กระจายของการต่อต้านภายในเชื้อ *A. baumannii* เพิ่มสูงขึ้นอีก

อภิปรายผล

ในปี ค.ศ. 2014 ถึง ค.ศ. 2015 ประเทศไทย มีรายงานการตรวจพบเชื้อ *A. baumannii* จากตัวอย่างสิ่งส่งตรวจของผู้ป่วยมากเป็นอันดับที่ 3 รองจากเชื้อ *Escherichia coli* และ *Klebsiella pneumoniae* (NARST, 2014-2015) ยิ่งไปกว่านั้นในช่วง 10 ปีที่ผ่านมา พบอุบัติการณ์การต่อต้านจุลชีพของเชื้อ *A. baumannii* เพิ่มสูงขึ้นอย่างรวดเร็ว จากการศึกษาความไวต่อยาต้านจุลชีพ (susceptibility patterns) ของเชื้อ *A. baumannii* ที่แยกได้จากสิ่งส่งตรวจภายในโรงพยาบาลเชียงรายประชาชนเคราะห์ จำนวน 106 ไอโซเลต และโรงพยาบาลพิจิตร จำนวน 54 ไอโซเลต รวมทั้งสิ้นจำนวน 160 ไอโซเลต พบร่วมกับเชื้อ *A. baumannii* ต่อต้านจุลชีพ cefotaxime (CTX), ceftazidime (CAZ), ceftriaxone (CRO), ciprofloxacin (CIP), imipenem (IPM), meropenem (MEM) และ piperacillin/tazobactam (PIP) มากกว่าร้อยละ 75 โดยทุกไอโซเลตไม่ต่อต้านจุลชีพ colistin และ tigecycline เมื่อนำมาจัดตามรูปแบบการต่อต้านจุลชีพ พบร่วมกับเชื้อ MDR-AB มากที่สุด คิดเป็นร้อยละ 90.6 รองลงมาได้แก่ CR-AB ร้อยละ 85.5 และ XDR-AB ร้อยละ 6.5 ตามลำดับ (ตาราง 16) แสดงคล้องกับการศึกษาของ Aimsaad et al. ในปี ค.ศ. 2009 พบอุบัติการณ์การต่อต้านจุลชีพตั้งแต่สามชนิดขึ้นไปของเชื้อ *A. baumannii* (MDR-AB) ในโรงพยาบาลพระมงกุฎเกล้า คิดเป็นร้อยละ 21.1 (Aimsaad et al., 2009) ต่อมาในปี ค.ศ. 2014 ภายในโรงพยาบาลศิริราช พบอุบัติการณ์ของ MDR-AB ร้อยละ 88.7 (Chaisathaphol, & Chayakulkeeree, 2014) ส่วนรูปแบบการต่อต้านจุลชีพของเชื้อ *A. baumannii* แบบ XDR-AB มีผู้ศึกษาในปี ค.ศ. 2011 พบอุบัติการณ์ของ XDR-AB คิดเป็นร้อยละ 30.6 (Anunnatsiri, & Tonsawan, 2011) ส่วนในปี ค.ศ. 2015 ภายในโรงพยาบาลมหาวิทยาลัยเชียงใหม่ พบร่วมกับเชื้อ *A. baumannii* ที่แยกได้จากสิ่งส่งตรวจทั้งหมด ต่อต้านจุลชีพทุกชนิดที่ใช้ในการทดสอบ ยกเว้น colistin และ tigecycline คิดเป็นร้อยละ 65.3 (Inchai et al., 2015) และอุบัติการณ์การต่อต้านจุลชีพในกลุ่มcarbapenemของเชื้อ *A. baumannii* (CR-AB) ภายในประเทศไทยยังเพิ่มสูงขึ้น จากร้อยละ 46.7 ในปี ค.ศ. 2009 เป็นร้อยละ 81.8 ในปี ค.ศ. 2012 (Dejsirilert et al., 2012; Werarak et al., 2012) ซึ่งจากผลการศึกษาในครั้งนี้ แสดงให้เห็นว่าเชื้อ *A. baumannii* ที่แยกได้จากโรงพยาบาลบิเวณภาคเหนือของประเทศไทยในปัจจุบันนั้น มีอุบัติการณ์การต่อต้านจุลชีพเป็นจำนวนมาก สงผลให้จำเป็นต้องตระหนักในเรื่องของการใช้ยาต้านจุลชีพในการรักษาโรคติดเชื้อให้เหมาะสม มากยิ่งขึ้น เพื่อช่วยลดอุบัติการณ์การต่อต้านจุลชีพในอนาคตต่อไป

เมื่อทำการศึกษาความไวต่อยาต้านจุลชีพแล้ว ทำการตรวจสอบหาเชิงดื้อยาในกลุ่ม OXA-type carbapenemase ซึ่งได้แก่ เชิงดื้อยา bla_{OXA-23} , bla_{OXA-24} และ bla_{OXA-58} ของเชื้อ *A. baumannii* ที่แยกได้ จากการศึกษาพบว่าตรวจพบเชิงดื้อยา bla_{OXA-23} มากที่สุด คิดเป็นร้อยละ 76.2 (ตาราง 16) สอดคล้องกับการศึกษาทั่วไปในประเทศไทยและในทวีปเอเชีย ที่พบคุณติการณ์ของเชิงดื้อยา bla_{OXA-23} มากที่สุด อุบัติ率ว่างร้อยละ 80-100 ในเชื้อ *A. baumannii* ที่แยกได้จากสิ่งสังเคราะห์ของผู้ป่วย (Niumsup et al., 2009; Thapa et al., 2010; Jantama et al. 2013; Santimaleeworagun et al., 2014) นอกจากนี้ยังตรวจพบเชิงดื้อยา bla_{OXA-58} จำนวน 14 ไอโซเลต คิดเป็นร้อยละ 8.7 เพิ่มขึ้นจากการศึกษาของ Jumroon และ Santanirand ในปี ค.ศ. 2013 ที่พบเชิงดื้อยา bla_{OXA-58} กายในเชื้อ *A. baumannii* ที่แยกได้จากโรงพยาบาลรามาธิบดี จังหวัดกรุงเทพมหานคร คิดเป็นร้อยละ 7.7 ส่วนเชิงดื้อยา bla_{OXA-24} ตรวจไม่พบในเชื้อ *A. baumannii* ที่แยกได้จากโรงพยาบาลเจริญราษฎร์และโรงพยาบาลพิจิตร ตรงกันข้ามกับการศึกษาของ Jumroon และ Santanirand ในปี ค.ศ. 2013 ที่ตรวจพบเชิงดื้อยา bla_{OXA-24} ร้อยละ 7.7 กายในเชื้อ *A. baumannii* ที่ให้ผลบวกกับการทดสอบทางพีโนไทป์เพื่อตรวจสอบหาเอ็นไซม์ในกลุ่ม metallo- β -lactamases (MBLs) (Jumroon, & Santanirand, 2013) นอกจากนี้ในการศึกษาครั้งนี้ยังพบเชิงดื้อยา 2 ชนิด ได้แก่ bla_{OXA-23} และ bla_{OXA-58} อุบัติ率รวมกันกายในไอโซเลตเดียวกัน (co-existence) จำนวน 2 ไอโซเลต เป็นรายงานครั้งที่สองในประเทศไทย โดยในครั้งแรกนั้นพบในเชื้อ CR-AB ที่แยกได้จากผู้ป่วยโรงพยาบาลพระมงกุฎเกล้า ในช่วงเดือนมกราคม ค.ศ. 2012 ถึงเดือนธันวาคม ค.ศ. 2013 จำนวน 3 ไอโซเลต คิดเป็นร้อยละ 0.9 (Juntanawiwat et al., 2016)

เมื่อนำเชื้อในกลุ่ม extensively drug resistant *A. baumannii* (XDR-AB) มาสกัดพลาสมิด แล้วนำมาทำการศึกษาฐานรูปแบบของพลาสมิด (plasmid profiles) พบร่วมพลาสมิดของเชื้อ XDR-AB ทั้ง 10 ไอโซเลตมีความแตกต่างกัน สามารถแบ่งออกเป็น 2 รูปแบบ คือ รูปแบบ A และรูปแบบ B โดยพลาสมิดที่พบในแต่ละไอโซเลต ประกอบด้วยพลาสมิด 2 พลาสมิดที่มีขนาดแตกต่างกัน อุบัติในช่วง 9 kb ถึง ≥ 23 kb สอดคล้องกับการศึกษาของ Saranathan et al. ในปี ค.ศ. 2014 ที่ทำการศึกษาฐานรูปแบบของพลาสมิดภายในเชื้อ *A. baumannii* ที่แยกได้จากสิ่งสังเคราะห์ในโรงพยาบาลประเทศไทย จากการศึกษาพบว่าเชื้อ *A. baumannii* ที่แยกได้มีขนาดของพลาสมิดในช่วง 500 bp ถึง ≥ 25 kb และภายในพลาสมิดยังตรวจพบเชิงดื้อยา bla_{OXA-23} และ bla_{IMP-1} คิดเป็นร้อยละ 42 และ 36 ตามลำดับ (Saranathan et al., 2014) นอกจากนี้การศึกษาของ Sadeghifard et al. ในปี ค.ศ. 2010 พบร่วมรูปแบบของพลาสมิดมีความสัมพันธ์เกี่ยวข้องกับรูปแบบการต่อต้านจุลชีพของเชื้อแบคทีเรีย (antimicrobial susceptibility patterns) และ

รูปแบบของพลาสมิดที่มีลักษณะเหมือนกัน อาจมาจากการเชื้อบรรพบุรุษสายพันธุ์เดียวกัน (ancestral strains) อีกด้วย (Sadeghifard et al., 2010)

จากการตรวจหาสายพันธุ์ของเชื้อ *Acinetobacter spp.* ที่แยกได้จากแหล่งธรรมชาติ จำนวน 19 โภชนาต โดยการวิเคราะห์ลำดับนิวคลีโอไทด์ของยีน 16S rRNA และยีน *rpoB* พบว่า สามารถจำแนกเป็นสายพันธุ์ *A. baumannii* มากที่สุด จำนวน 9 โภชนาต รองลงมา ได้แก่ *A. soli* จำนวน 8 โภชนาต และ *A. nosocomialis* จำนวน 2 โภชนาต ตั้งแสดงในตาราง 10 เมื่อนำมาทดสอบความไวต่อยาต้านจุลชีพ โดยวิธี disc diffusion พบว่าเชื้อ *Acinetobacter spp.* ที่แยกได้จากแหล่งน้ำธรรมชาติภายในมหาวิทยาลัยนเรศวร ส่วนใหญ่ไม่ต่อต้านจุลชีพ และจัดเป็นสายพันธุ์ *A. soli* ซึ่งในปี ค.ศ. 2008 และ ค.ศ. 2015 ได้มีรายงานการตรวจพบเชื้อ *A. soli* จากตัวอย่างติดในป่าและผัก ตามลำดับ (Kim et al., 2008; Rafei et al., 2015) ส่วนเชื้อ *Acinetobacter spp.* ที่แยกได้จากแหล่งน้ำบริเวณบ่อบำบัดน้ำเสียภายในโรงพยาบาลพุทธชินราช ส่วนใหญ่พบว่าเป็นสายพันธุ์ *A. baumannii* และพบว่าเชื้อที่แยกได้มักต่อต้านจุลชีพที่ใช้ในการทดสอบ โดยมีรูปแบบการต้านยาแบบ MDR-AB และ CR-AB สองคลัสเตอร์กับการศึกษาของ Hrenovic et al. ในปี ค.ศ. 2014 ที่ตรวจพบเชื้อ *A. baumannii* มีรูปแบบการต้านยาแบบ MDR-AB และ CR-AB จากตัวอย่างน้ำเสียในประเทศไทยเชี่ยนนันสามารถมีชีวิตอยู่รอดได้ในน้ำเสียมากกว่า 50 วัน ซึ่งอาจส่งผลให้สามารถตรวจพบเชื้อ *A. baumannii* ที่ต่อต้านจุลชีพในสิ่งแวดล้อมทั่วไป รวมทั้งแหล่งน้ำได้เป็นจำนวนมากในปัจจุบัน (Hrenovic et al., 2014) ต่อมาในปี ค.ศ. 2016 มีรายงานการตรวจพบเชื้อ *A. baumannii* จากตัวอย่างน้ำในแม่น้ำของประเทศไทยบริษัท เชื้อที่แยกได้นั้นมีรูปแบบการต้านยาแบบ CR-AB และมียีนต้านยา *bla_{OXA-23}* เพราะจะนั้นแหล่งน้ำอาจเป็นแหล่งอาศัย (reservoirs) ที่สำคัญของเชื้อแบคทีเรียที่เรียกว่า “ซึ่งอาจส่งผลกระทบต่อสุขภาพของมนุษย์และสัตว์อื่นๆตามมาในอนาคต (Turano et al., 2016)

การศึกษาการส่งผ่านยีนในแนวราบ (horizontal gene transfer) “ได้แก่ ทรานส์ฟอร์เมชัน ทรานส์ดัคชัน และคอนจูกेशันนิส” จำเป็นต้องมีแบคทีเรียผู้ให้และแบคทีเรียผู้รับ ในการศึกษาครั้งนี้ ให้เชื้อ XDR-AB จำนวน 10 โภชนาต เป็นแบคทีเรียผู้ให้ ส่วนเชื้อแบคทีเรียผู้รับคัดเลือกจากเชื้อ *Acinetobacter spp.* ที่แยกได้จากแหล่งธรรมชาติ และต่อต้านจุลชีพที่ใช้ใน การทดสอบ “ไม่มียีนต้านยาต้านจุลชีพ” จากการศึกษาพบว่า *Acinetobacter spp.* จำนวน 4 สายพันธุ์ คือ NU005-1, NU013, NU015 และ NI003 สามารถนำมาใช้เป็นแบคทีเรียผู้รับได้

การศึกษาการส่งผ่านยีนต์ออยาโดยวิธีทรายสฟอร์เมชัน ใช้พลาสมิดจากเชื้อในกลุ่ม XDR-AB จำนวน 10 ไอโซเลต เป็นแบคทีเรียผู้ให้ และเชื้อ *Acinetobacter spp.* ที่ไวต่อยา ต้านจุลชีพ จำนวน 4 ไอโซเลต ได้แก่ NU005-1, NU013, NU015 และ NI003 เป็นแบคทีเรียผู้รับ พบว่าภายในกระบวนการทดลองโดยวิธีทรายสฟอร์เมชันแบบธรรมชาติ (Natural transformation) แล้วนำมำทำการ spread plate ลงบนจานอาหารเลี้ยงเชื้อที่มียาต้านจุลชีพ ได้แก่ ticarcillin (50 µg/ml), kanamycin (20 µg/ml) และ tetracycline (20 µg/ml) พบโดยโนนีเจริญได้บนอาหาร เลี้ยงเชื้อที่มียาต้านจุลชีพ kanamycin (20 µg/ml) (ตาราง 17) เมื่อนำโดยโนนีที่ได้ไปทำการตรวจหา ยีนต์ออยา *aphA6* ซึ่งเป็นยีนที่ทำให้เชื้อดืโตยาต้านจุลชีพ kanamycin พบว่าตรวจไม่พบยีนต์ออยา *aphA6* ใน transformants ที่นำมาศึกษา ซึ่งยืนที่ทำให้เชื้อ *A. baumannii* ดืโตยาต้านจุลชีพ kanamycin มีอยู่ด้วยกันหลากหลายยีน เช่น ยีนในกลุ่ม phosphotransferases ได้แก่ *aphA1*, *aphA6* ยีนในกลุ่ม acetyltransferases ได้แก่ *aacC1*, *aacC2*, *aacA4* และยีนในกลุ่ม nucleotidyltransferases ได้แก่ *aadB*, *aadA1* (Nemec et al., 2004) เพราะฉะนั้นเป็นไปได้ว่าใน เชื้อแบคทีเรียผู้ให้อาจมียีนต์ออยาชนิดอื่นที่ทำให้เชื้อดืโตยาต้านจุลชีพ kanamycin เช่นกัน จึงทำให้สามารถตรวจพบโดยโนนีเจริญบนอาหารเลี้ยงเชื้อดังกล่าวได้ ในปี ค.ศ. 2011 มีรายงาน การศึกษาของ Rumbo et al. พบว่าประสบความสำเร็จในการส่งผ่านยีนต์ออยาจากแบคทีเรียผู้ให้ ไปสู่แบคทีเรียผู้รับ โดยอาศัยวิธีทรายสฟอร์เมชันแบบธรรมชาติ กล่าวคือใช้ Outer membrane vesicles (OMVs) ของเชื้อ *A. baumannii* สายพันธุ์ AbH120-A2 และ AbH120-CU3 จำนวน 2 ไอโซเลต ซึ่งมีพลาสมิดที่มียีนต์ออยา *bla_{OXA-24}* เป็นแบคทีเรียผู้ให้ และเชื้อ *A. baumannii* ATCC17978 ซึ่งไวต่อยาต้านจุลชีพในกลุ่มคาร์บานิเนมเป็นแบคทีเรียผู้รับ จากการศึกษาทดลอง พบว่าเชื้อ *A. baumannii* ที่มีการปลดปล่อยของ Outer membrane vesicles (OMVs) ซึ่งภายในบรรจุยีนต์ออยา *bla_{OXA-24}* สามารถส่งผ่านยีนต์ออยานี้ไปสู่ *A. baumannii* ATCC17978 ได้ ส่งผลให้ เชื้อแบคทีเรียผู้รับดืโตยาต้านจุลชีพในกลุ่มคาร์บานิเนม ได้แก่ imipenem, meropenem และ doripenem เพิ่มสูงขึ้นจาก 0.38, 0.75 และ 0.19 µg/ml เป็น ≥ 32 µg/ml ตามลำดับ (Rumbo et al., 2011) ต่อมา Ramirez et al. ได้ทำการศึกษาการส่งผ่านยีนต์ออยา *bla_{CTX-M-2}* โดยวิธีทรายสฟอร์เมชันแบบธรรมชาติ ใช้พลาสมิด pDCMSR1 ของเชื้อ *Proteus mirabilis* Prm9 ที่มียีน *bla_{CTX-M-2}* เป็นแบคทีเรียผู้ให้ และเชื้อ *A. baumannii* A118 เป็นแบคทีเรียผู้รับ จากการศึกษาพบว่า transformants ที่ได้มีค่า MIC ของยา CTX สูงขึ้นจาก 8 µg/ml เป็น 32 µg/ml และยังตรวจพบ ยีนต์ออยา *bla_{CTX-M-2}* ใน transformants ที่ได้อีกด้วย (Ramirez et al., 2012) แต่มีการศึกษาอื่นๆ รายงานว่าการส่งผ่านยีนต์ออยาโดยวิธีทรายสฟอร์เมชัน ส่วนใหญ่มักต้องใช้กระแทกเพื่อเพิ่มความช่วย

ในการกระตุ้นให้แบคทีเรียผู้รับพร้อมที่จะรับดีเอ็นเอหรือพลาสมิดที่มียีนดีอยาเข้ามาภายในเซลล์ ให้มีประสิทธิภาพดียิ่งขึ้น ที่เรียกว่า electrotransformation เห็นได้จากการศึกษาของ Bertini et al. ที่ประสบความสำเร็จในการส่งผ่านยีนดีอยาจากพลาสมิดของเชื้อ *A. baumannii* Ab120066 ที่มียีนดีอยา *bla_{OXA-58}* ไปสู่เชื้อ *A. baumannii* BM4547 ซึ่งใช้เป็นแบคทีเรียผู้รับ ทำให้เชื้อแบคทีเรียผู้รับดีอตอยาต้านจุลชีพในกลุ่มคาร์บานิเนมตามมา (Bertini et al., 2010) และยังมีการศึกษาในปี ค.ศ. 2012 พบว่าพลาสมิดของเชื้อ *Acinetobacter* spp. ที่มียีนดีอยา *bla_{NDM-1}* สามารถส่งผ่านยีนดีอยา *bla_{OXA-58}* ไปสู่เชื้อ *A. baylyi* ADP1 ได้โดยอาศัยวิธี electrotransformation (Fu et al., 2012) นอกจากนี้มีรายงานการศึกษาของ Fu et al. พบว่าวิธีทранส์ฟอร์เมชันแบบ electrotransformation สามารถส่งผ่านยีนดีอยา *bla_{OXA-58}* จากพลาสมิดในเชื้อ *Acinetobacter* spp. ไปสู่เชื้อแบคทีเรียผู้รับ *A. baumannii* LS0148 ได้ ส่งผลให้ตรวจพบยีนดีอยา *bla_{OXA-58}* และการต่อตอยาในกลุ่มคาร์บานิเนมเพิ่มสูงขึ้น 2-32 เท่า ใน transformants ที่ได้ (Fu et al., 2014) นำผลการทดลองมาคำนวณหาประสิทธิภาพของการทวนส์ฟอร์เมชัน (Transformation efficiency: TE) พบว่ามีค่าอยู่ในช่วง $2.0 \times 10^1 - 8.0 \times 10^2$ transformants/ μg plasmid DNA ซึ่งแตกต่างจากการศึกษาของ Patwardhan et al. ที่ทำการศึกษาการส่งผ่านการต่อตอยาระหว่างพลาสมิด pUPI281 ของเชื้อ *A. baumannii* A24 และเชื้อ *E. coli* HB101 โดยอาศัยกระบวนการทวนส์ฟอร์เมชันแบบใช้สารเคมีเหนี่ยวน้ำ (CaCl_2) ซึ่งให้ค่า TE เท่ากับ 4.3×10^4 transformants/ μg plasmid DNA (Patwardhan et al., 2008) และการศึกษาของ Pour et al. ที่ทำการศึกษาการส่งผ่านยีนดีอยาของพลาสมิด pUPI801-807 ในเชื้อ *A. baumannii* A3 และ *A. baylyi* 7054 โดยอาศัยกระบวนการทวนส์ฟอร์เมชันแบบรวมชาติ เมื่อนำมาคำนวณหาค่า TE พบว่าเท่ากับ 2.9×10^3 transformants/ μg plasmid DNA (Pour et al., 2011) เห็นได้ว่า ประสิทธิภาพของการทวนส์ฟอร์เมชันในครั้งนี้ต่ำกว่าการศึกษาของ Patwardhan et al. เนื่องจาก การศึกษาของ Patwardhan et al. เป็นการศึกษาการส่งผ่านยีนดีอยาโดยอาศัยกระบวนการทวนส์ฟอร์เมชันแบบใช้สารเคมีเหนี่ยวน้ำ plasmid DNA เข้าสู่แบคทีเรียผู้รับ จึงทำให้ประสิทธิภาพในการทวนส์ฟอร์เมชันดีกว่าการศึกษาครั้งนี้ จากนั้นนำผลการทดลองมาคำนวณหาค่าความถี่ในการเกิดกระบวนการทวนส์ฟอร์เมชัน (Frequency of transformation) พบว่ามีค่าอยู่ในช่วง 1.1×10^{-10} ถึง 4.4×10^{-11} ซึ่งมีค่าต่ำกว่าการศึกษาของ Doughari et al. ที่ทำการศึกษาการส่งผ่านการต่อตอยาผ่านกระบวนการทวนส์ฟอร์เมชันแบบรวมชาติ โดยใช้เชื้อ *E. coli* ที่ต่อตอยาต้านจุลชีพเป็นแบคทีเรียผู้ให้ และใช้เชื้อ *A. Iwoffii* และ *A. haemolyticus* เป็นแบคทีเรียผู้รับ

จากการศึกษาพบว่าค่า Frequency of transformation อยู่ในช่วง $1.3 - 5.4 \times 10^{-6}$ (Doughari et al., 2012)

หลังจากนั้นศึกษาการส่งผ่านยีนดีออยาโดยวิธีทวนสตั๊กชั่น อาศัยแบคเทอโริโอล์ฟเจ เป็นตัวนำพา yin ดีออยาจากแบคทีเรียผู้รับไปสู่แบคทีเรียผู้ให้ XDR-AB สายพันธุ์ AB135 ที่มีแบคเทอโริโอล์ฟเจ ABP19 (\emptyset ABP-19) เป็นตัวนำพา yin ดีออยา สามารถนำพา yin ดีออยา tet(B) ซึ่งทำให้เชื้อดื้อต่อยา tetracycline ไปสู่แบคทีเรียผู้รับสายพันธุ์ NU013 และ NU015 ได้ (ตาราง 18) ส่งผลให้ตรวจพบ yin ดีออยา tet(B) ใน transductants ที่ได้ ดังแสดงในภาพ 9 กระบวนการทวนสตั๊กชั่นนี้ ส่วนใหญ่มักเกิดขึ้นแบบทวนสตั๊กชั่นทั่วไป (generalize transduction) เริ่มจากแบคเทอโริโอล์ฟเจที่บรรจุ yin ดีออยาจากแบคทีเรียผู้ให้จะเข้าไปเกาะติดกับ เชลล์แบคทีเรียผู้รับ จากนั้นแบคเทอโริโอล์ฟเจจะทำการปลดปล่อย yin ดีออยาจากแบคทีเรียผู้ให้ไปสู่ แบคทีเรียผู้รับ ยีนดีออยาจะแทรกเข้าไปภายในโครงสร้างของแบคทีเรียผู้รับ ส่งผลให้แบคทีเรียผู้รับ ได้รับ yin ดีออยาและดื้อต่อยาต้านจุลชีพตามมา ซึ่งภายในเชื้อ *A. baumannii* ยังไม่มีผู้ทำการศึกษา ทดลอง แต่มีรายงานการศึกษาอื่นๆ ในแบคทีเรียแกรมลบ เช่น ในเชื้อ *E. coli* โดย Shousha et al. ซึ่งทำการศึกษาการส่งผ่าน yin ดีออยาโดยใช้เชื้อ *E. coli* ที่ดื้อต่อยาต้านจุลชีพเป็นแบคทีเรียผู้ให้ เชื้อ *E. coli* ATCC 13706 เป็นแบคทีเรียผู้รับ และมีแบคเทอโริโอล์ฟเจเป็นตัวนำพา yin ดีออยา จากการศึกษาพบว่าประสบความสำเร็จในการส่งผ่าน yin ดีออยา aphA1, tet(A), floR และ bla_{TEM-1} จากแบคทีเรียผู้ให้ไปสู่แบคทีเรียผู้รับ (Shousha et al., 2015) นอกจากนี้ยังมีการศึกษาการส่งผ่าน yin ดีออยา โดยอาศัยกระบวนการทวนสตั๊กชั่นในแบคทีเรียแกรมบวก โดยใช้เชื้อ *S. aureus* USA300 เป็นแบคทีเรียผู้ให้ แบคเทอโริโอล์ฟเจ \emptyset 80α, \emptyset JB เป็นตัวนำพา yin ดีออยา ส่วนเชื้อแบคทีเรียผู้รับ คือ *S. aureus* 07/235 และ 07/759 จากการศึกษาพบว่าแบคเทอโริโอล์ฟเจ \emptyset 80α และ \emptyset JB สามารถนำพา yin ดีออยา bla_Z, cadD และ tet(K) ไปสู่แบคทีเรียผู้รับได้ โดยมีค่า transduction frequency เท่ากับ $10^{-5} - 10^{-6}$ จะเห็นได้ว่ามีค่าสูงกว่าการศึกษาวิจัยในครั้งนี้ที่ใช้ แบคเทอโริโอล์ฟเจของแบคทีเรียแกรมลบ คือเชื้อ *A. baumannii* เป็นตัวนำพา yin ดีออยา ($4.8 - 9.1 \times 10^{-9}$) (Varga et al., 2012) ต่อมาในปี ค.ศ. 2016 มีรายงานว่าแบคเทอโริโอล์ฟเจ TEM123 สามารถนำพา yin ดีออยา metallo-β-lactamase ซึ่งพบบนโครงสร้างของแบคทีเรียผู้ให้ *S. aureus* S123 มาสู่เชื้อ *S. aureus* S133 ที่ไวต่อยาต้านจุลชีพ สองผลให้แบคทีเรียผู้รับดื้อต่อยา ต้านจุลชีพในกลุ่ม β-lactam สูงขึ้น (Lee, & Park, 2016) จากที่กล่าวมาแสดงให้เห็นว่า แบคเทอโริโอล์ฟเจอาจเป็นตัวกลางสำคัญที่สามารถนำพา yin ดีออยาไปสู่แบคทีเรียอื่นๆ ที่ไม่ดื้อต่อยา

ต้านจุลชีพ สงผลให้ตรวจพบอัตราการต่อต้านจุลชีพภายในเชื้อแบคทีเรียเพิ่มสูงขึ้นในปัจจุบันอีกด้วย

กระบวนการครอบอนุเกห์ชัน เป็นกระบวนการส่งผ่านยีนต์อยา โดยอาศัยอวัยวะพิเศษ ที่เรียกว่า sex pilus ใน การส่งผ่านยีนต์อยาจากแบคทีเรียผู้ให้ไปสู่แบคทีเรียผู้รับ จากการศึกษาในครั้งนี้พบว่า เชื้อ XDR-AB สายพันธุ์ AB140 ที่มียีนต์อยา kanamycin (*aphA6*) สามารถส่งผ่านยีนต์อยา *aphA6* ซึ่งทำให้เชื้อต่อต้านจุลชีพ kanamycin ไปสู่แบคทีเรียผู้รับ *A. baumannii* สายพันธุ์ NU013 และ NU015 ได้โดยอาศัยกระบวนการครอบอนุเกห์ชัน (ตาราง 19) ทำให้สามารถตรวจพบยีนต์อยา *aphA6* ใน transconjugants เมื่อนำมาคำนวณหาค่า frequency of conjugation (CF) พบว่ามีค่าเท่ากับ $6.3 - 8.5 \times 10^{-5}$ ส่วน transconjugants ที่สามารถเจริญบน艰辛อาหารที่มียา ต้านจุลชีพ ticarcillin 50 µg/ml เมื่อนำมาตรวจหา yinต์อยาในกลุ่ม OXA-type carbapenemase (*bla*_{OXA-23}, *bla*_{OXA-24}, *bla*_{OXA-58}) ตรวจไม่พบ yinต์อยา ส้มพันธ์กับการศึกษาของ Fu et al. ที่รายงานว่า การส่งผ่าน yinต์อยาในกลุ่ม OXA-type carbapenemase (*bla*_{OXA-58}) โดยอาศัยเชื้อ *Acinetobacter* spp. ได้แก่ *A. pitti*, *A. nosocomialis* และ *A. baumannii* เป็นแบคทีเรียผู้ให้ไปสู่เชื้อแบคทีเรียผู้รับ *A. baumannii* ไม่ประสบความสำเร็จในการส่งผ่าน yinต์อยา (Fu et al., 2014) มีความเป็นไปได้ว่าอาจจะเป็น yinต์อยาในกลุ่ม β-lactam ชนิดอื่น ได้แก่ yinต์อยาในกลุ่ม class A β-lactamase (*bla*_{GES-11}) หรือ class B metallo-β-lactamase (*bla*_{NDM-1}) ที่เกิดการส่งผ่าน yinต์อยาโดยวิธีครอบอนุเกห์ชัน ส่งผลให้เชื้อต่อต้านจุลชีพในกลุ่ม carbapenemase (*bla*_{OXA-23}, *bla*_{OXA-58}, *bla*_{GES-11}, *bla*_{IMP-1} และ *bla*_{NDM-1}) จากแบคทีเรียผู้ให้ เชื้อ *Acinetobacter* spp. ไปสู่แบคทีเรียผู้รับได้ ส่งผลให้ตรวจพบ yinต์อยาและอัตราการต่อต้านจุลชีพของแบคทีเรียเพิ่มสูงขึ้นอย่างรวดเร็ว (Bertini et al., 2010; Charfi-Kessis et al., 2014; Zhang et al., 2014; Yang et al. 2015) นอกจากนี้ยังพบว่าค่า frequency of conjugation (CF) ที่คำนวณได้จากการศึกษาทดลองในครั้งนี้อยู่ในช่วง $1.0 \times 10^{-4} - 8.6 \times 10^{-5}$ ส้มพันธ์กับการศึกษา ก่อนหน้านี้ในปี ค.ศ. 2008 ที่ทำการศึกษาการส่งผ่าน yinต์อยาโดยอาศัยกระบวนการครอบอนุเกห์ชัน ในการส่งผ่าน yinต์อยา *bla*_{OXA-58} ระหว่างเชื้อ *A. baumannii* ที่ต่อต้านจุลชีพ imipenem ไปสู่เชื้อ *A. baumannii* AbF ที่ไม่ต่อต้านจุลชีพ imipenem พบร่วมค่า CF อยู่ที่ $2.0 \times 10^{-5} - 1.5 \times 10^{-6}$ (Zarrilli et al., 2008) อีกทั้งยังสอดคล้องกับการศึกษาของ Talreja et al. ในปี ค.ศ. 2014

ที่ทำการศึกษาการส่งผ่านยีนดื้อยาจากเชื้อ MDR-AB ไปสู่เชื้อ *E. coli* J53 ซึ่งใช้เป็นแบคทีเรียผู้รับจากการศึกษาพบว่าเชื้อ MDR-AB สามารถส่งผ่านยีนดื้อยา quinolone (*aaC (6')-Ib*) และยีนดื้อยา tetracycline (*tet(E), tet(B)*) ไปสู่เชื้อแบคทีเรียผู้รับได้ โดยมีค่า CF เท่ากับ 10^{-4} (Talreja et al., 2014)

ข้อเสนอแนะ

ผลที่ได้จากการศึกษาทางเอนไซม์วิทยาของ class D β -lactamase และการถ่ายทอดยีนในเชื้อ *A. baumannii* แสดงให้เห็นว่าปัจจุบันประเทศไทยพบคุณติการณ์การดื้อยาต้านจุลชีพของเชื้อ *A. baumannii* เพิ่มสูงขึ้นมาก ส่งผลให้การรักษาทำได้ยาก ผู้ป่วยมีอัตราการเสียชีวิตสูง อีกทั้งยังพบยีนดื้อยาโดยเฉพาะยีนดื้อยา class D β -lactamase แพร่กระจายในวงกว้าง และยังสามารถส่งผ่านการดื้อยาหรือยีนดื้อยาเหล่านี้โดยอาศัยกระบวนการถ่ายทอดยีนในแนวราบ ซึ่งประกอบด้วย 3 กระบวนการ ได้แก่ หวานสฟอร์เมชัน หวานสตั๊กชัน และคอนจูเกชัน ระหว่างแบคทีเรียด้วยกัน ซึ่งในการศึกษาครั้งนี้เป็นการศึกษาข้อมูลเบื้องต้นโดยได้จำลองการส่งผ่านยีนดื้อยาระหว่างแบคทีเรียผู้ให้ *A. baumannii* ที่แยกได้จากสิ่งสกปรกในโรงพยาบาล และแบคทีเรียผู้รับ *Acinetobacter* spp. ที่แยกได้จากสิ่งแวดล้อม เพราะฉะนั้นเพื่อให้เข้าใจถึงกระบวนการถ่ายทอดยีนดื้อยาในแบคทีเรียมากขึ้น จึงจำเป็นต้องมีการศึกษาเพิ่มเติม โดยใช้เทคนิค whole genome sequencing เพื่อให้รู้ส่วนประกอบทั้งหมดภายในจีโนมของแบคทีเรียผู้ให้ และแบคทีเรียผู้รับ แล้วนำข้อมูลมาท่านายการส่งผ่านยีนดื้อยานิดอื่นๆที่พบในจีโนมของแบคทีเรีย นอกจานี้ควรศึกษาถึงตำแหน่งที่พบยีนดื้อยาอื่นๆเพิ่มเติม เช่น การส่งผ่านยีนดื้อยาโดยใช้ outer membrane vesicle เพื่อให้เกิดความเข้าใจในการถ่ายทอดยีนดื้อยามากยิ่งขึ้น รวมทั้งควรหารือว่าที่เหมาะสมในการกำจัดแบคทีเรียดื้อยาในโรงพยาบาลไม่ใช้มีการปนเปื้อนของมาสู่สิ่งแวดล้อม และนำผลการศึกษาที่ได้ไปประยุกต์ใช้ในการควบคุมป้องกันการแพร่กระจายของแบคทีเรียทั้งภายในประเทศไทยและต่างประเทศต่อไป



บรรณานุกรม

- รัชวิวรรณ แสงศรี. (2556). การตรวจหา copper regulzator genes ในเชื้อ *Acinetobacter baumannii* และ *Acinetobacter spp.* (การศึกษาอิสระปริญญาวิทยาศาสตรบัณฑิต). พิษณุโลก: มหาวิทยาลัยนเรศวร.
- Adums, H. W. (1959). *Bacteriophage*. New York: Inter science Publishers.
- Aimsaad, L., Diraphat, P., Utrarachkij, F., Thunyaharn, S., Samakoses, R. & Siripanichgon, K. (2009). Epidemiological characteristics of *Acinetobacter baumannii* infections at Phramongkutklao Hospital. *Journal of the Medical Association of Thailand*, 92(7), 164-172.
- Al Atrouni, A., Hamze, M., Jisr, T., Lemarié, C., Eveillard, M., Joly-Guillou, M. L., & Kempf, M. (2016). Wide spread of OXA-23-producing carbapenem-resistant *Acinetobacter baumannii* belonging to clonal complex II in different hospitals in Lebanon. *International Journal of Infectious Diseases*, 52, 29–36.
- Aminov, R. I., Chee-Sanford, J. C., Garrigues, N., Teferedegne, B., Krapac, I. J., White, B. A. & Mackie, R. I. (2002). Development, validation, and application of PCR primers for detection of tetracycline efflux genes of gram-negative bacteria. *Applied and Environmental Microbiology*, 68(4), 1786-1793.
- Anunnatsiri, S. & Tonsawan, P. (2011). Risk factors and clinical outcomes of multidrug resistant *Acinetobacter baumannii* bacteraemia at a university hospital in Thailand. *The Southeast Asian Journal of Tropical Medicine and Public Health*, 42(3), 693-703.
- Aswapokee, N., Tiengrim, S., Charoensook, B. & Sangsiriwut, K. (1998). Antimicrobial resistant pattern of *Acinetobacter spp.* *Journal of Infectious Diseases and Antimicrobial Agents*, 15(2), 43-48.
- Awwal, S. M. & Abalaka M. (2011). Effectiveness of transduction and conjugation in genetic transformation. *Journal of Pharmaceutical Research and Opinion*, 1(7), 170 – 173.

- Baker, S., Griffiths, C. & Nicklin, J. (2011). *Microbiology*. New York: Garland Science, Taylor & Francis Group, LLC.
- Bertini, A., Poirel, L., Mugnier, P. D., Villa, L., Nordmann, P. & Carrattoli, A. (2010). Characterization and PCR-Based Replicon Typing of Resistance Plasmids in *Acinetobacter baumannii*. *Antimicrobial Agents and Chemotherapy*, 54(10), 4168–4177.
- Black, L. J. (2013). *Microbiology*. Singapore: John Wiley & Sons Singapore Pte. Ltd.
- Bonnin, R. A., Nordmann, P., Potron, A., Lecuyer, H., Zahar, J. R. & Poirel, L. (2011). Carbapenem-hydrolyzing GES-type extended-spectrum beta-lactamase in *Acinetobacter baumannii*. *Antimicrobial Agents and Chemotherapy*, 55(1), 349-354.
- Bonomo, R. A. & Szabo, D. (2006). Mechanisms of multidrug resistance in *Acinetobacter* species and *Pseudomonas aeruginosa*. *Clinical Infectious Diseases*, 43(2), 49-56.
- Bou, G., Cerveró, G., Domínguez, M. A., Quereda, C. & Martínez-Beltrán, J. (2000). Characterization of a nosocomial outbreak caused by a multiresistant *Acinetobacter baumannii* strain with a carbapenem-hydrolyzing enzyme: high-level carbapenem resistance in *A. baumannii* is not due solely to the presence of beta-lactamases. *Journal of Clinical Microbiology*, 38(9), 3299-3305.
- Bou, G., Oliver, A. & Martinez-Beltran, J. (2000). OXA-24, a Novel Class D β -lactamase with Carbapenemase activity in an *Acinetobacter baumannii* Clinical Strain. *Antimicrobial Agents and Chemotherapy*, 44(6), 1556–1561.
- Bush, K. & Jacoby, G. A. (2010). Updated functional classification of β -lactamase. *Antimicrobial Agents and Chemotherapy*, 54(3), 969–976.
- Camarena, L., Bruno, V., Euskirchen, G., Poggio, S. & Snyder, M. (2010). Molecular mechanisms of ethanol-induced pathogenesis revealed by RNA-sequencing. *Plos Pathogens*, 6(4), e1000834.

- Carvalho, K. R., Carvalho-Assef, A. P., Peirano, G., Santos, L. C., Pereira, M. J. & Asensi, M. D. (2009). Dissemination of multidrug-resistant *Acinetobacter baumannii* genotypes carrying *bla*_{OXA-23} collected from hospitals in Rio de Janeiro, Brazil. *International Journal of Antimicrobial Agents*, 34(1), 25-28.
- Chaisathaphol, T. & Chayakulkeeree, M. (2014). Epidemiology of infections caused by multidrug-resistant gram-negative bacteria in adult hospitalized patients at Siriraj Hospital. *Journal of the Medical Association of Thailand*, 97(Suppl 3), S35-S45.
- Chaiwarith, R., Mahatthanphak, S., Boonchoo, M., Supparatpinyo, K. & Sirisanthana, T. (2005). Pandrug-Resistant *Acinetobacter baumannii* at Maharaj Nakorn Chiang Mai Hospital. *Journal of Infectious Diseases and Antimicrobial Agents*, 22(1), 1-8.
- Charfi-Kessis, K., Mansour, W., Ben Haj Khalifa, A., Mastouri, M., Nordmann, P., Aouni, M. & Poirel, L. (2014). Multidrug-resistant *Acinetobacter baumannii* strains carrying the *bla*_{OXA-23} and the *bla*_{GES-11} genes in a neonatology center in Tunisia. *Microbial Pathogenesis*, 74, 20-24.
- Choi, C. H., Lee, S. K., Lee, Y. C., Park, T. I. & Lee, J. C. (2008). *Acinetobacter baumannii* invades epithelial cells and outermembrane protein A mediates interactions with epithelial cells. *BMC Microbiology*, 8, doi:10.1186/1471-2180-8-216.
- Choi, J. Y., Kwak, Y. G., Yoo, H., Lee, S. O., Kim, H. B., Han, S. H., ... & Lee, H. (2016). Trends in the distribution and antimicrobial susceptibility of causative pathogens of device-associated infection in Korean intensive care units from 2006 to 2013: results from the Korean Nosocomial Infections Surveillance System (KONIS). *Journal of Hospital Infection*, 92(4), 363-371.
- Dale, J. W. (1994). *Molecular genetics of bacteria*. England: John Wiley & Sons Ltd.
- Davies J. & Davies, D. (2010). Origins and evolution of antibiotic resistance. *Microbiology and Molecular Biology Reviews*, 74(3), 417-433.

- Dejsirilert, S., Tiengrim, S., Sawanpanyalert, P., Aswapee, N. & Malathum, K. (2012). Antimicrobial resistance of *Acinetobacter baumannii*: six years of National Antimicrobial Resistance Surveillance Thailand (NARST) surveillance. *Journal of the Medical Association of Thailand*. 92(Suppl 4), S34-45.
- Di Nocera, P. P., Rocco, F., Giannouli, M., Triassi, M. & Zarrilli R. (2011). Genome organization of epidemic *Acinetobacter baumannii* strains. *BMC Microbiology*, 11, doi: 10.1186/1471-2180-11-224.
- Dortet, L., Legrand, P., Soussy, C. J. & Cattoir, V. (2006). Bacterial Identification, Clinical Significance, and Antimicrobial Susceptibilities of *Acinetobacter ursingii* and *Acinetobacter schindleri*, Two Frequently Misidentified Opportunistic Pathogens. *Journal of Clinical Microbiology*, 44(12), 4471–4478.
- Doughari, H. J., Ndakidemi, P. A., Human, I. S. & Benade, S. (2012). Virulence, resistance genes, and transformation amongst environmental isolates of *Escherichia coli* and *Acinetobacter* spp. *Journal of Microbiology and Biotechnology*, 22(1), 25-33.
- Drawz, S. M., Babic, M., Bethel, C. R., Taracila, M., Distler, A. M., Ori, C., ... & Bonomo, R. A. (2010). Inhibition of the class C beta-lactamase from *Acinetobacter* spp.: insights into effective inhibitor design. *Biochemistry*, 49(2), 329-340.
- Dzidic, S. & Bedekovic, V. (2003). Horizontal gene transfer-emerging multidrug resistance in hospital bacteria. *Acta Pharmacologica Sinica*, 24(6), 519-526.
- Ellis, T. N. & Kuehn, M. J. (2010). Virulence and Immunomodulatory roles of bacterial outer membrane vesicles. *Microbiology and Molecular Biology Reviews*, 74(1), 81–94.
- Espinal, P., Martí, S. & Vila, J. (2012). Effect of biofilm formation on the survival of *Acinetobacter baumannii* on dry surfaces. *Journal of Hospital Infection*, 80(1), 56-60.
- Evans, B. A. & Amyes, S. G. (2014). OXA β-Lactamases. *Clinical Microbiology Reviews*, 27(2), 241-263.

- Falagas, M. E., Karveli, E. A., Kelesidis, I. & Kelesidis, T. (2007). Community-acquired *Acinetobacter* infections. *European Journal of Clinical Microbiology & Infectious Diseases*, 26(12), 857–868.
- Fournier, P. E. & Richet, H. (2006). The Epidemiology and Control of *Acinetobacter baumannii* in Health Care Facilities. *Clinical Infectious Diseases*, 42(5), 692–699.
- Fu, Y., Du, X., Ji, J., Chen, Y., Jiang, Y. & Yu, Y. (2012). Epidemiological characteristics and genetic structure of *bla*_{NDM-1} in non-*baumannii* *Acinetobacter* spp. in China. *Antimicrobial Chemotherapy Advance*, 67(9), 2114-2122.
- Fu, Y., Jiang, J., Zhou, H., Jiang, Y., Fu, Y., Yu, Y. & Zhou, J. (2014). Characterization of a novel plasmid type and various genetic contexts of *bla*_{OXA-58} in *Acinetobacter* spp. from multiple cities in China. *PLOS ONE*, 9(1), e84680.
- Gaddy, J. A., Arivett, B. A., McConnell, M. J., López-Rojas, R., Pachón, J. & Actis, L. A. (2012). Role of acinetobactin-mediated iron acquisition functions in the interaction of *Acinetobacter baumannii* strain ATCC 19606T with human lung epithelial cells, *Galleria mellonella* caterpillars, and mice. *Infection and Immunity*, 80(3), 1015-1024.
- Gehrlein, M., Leying, H., Cullmann, W., Wendt, S. & Opferkuch, W. (1991). Imipenem resistance in *Acinetobacter baumanii* is due to altered penicillin-binding proteins. *Chemotherapy*, 37(6), 405-412.
- Giovanetti, E., Brenciani, A., Morroni, G., Tiberi, E., Pasquarelli, S., Mingoia, M. & Varaldo, P. E. (2015). Transduction of the *Streptococcus pyogenes* bacteriophage Φm46.1, carrying resistance genes *mef(A)* and *tet(O)*, to other *Streptococcus* species. *Frontiers in Microbiology*, 5, e746.
- Go, E. S., Urban, C., Burns, J., Mariano, N., Mosinka-Snipas, K., Rahal, J. J., ... & Eisner, W. (1994). Clinical and molecular epidemiology of *Acinetobacter* infections sensitive only to polymyxin B and sulbactam. *Lancet*, 344(8933), 1329-1332.

- Gogou, V., Pournaras, S., Giannouli, M., Voulgari, E., Piperaki, E. T., Zarrilli, R. & Tsakris, A. (2011). Evolution of multidrug-resistant *Acinetobacter baumannii* clonal lineages: a 10 year study in Greece (2000-09). *Journal of Antimicrobial Chemotherapy*, 66(12), 2767–2772.
- Higgins, P. G., Perez-Llarena, F. J., Zander, E., Fernndez, A., Bou, G. & Seifert, H. (2013). OXA-235, a Novel Class D β -Lactamase Involved in Resistance to Carbapenems in *Acinetobacter baumannii*. *Antimicrobial Agents and Chemotherapy*, 57(5), 2121–2126.
- Hrenovic, J., Durn, G., Goic-Barisic, I. & Kovacic, A. (2014). Occurrence of an environmental *Acinetobacter baumannii* strain similar to a clinical isolate in paleosol from Croatia. *Applied and Environmental Microbiology*, 80(9), 2860-2866.
- Hsueh, P. R., Teng, L. J., Chen, C. Y., Chen, W. H., Yu, C. J., Ho, S. W. & Luh, K.T. (2002). Pandrug-resistant *Acinetobacter baumannii* causing nosocomial infections in a university hospital, Taiwan. *Emerging Infectious Diseases*, 8(8), 827-832.
- Huddleston, J. R. (2014). Horizontal gene transfer in the human gastrointestinal tract: potential spread of antibiotic resistance genes. *Journal of Infection and Drug Resistance*, 7, 167-176.
- Hujer, K. M., Hujer, A. M., Hulten, E. A., Bajaksouzian, S., Adams, J. M., Donskey, C. J., ... & Thomson, J. M. (2006). Analysis of antibiotic resistance genes in multidrug-resistant *Acinetobacter* sp. isolates from military and civilian patients treated at the Walter Reed Army Medical Center. *Antimicrobial Agents and Chemotherapy*, 50(12), 4114-4123.
- Inchai, J., Pothirat, C., Bumroongkit, C., Limsukon, A., Khositsakulchai, W. & Liwsrisakun, C. (2015). Prognostic factors associated with mortality of drug-resistant *Acinetobacter baumannii* ventilator-associated pneumonia. *Journal of Intensive Care*, 3(1), 1-9.

- Jacobs, A. C., Hood, I., Boyd, K. L., Olson, P. D., Morrison, J. M., Carson, S., ... & Dunman, P. M. (2010). Inactivation of Phospholipase Diminishes *Acinetobacter baumannii*. *Pathogenesis. Infection and Immunity*, 78(5), 1952–1962.
- Jantama, S. S., Kunawatanakul, T., Semaram, S., Sangsanon, S., Teerawattanasuk, N. & Jantama, K. (2013). Detection of carbapenemase and *bla*_{OXA-23-like} gene in carbapenem-resistant *Acinetobacter baumannii* at Sunpasitthiprasong Hospital. *Isan Journal of Pharmaceutical Sciences*, 9(2), 99-109.
- Juntanawiwat, P., Thunyaharn, S., Visawapoka, U., Samosornsuk, W. & Samosornsuk, S. (2016). Prevalence of OXA-type carbapenemase genes in carbapenem-resistant *Acinetobacter baumannii* isolates from patients in intensive care unit at Phramongkutklao Hospital. *Journal of Medical Technology and Physical Therapy*, 28(2), 120-128.
- Jumroon, N., & P. Santanirand. (2013). Multiple combination patterns of oxa-type carbapenem hydrolyzing and metallo-β-lactamases encoding genes among clinically isolated *Acinetobacter baumannii*. *International Journal of Pharma and Bio Sciences*, 4(2), 908-917.
- Keen, E. F., Robinson, B. J., Hospenthal, D. R., Aldous, W. K., Wolf, S. E., Chung, K. K. & Murray, C. K. (2010). Prevalence of multidrug-resistant organisms recovered at a military burn center. *Burns*, 36(6), 819-825.
- Kim, D., Baik, K. S., Kim, M. S., Park, S. C., Kim, S. S., Rhee, M. S., ... & Seong, C. N. (2008). *Acinetobacter soli* sp. nov., isolated from forest soil. *The Journal of Microbiology*, 46(4), 396-401.
- Kim, J., Lee, J. E., Ree, H. & Kim, H. J. (2015). Total Synthesis of Acinetobactin. *Korean Chemical Society*, 36(1), 439–441.
- Kim, S. W., Choi, C. H., Moon, D. C., Jin, J. S., Lee, J. H. Shin, J. H., ... & Lee, J. C. (2009). Serum resistance of *Acinetobacter baumannii* through the binding of factor H to outer membrane proteins. *FEMS Microbiology Letters*, 301(2), 224–231.

- Kitti, T., Thummeepak, R., Leungtongkam, U., Kunthalert, D. & Sitthisak, S. (2015). Efficacy of *Acinetobacter baumannii* bacteriophage cocktail on *Acinetobacter baumannii* growth. *African Journal of Microbiology Research*, 9(42), 2159-2165.
- Krahn, T., Wibberg, D., Maus, I., Winkler, A., Bontron, S., Sczyrba, A., ... & Schlüter, A. (2016). Intraspecies transfer of the chromosomal *Acinetobacter baumannii* *bla*_{NDM-1} carbapenemase gene. *Antimicrobial Agents and Chemotherapy*, 60(5), 3032-3040.
- Krizova, L., Poirel, L., Nordmann, P. & Nemec, A. (2013). TEM-1 β -lactamase as a source of resistance to sulbactam in clinical strains of *Acinetobacter baumannii*. *Journal of Antimicrobial Chemotherapy*, 68(12), 2786-2791.
- Kulah, C., Mooij, M. J., Comert, F., Aktas, E., Celebi, G., Ozlu, N., ... & Savelkoul, P. H. (2010). Characterisation of carbapenem-resistant *Acinetobacter baumannii* outbreak strains producing OXA-58 in Turkey. *International Journal of Antimicrobial Agents*, 36(2), 114–118.
- Lee, H. W., Koh, Y. M., Kim, J., Lee, J. C., Lee, Y. C., Seol, S. Y., ... & Cho, D. T. (2008). Capacity of multidrug-resistant clinical isolates of *Acinetobacter baumannii* to form biofilm and adhere to epithelial cell surfaces. *Clinical Microbiology and Infection*, 14(1), 49-54.
- Lee, Y. D. & Park, J. H. (2016). Phage conversion for β -Lactam antibiotic resistance of *Staphylococcus aureus* from foods. *Journal of Microbiology and Biotechnology*, 26(2), 263-269.
- Limansky, A. S., Mussi, M. A. & Viale, A. M. (2002). Loss of a 29-kilodalton outer membrane protein in *Acinetobacter baumannii* is associated with imipenem resistance. *Journal of Clinical Microbiology*, 40(12), 4776–4778.
- Livermore, D. M. & Woodford, N. (2006). The β -lactamase threat in Enterobacteriaceae, *Pseudomonas* and *Acinetobacter*. *Trends in Microbiology*, 14(9), 413-420.

- Lolans, K., Rice, T. W., Munoz-Price, L. S. & Quinn, J. P. (2006). Multicity outbreak of carbapenem-resistant *Acinetobacter baumannii* isolates producing the carbapenemase OXA-40. *Antimicrobial Agents and Chemotherapy*, 50(9), 2941-2945.
- Longo, F., Vuotto, C. & Donelli, G. (2014). Biofilm formation in *Acinetobacter baumannii*. *New Microbiologica*, 37, 119-127.
- Lorenz, M. G. & Wackernagel, W. (1994). Bacterial gene transfer by natural genetic transformation in the environment. *Microbiological Reviews*, 58(3), 563-602.
- Luke, N. R., Sauberan, S. L., Russo, T. A., Beanan, J. M., Olson, R., Loehfelm, T. W., ... & Campagnari, A. A. (2010). Identification and characterization of a glycosyltransferase involved in *Acinetobacter baumannii* lipopolysaccharide core biosynthesis. *Infection and Immunity*, 78(5), 2017-2023.
- Luna, C. M. & Aruj, P. K. (2007). Nosocomial *Acinetobacter* pneumonia. *Respirology*, 12(6), 787-791.
- Madigan, M. T., Clark, D. P., Stahl, D. & Martinko, J. M. (2012). *Brock Biology of Microorganisms* (13th ed.). San Francisco, USA: Pearson Education, Inc.
- Magiorakos, A. P., Srinivasan, A., Carey, R. B., Carmeli, Y., Falagas, M. E., Giske, C. G., ... & Paterson, D. L. (2012). Multidrug-resistant, extensively drug-resistant and pandrug-resistant bacteria: an international expert proposal for interim standard definitions for acquired resistance. *Clinical Microbiology and Infection*, 18(3), 268-281.
- Magnet, S., Courvalin, P. & Lambert, T. (2001). Resistance-nodulation-cell division-type efflux pump involved in aminoglycoside resistance in *Acinetobacter baumannii* Strain BM4454. *Antimicrobial Agents and Chemotherapy*, 45(12), 3375-3380.
- Manchanda, V., Sanchaita, S. & Singh, N. (2010). Multidrug resistant acinetobacter. *Journal of Global Infectious Diseases*, 2(3), 291-304.

- Marchand, I., Damier-Piolle, L., Courvalin, P. & Lambert, T. (2011). Expression of the RND-type efflux pump AdeABC in *Acinetobacter baumannii* is regulated by the AdeRS two-component system. *Antimicrobial Agents and Chemotherapy*, 48(9), 3298–3304.
- Mazaheri Nezhad Fard, R., Barton, M. D. & Heuzenroeder, M. W. (2011). Bacteriophage-mediated transduction of antibiotic resistance in enterococci. *Letter in Applied Microbiology*, 52(6), 559-564.
- McConnell, M. J., Actis, L. & Pachon, J. (2013). *Acinetobacter baumannii*: human infections, factors contributing to pathogenesis and animal models. *FEMS Microbiology Reviews*, 37(2), 130–155.
- Mendes, R. E., Bell, J. M., Turnidge, J. D., Castanheira, M. & Jones, R. N. (2009). Emergence and widespread dissemination of OXA-23, -24/40 and -58 carbapenemases among *Acinetobacter* spp. in Asia-Pacific nations: report from the SENTRY Surveillance Program. *Journal of Antimicrobial Chemotherapy*, 63(1), 55–59.
- Merkier, A. K., Catalano, M., Ramírez, M. S., Quiroga, C., Orman, B., Ratier, L., ... & Centrón, D. (2008). Polyclonal spread of *bla*(OXA-23) and *bla*(OXA-58) in *Acinetobacter baumannii* isolates from Argentina. *The Journal of Infection in Developing Countries*, 2(3), 235-240.
- Metan, G., Alp, E., Aygen, B. & Sumerkan, B. (2007). *Acinetobacter baumannii* meningitis in post-neurosurgical patients: clinical outcome and impact of carbapenem resistance. *Journal of Antimicrobial Chemotherapy*, 60(1), 197-199.
- Migliavacca, R., Espinal, P., Principe, L., Drago, M., Fugazza, G., Roca, I., ... & Luzzaro, F. (2013). Characterization of resistance mechanisms and genetic relatedness of carbapenem-resistant *Acinetobacter baumannii* isolated from blood, Italy. *Diagnostic Microbiology and Infectious Disease*, 75(2), 180-186.

- Misbah, S., Hassan, H., Yusof, M. Y., Hanifah, Y. A. & AbuBakar, S. (2005). Genomic species identification of *Acinetobacter* of clinical isolates by 16S rDNA sequencing. *Singapore Medical Journal*, 46(9), 461-464.
- National Antimicrobial Resistance Surveillance of Thailand. (2014-2015). Retrieved December 2, 2016, from <http://narst.dmsc.moph.go.th>
- Nemec, A., Dolzani, L., Brisse, S., Broek, V. P. & Dijkshoorn, L. (2004). Diversity of aminoglycoside-resistance genes and their association with class 1 integrons among strains of pan-European *Acinetobacter baumannii* clones. *Journal of Medical Microbiology*, 53(12), 1233-1240.
- Neves, F. C., Clemente, W. T., Lincopan, N., Paião, I. D., Neves, P. R., Romanelli, R. M., ... & Nobre-Junior, V. A. (2016). Clinical and microbiological characteristics of OXA-23- and OXA-143 producing *Acinetobacter baumannii* in ICU patients at a teaching hospital, Brazil. *Brazilian Journal of Infectious Diseases*, 20(6), 556-563.
- Nhu, N. T., Lan, N. P., Campbell, J. I., Parry, C. M., Thompson, C., Tuyen, H. T., ... & Nhu, T. D. H. (2014). Emergence of carbapenem-resistant *Acinetobacter baumannii* as the major cause of ventilator-associated pneumonia in intensive care unit patients at an infectious disease hospital in southern Vietnam. *Journal of Medical Microbiology*, 63(10), 1386–1394.
- Niumsup, P. R., Boonkerd, N., Tansawai, U. & Tiloklurs, M. (2009). Carbapenem-Resistant *Acinetobacter baumannii* producing OXA-23 in Thailand. *Japanese Journal of Infectious Diseases*, 62(2), 152-154.
- Pagel, J. E. & Seyfried, P. L. (1976). Numerical taxonomy of aquatic *Acinetobacter* isolates. *Journal of General Microbiology*, 96(2), 220-232.
- Patel, G. & Bonomo, R. A. (2013). "Stormy waters ahead": global emergence of carbapenemases. *Frontiers in Microbiology*, 4(48), 1-17.
- Paton, R., Miles, R. S., Hood, J., Amyes, S. G., Miles, R. S. & Amyes, S. G. (1993). ARI 1: beta-lactamase-mediated imipenem resistance in *Acinetobacter baumannii*. *International Journal of Antimicrobial Agents*, 2(2), 81-87.

- Patwardhan, R. B., Dhakephalkar, P. K., Niphadkar, K. B. & Chopade, B. A. (2008). A study on nosocomial pathogens in ICU with special reference to multiresistant *Acinetobacter baumannii* harbouring multiple plasmids. *Indian Journal of Medical Research*, 128(2), 178-187.
- Peleg, A. Y., Seifert, H. & Paterson, D. L. (2008). *Acinetobacter baumannii*: Emergence of a Successful Pathogen. *Clinical Microbiology Reviews*, 21(3), 538–582.
- Perez, F., Hujer, A. M., Hujer, K. M., Decker, B. K., Rather, P. N. & Bonomo, R. A. (2007). Global challenge of multidrug-resistant *Acinetobacter baumannii*. *Antimicrobial Agents and Chemotherapy*, 51(10), 3471-3484.
- Plewngam, P., & Kiratisin, P. (2014). Comparative assessment of antimicrobial susceptibility testing for tigecycline and colistin against *Acinetobacter baumannii* clinical isolates, including multidrug-resistant isolates. *International Journal of Antimicrobial Agents*, 44(5), 396-401.
- Poirel, L., Bonnin, R. A. & Nordmann, P. (2011). Genetic basis of antibiotic resistance in Pathogenic *Acinetobacter* species. *Biochemistry and Molecular Biology for Life Scientists*, 63(12), 1061-1067.
- Poirel, L. & Nordmann, P. (2006). Carbapenem resistance in *Acinetobacter baumannii*: mechanisms and Epidemiology. *Clinical Microbiology and Infectious Diseases*, 12(9), 826–836.
- Potron, A., Poirel, L. & Nordmann, P. (2011). Plasmid-mediated transfer of the *bla*_{NDM-1} gene in Gram-negative rods. *FEMS Microbiology Letters*, 324(3), 111-116.
- Pour, N. K., Dusane, D. H., Dhakephalkar, P. K., Zamin, F. R., Zinjarde, S. S. & Chopade, B. A. (2011). Biofilm formation by *Acinetobacter baumannii* strains isolated from urinary tract infection and urinary catheters. *FEMS Immunology and Medical Microbiology*, 62(3), 328-338.
- Rafei, R., Hamze, M., Pailhoriès, H., Eveillard, M., Marsollier, L., Joly-Guillou, M. L., ... & Kempf, M. (2015). Extrahuman epidemiology of *Acinetobacter baumannii* in Lebanon. *Applied and Environmental Microbiology*, 81(7), 2359-2367.

- Ramirez, M. S., Don, M., Merkier, A. K., Bistue, A. J., Zorreguieta, A., Centron, D. & Tolmasky M. E. (2010). Naturally competent *Acinetobacter baumannii* clinical isolate as a convenient model for genetic studies. *Journal of Clinical Microbiology*, 48(4), 1488–1490.
- Ramirez, M. S., Merkier, A. K., Quiroga, M. P. & Centron, D. (2012). *Acinetobacter baumannii* is able to gain and maintain a plasmid harbouring In35 found in Enterobacteriaceae isolates from Argentina. *Current Microbiology*, 64(3), 211-213.
- Ramoul, A., Loucif, L., Bakour, S., Amiri, S., Dekhil, M. & Rolain, J. M. (2016). Co-occurrence of *bla*_{NDM-1} with *bla*_{OXA-23} or *bla*_{OXA-58} in clinical multidrug-resistant *Acinetobacter baumannii* isolates in Algeria. *Journal of Global Antimicrobial Resistance*, 6, 136-141.
- Rattanaumpawan, P., Ussavasodhi, P., Kiratisin, P. & Aswapee, N. (2013). Epidemiology of bacteremia caused by uncommon non-fermentative gram-negative bacteria. *BMC Infectious Diseases*, 13(1), 167.
- Robledo, I. E., Aquino, E. E., Santé, M. I., Santana, J. L., Otero, D. M., León, C. F. & Vázquez, G. J. (2010). Detection of KPC in *Acinetobacter* spp. in Puerto Rico. *Antimicrobial Agents and Chemotherapy*, 54(3), 1354-1357.
- Rodríguez Guardado, A., Blanco, A., Asensi, V., Pérez, F., Rial, J. C., Pintado, V., ... Maradona, J. A. (2008). Multidrug-resistant *Acinetobacter* meningitis in neurosurgical patients with intraventricular catheters: assessment of different treatments. *Journal of antimicrobial chemotherapy*, 61(4), 908-913.
- Rumbo, C., Fernández-Moreira, E., Merino, M., Poza, M., Méndez, J. A. & Soares, N. C. (2011). Horizontal transfer of the OXA-24 carbapenemase gene via outer membrane vesicles: a new mechanism of dissemination of carbapenem resistance genes in *Acinetobacter baumannii*. *Antimicrobial Agents and Chemotherapy*, 55(7), 3084–3090.

- Russo, T. A., Luke, N. R., Beanan, J. M., Olson, R., Sauberan, S. L., MacDonald, L., ... & Campagnari, A. A. (2010). The K1 capsular polysaccharide of *Acinetobacter baumannii* strain 307-0294 is a major virulence factor. *Infection and Immunity*, 78(9), 3993–4000.
- Sadeghifarda, N., Ranjbarb, R., Zaeimic, J., Alikhanid, M. Y., Ghafouryana S., Raftarie, M., ... & Bakar, F. A. (2010). Antimicrobial susceptibility, plasmid profiles, and RAPD-PCR typing of *Acinetobacter* bacteria. *Asian Biomedicine*, 4(6), 901-911.
- Santimaleeworagun, W., Thathong, A., Samret, W., Preechachuawong, P., Sae-lim, W. & Jitwasinkul, T. (2014). Identification and characterization of carbapenemase genes in clinical isolates of carbapenem-resistant *Acinetobacter baumannii* from general hospital in Thailand. *The Southeast Asian Journal of Tropical Medicine and Public Health*, 45(4), 874-880.
- Saranathan, R., Sudhakar, P., Karthika, R. U., Singh, S. K., Shashikala, P., Kanungo, R. & Prashanth, K. (2014). Multiple drug resistant carbapenemases producing *Acinetobacter baumannii* isolates harbours multiple R-plasmids. *Indian Journal of Medical Research*, 140(2), 262-270.
- Shousha, A., Awaiwanont, N., Sofka, D., Smulders, F. J., Paulsen, P., Szostak, M. P., ... & Hilbert, F. (2015). Bacteriophages isolated from chicken meat and the horizontal transfer of antimicrobial resistance genes. *Applied and Environmental Microbiology*, 81(14), 4600-4606.
- Sirichot, S., Diraphat, P., Utrarachkij, F., Tribuddharat, C. & Siripanichgon, K. (2009). Dissemination of class I integron in *Acinetobacter baumliannii* isolated from ventilator-associated pneumonia patients and their environment. *The Southeast Asian Journal of Tropical Medicine and Public Health*, 40(6), 1284-1292.
- Su, M. T., Venkatesh, T. V. & Bodmer, R. (1998). Large-and small-scale preparation of Bacteriophage lambda lysate and DNA. *BioTechniques*, 25(1), 44-46.

- Talreja, D., Muraleedharan, C., Gunathilaka, G., Zhang, Y., Kaye, K. S., Walia, S. K. & Kumar, A. (2014). Virulence properties of multidrug resistant ocular isolates of *Acinetobacter baumannii*. *Current Eye Research*, 39(7), 695-704.
- Teo, J., Lim, T. P., Hsu, L. Y., Tan, T. Y., Sasikala, S., Hon, P. Y., ... & Apisarnthanarak, A. (2015). Extensively drug resistant *Acinetobacter baumannii* in a Thai hospital: a molecular epidemiologic analysis and identification of bactericidal Polymyxin B-based combinations. *Antimicrobial Resistance & Infection Control*, 4(1), doi: 10.1186/s13756-015-0043-x.
- Thapa, B., Tribuddharat, C., Srifuengfung, S. & Dhiraputra, C. (2010). High prevalence of *bla_{OXA-23}* in oligoclonal carbapenem-resistant *Acinetobacter baumannii* from Siriraj Hospital, Mahidol University, Bangkok, Thailand. *The Southeast Asian Journal of Tropical Medicine and Public Health*, 41(3), 625-635.
- Thomson, J. M. & Bonomo, R. A. (2005). The threat of antibiotic resistance in Gram-negative pathogenic bacteria: β-lactams in peril. *Current Opinion in Microbiology*, 8(5), 518-524.
- Towner, K. J. (2009). Acinetobacter: an old friend, but a new enemy. *Journal of Hospital Infection*, 73(4), 355-363.
- Tu, Z. (2005). An improved system for competent cell preparation and high efficiency plasmid transformation using different *Escherichia coli* strains. *Electronic Journal of Biotechnology*, 8(1), 114-120.
- Turano, H., Gomes, F., Medeiros, M., Oliveira, S., Fontes, L.C., Sato, M.I. & Lincopan, N. (2016). Presence of high-risk clones of OXA-23-producing *Acinetobacter baumannii* (ST79) and SPM-1-producing *Pseudomonas aeruginosa* (ST277) in environmental water samples in Brazil. *Diagnostic Microbiology and Infectious Disease*, 86(1), 80-82.
- Valenzuela, J. K., Thomas, L., Partridge, S. R., Reijden, T. V. D., Dijkshoorn, L. & Iredell, J. (2007). Horizontal gene transfer in a polyclonal outbreak of carbapenem-resistant *Acinetobacter baumannii*. *Journal of Clinical Microbiology*, 45(2), 453-460.

- Varga, M., Kuntová, L., Pantucek, R., Mašlanová, I., Ružicková, V. & Doškar, J. (2012). Efficient transfer of antibiotic resistance plasmids by transduction with in methicillin-resistant *Staphylococcus aureus* USA300 clone. *FEMS Microbiology Letters*, 332(2), 146-152.
- Villegas, M. V., Kattan, J. N., Correa, A., Lolans, K., Guzman, A. M., Woodford, N., ... & Colombian Nosocomial Bacterial Resistance Study Group. (2007). Dissemination of *Acinetobacter baumannii* clones with OXA-23 Carbapenemase in Colombian hospitals. *Antimicrobial Agents and Chemotherapy*, 51(6), 2001-2004.
- Vries, J. D. & Wackernagel, W. (2002). Integration of foreign DNA during natural transformation of *Acinetobacter* sp. by homology-facilitated illegitimate recombination. *Proceedings of the National Academy of Sciences of the United States of America*, 99(4), 2094-2099.
- Walther-Rasmussen, J. & Høiby, N. (2006). OXA-type carbapenemases. *Journal of Antimicrobial Chemotherapy*, 57(3), 373-383.
- Wang, J., Ruan, Z., Feng, Y., Fu, Y., Jiang, Y., Wang, H. & Yu, Y. (2014). Species distribution of clinical *Acinetobacter* isolates revealed by different identification techniques. *PLoS One*, 9(8), e104882.
- Wareham, D. W., Bean, D. C., Khanna, P., Hennessy, E. M., Krahe, D., Ely, A. & Millar, M. (2008). Bloodstream infection due to *Acinetobacter* spp: epidemiology, risk factors and impact of multi-drug resistance. *European Journal Clinical Microbiology*, 27(7), 607-612.
- Werarak, P., Waiwarawut, J., Tharavichitkul, P., Pothirat, C., Rungruanghiranya, S., Geater, S. L., ... & Wiwatworapan, T. (2012). *Acinetobacter baumannii* nosocomial pneumonia in tertiary care hospitals in Thailand. *Journal of the Medical Association of Thailand*, 95(Suppl 2), S23-33.

- Wisplinghoff, H., Bischoff, T., Tallent, S. M., Seifert, H., Wenzel, R. P. & Edmond, M. B. (2004). Nosocomial bloodstream infections in US hospitals: analysis of 24,179 cases from a prospective nationwide surveillance study. *Clinical Infectious Diseases*, 39(3), 309–317.
- Woodford, N., Ellington, M. J., Coelho, J. M., Turton, J. F., Ward, M. E., Brown, S., ... & Livermore, D. M. (2006). Multiplex PCR for genes encoding prevalent OXA carbapenemases in *Acinetobacter* spp. *International Journal of Antimicrobial Agents*, 27(4), 351-353.
- Yamamoto, S., Okujo, N. & Sakakibara, Y. (1994). Isolation and structure elucidation of acinetobactin, a novel siderophore from *Acinetobacter baumannii*. *Archives of Microbiology*, 162(4), 249-254.
- Yang, H., Liang, L., Lin, S. & Jia, S. (2010). Isolation and characterization of a virulent bacteriophage AB1 of *Acinetobacter baumannii*. *BMC Microbiology*, 10(1), 131.
- Yang, Y. S., Lee, Y. T., Wang, Y. C., Chiu, C. H., Kuo, S. C., Sun, J. R., ... & Chang, F. Y. (2015). Molecular epidemiology of carbapenem non-susceptible *Acinetobacter nosocomialis* in a medical center in Taiwan. *Infection, Genetics and Evolution*, 31, 305-311.
- Zarrilli, R., Giannouli, M., Tomasone, F., Triassi, M. & Tsakris, A. (2009). Carbapenem resistance in *Acinetobacter baumannii*: the molecular epidemic features of an emerging problem in health care facilities. *The Journal of Infection in Developing Countries*, 3(5), 335-341.
- Zarrilli, R., Vitale, D., Di Popolo, A., Bagattini, M., Daoud, Z., Khan, A. U., ... & Triassi, M. (2008). A plasmid-borne *bla*_{OXA-58} gene confers imipenem resistance to *Acinetobacter baumannii* isolates from a Lebanese hospital. *Antimicrobial Agents and Chemotherapy*, 52(11), 4115-4120.
- Zhang, C., Qiu, S., Wang, Y., Qi, L., Hao, R., Liu, X., ... & Li, P. 2013. Higher isolation of NDM-1 producing *Acinetobacter baumannii* from the sewage of the hospitals in Beijing. *PLoS One*, 8(6), e64857.

- Zhang, R., Hu, Y. Y., Yang, X. F., Gu, D. X., Zhou, H. W., Hu, Q. F., ... & Chen, G. X. (2014). Emergence of NDM-producing non-*baumannii* *Acinetobacter* spp. isolated from China. *European Journal of Clinical Microbiology & Infectious Diseases*, 33(5), 853-860.
- Zhang, Y., Yao, Z., Zhan, S., Yang, Z., Wei, D., Zhang, J., ... & Kyaw, M. H. (2014). Disease burden of intensive care unit-acquired pneumonia in China: a systematic review and meta-analysis. *International Journal of Infectious Diseases*, 29, 84-90.





ການຜົນວາ ກ່າຍລະເຄີຍຕອອງເຊື້ອ *A. baumannii* ທີ່ໃນກາຮັກຫາ

ຕາງ 16 ແສດ໌ອໍອະນຸລະເຊື້ອ *A. baumannii* ທີ່ແຍກໄຕຈາກສິ່ງຕຽບຈຸດອຸປະກູມຢາຍັງຈານວນ 160 ໄລ້ໂສລດ ແລະ ຜົນກາຮັກຫາແບ່ງການຕົ້ນອໍາຍາ
ຕ້ານຈຸລືພ ແລະ ຂົນຕົ້ນອໍາຍາ class D β -lactamase ທີ່ຕຽບຈຸພາ

ສຳຄັນ	EI strains	ໂຮງໝາປາລັບແຍກເຊື້ອ	ໜົດຂອງ		ຮັບແນບກາງວົດອ່ອກາ		ຢືນຕື່ອໍາຍາທີ່ຕຽບຈຸພາ <i>b/a_{OXA-23}</i> <i>b/a_{OXA-24}</i> <i>b/a_{OXA-58}</i>
			ສິ່ງສັງຕຽວ	ສິ່ນທະ	ຕ້ານຈຸລືພ	No resistance	
1	AB-94	ຕື່ອົງຈາຍປະຍາກຸນຄຣາະທີ່	ສິ່ນທະ	MDR-AB, CR-AB, XDR-AB	+	-	-
2	AB-95	ຕື່ອົງຈາຍປະຍາກຸນຄຣາະທີ່	ສິ່ນທະ	MDR-AB, CR-AB, XDR-AB	+	-	-
3	AB-96	ຕື່ອົງຈາຍປະຍາກຸນຄຣາະທີ່	ສິ່ນທະ	MDR-AB, CR-AB	+	-	-
4	AB-97	ຕື່ອົງຈາຍປະຍາກຸນຄຣາະທີ່	ສິ່ນທະ	No resistance	-	-	-
5	AB-98	ຕື່ອົງຈາຍປະຍາກຸນຄຣາະທີ່	ສິ່ນທະ	MDR-AB	-	-	+
6	AB-99	ຕື່ອົງຈາຍປະຍາກຸນຄຣາະທີ່	ສິ່ນທະ	MDR-AB, CR-AB	+	-	-
7	AB-101	ຕື່ອົງຈາຍປະຍາກຸນຄຣາະທີ່	ສິ່ນທະ	MDR-AB, CR-AB	+	-	-
8	AB-102	ຕື່ອົງຈາຍປະຍາກຸນຄຣາະທີ່	ສິ່ນທະ	MDR-AB, CR-AB	+	-	-
9	AB-103	ຕື່ອົງຈາຍປະຍາກຸນຄຣາະທີ່	ສິ່ນທະ	CR-AB	-	-	-
10	AB-104	ຕື່ອົງຈາຍປະຍາກຸນຄຣາະທີ່	ສິ່ນທະ	MDR-AB, CR-AB	-	-	+
11	AB-105	ຕື່ອົງຈາຍປະຍາກຸນຄຣາະທີ່	ສິ່ນທະ	MDR-AB, CR-AB	+	-	-

ตาราง 16 (ต่อ)

ลำดับ	EI strains	โครงพยายามลักษณะเชือก	ชนิดของ		รูปแบบการต่อเชือก		ชนิดเชือกที่ตรวจพบ	
			สีสังเคราะห์	ต้านจลน์	b/a _{oxA-23}	b/a _{oxA-24}	b/a _{oxA-25}	
12	AB-106	เชือกง่ายประแจขันมุ่คราบหัว	สีน้ำเงิน	No resistance	-	-	-	-
13	AB-109	เชือกง่ายประแจขันมุ่คราบที่	สีน้ำเงิน	MDR-AB, CR-AB	+	-	-	-
14	AB-110	เชือกง่ายประแจขันมุ่คราบหัว	สีน้ำเงิน	No resistance	-	-	-	-
15	AB-111	เชือกง่ายประแจขันมุ่คราบที่	สีน้ำเงิน	MDR-AB, CR-AB	+	-	-	-
16	AB-112	เชือกง่ายประแจขันมุ่คราบที่	สีน้ำเงิน	MDR-AB, CR-AB	+	-	-	-
17	AB-113	เชือกง่ายประแจขันมุ่คราบที่	สีน้ำเงิน	MDR-AB, CR-AB	+	-	-	-
18	AB-117	เชือกง่ายประแจขันมุ่คราบที่	สีน้ำเงิน	MDR-AB, CR-AB	+	-	-	-
19	AB-120	เชือกง่ายประแจขันมุ่คราบที่	สีน้ำเงิน	MDR-AB, CR-AB	+	-	-	-
20	AB-121	เชือกง่ายประแจขันมุ่คราบที่	สีน้ำเงิน	MDR-AB, CR-AB	+	-	-	-
21	AB-143	เชือกง่ายประแจขันมุ่คราบที่	สีน้ำเงิน	MDR-AB, CR-AB	+	-	-	-
22	AB-144	เชือกง่ายประแจขันมุ่คราบที่	สีน้ำเงิน	MDR-AB, CR-AB	+	-	-	-
23	AB-147	เชือกง่ายประแจขันมุ่คราบที่	สีน้ำเงิน	MDR-AB, CR-AB	-	-	-	+
24	AB-148	เชือกง่ายประแจขันมุ่คราบที่	สีน้ำเงิน	MDR-AB, CR-AB	-	-	-	+

ตาราง 16 (ต่อ)

ลำดับ	EI strains	โรคพยาบาลที่ไม่ยกเว้น	ชนิดของสิ่งสังเคราะห์	รูปแบบการตัดออกตาม ต้านจลดชีพ	ขั้นตอนยาที่ทดสอบ	
					b/a _{oxA-23}	b/a _{oxA-24}
25	AB-149	เชื้องรานาญกระซากุนุเคราะห์	สีน้ำเงิน	MDR-AB, CR-AB	+	-
26	AB-150	เชื้องรานาญกระซากุนุเคราะห์	สีน้ำเงิน	MDR-AB, CR-AB	+	-
27	AB-151	เชื้องรานาญกระซากุนุเคราะห์	สีน้ำเงิน	MDR-AB, CR-AB	+	-
28	AB-152	เชื้องรานาญกระซากุนุเคราะห์	สีน้ำเงิน	MDR-AB, CR-AB	+	-
29	AB-156	เชื้องรานาญกระซากุนุเคราะห์	สีน้ำเงิน	MDR-AB, CR-AB	+	-
30	AB-159	เชื้องรานาญกระซากุนุเคราะห์	สีน้ำเงิน	MDR-AB, CR-AB	+	-
31	AB-160	เชื้องรานาญกระซากุนุเคราะห์	สีน้ำเงิน	MDR-AB, CR-AB	+	-
32	AB-162	เชื้องรานาญกระซากุนุเคราะห์	สีน้ำเงิน	MDR-AB, CR-AB	+	-
33	AB-163	เชื้องรานาญกระซากุนุเคราะห์	สีน้ำเงิน	MDR-AB, CR-AB	+	-
34	AB-166	เชื้องรานาญกระซากุนุเคราะห์	สีน้ำเงิน	MDR-AB, CR-AB	-	+
35	AB-167	เชื้องรานาญกระซากุนุเคราะห์	สีน้ำเงิน	MDR-AB, CR-AB	+	-
36	AB-168	เชื้องรานาญกระซากุนุเคราะห์	สีน้ำเงิน	No resistance	-	-
37	AB-169	เชื้องรานาญกระซากุนุเคราะห์	สีน้ำเงิน	MDR-AB, CR-AB	+	-

ตาราง 16 (ต่อ)

ลำดับ	EI strains	โครงสร้างทดลอง	ชนิดของสิ่งที่ทดสอบ	รูปแบบการต่อเชือก	ข้อต่อเชือกที่ต้องทดสอบ
			ลักษณะทั่วไป	ตามลักษณะ	b/a _{0XA-23} b/a _{0XA-24} b/a _{0XA-58}
38	AB-170	โครงสร้างบานงอแบบตัว Z	ลักษณะทั่วไป	ตามลักษณะ	MDR-AB, CR-AB + - -
39	AB-171	โครงสร้างบานงอแบบตัว U	ลักษณะทั่วไป	ตามลักษณะ	MDR-AB, CR-AB + - -
40	AB-172	โครงสร้างบานงอแบบตัว V	ลักษณะทั่วไป	ตามลักษณะ	MDR-AB, CR-AB + - -
41	AB-175	โครงสร้างบานงอแบบตัว Y	ลักษณะทั่วไป	ตามลักษณะ	MDR-AB, CR-AB + - -
42	AB-176	โครงสร้างบานงอแบบตัว H	ลักษณะทั่วไป	ตามลักษณะ	MDR-AB, CR-AB + - -
43	AB-177	โครงสร้างบานงอแบบตัว K	ลักษณะทั่วไป	ตามลักษณะ	MDR-AB, CR-AB + - -
44	AB-178	โครงสร้างบานงอแบบตัว R	ลักษณะทั่วไป	ตามลักษณะ	MDR-AB, CR-AB + - -
45	AB-179	โครงสร้างบานงอแบบตัว T	ลักษณะทั่วไป	ตามลักษณะ	MDR-AB, CR-AB + - -
46	AB-180	โครงสร้างบานงอแบบตัว F	ลักษณะทั่วไป	ตามลักษณะ	MDR-AB, CR-AB + - -
47	AB-181	โครงสร้างบานงอแบบตัว S	ลักษณะทั่วไป	ตามลักษณะ	MDR-AB, CR-AB + - -
48	AB-183	โครงสร้างบานงอแบบตัว G	ลักษณะทั่วไป	ตามลักษณะ	MDR-AB, CR-AB, XDR-AB + - -
49	AB-184	โครงสร้างบานงอแบบตัว P	ลักษณะทั่วไป	ตามลักษณะ	MDR-AB, CR-AB + - -
50	AB-185	โครงสร้างบานงอแบบตัว H	ลักษณะทั่วไป	ตามลักษณะ	MDR-AB, CR-AB + - -

ตาราง 16 (ต่อ)

ลำดับ	EI strains	โครงพยายามรักษา	ชนิดของสิ่งมีชีวิต	รูปแบบการดัดอ่อน化		ข้อเสนอแนะที่ควรทราบ
				ต้านฉุกเฉิน	b/a _{0XA-23}	
51	AB-230	โครงพยายามรักษาไม่คร่าฟัน	สัมภาระ	MDR-AB, CR-AB	+	-
52	AB-231	โครงพยายามรักษาไม่คร่าฟัน	สัมภาระ	MDR-AB, CR-AB	+	-
53	AB-232	โครงพยายามรักษาไม่คร่าฟัน	สัมภาระ	MDR-AB, CR-AB	+	-
54	AB-233	โครงพยายามรักษาไม่คร่าฟัน	สัมภาระ	MDR-AB, CR-AB	+	-
55	AB-234	โครงพยายามรักษาไม่คร่าฟัน	สัมภาระ	MDR-AB, CR-AB	+	-
56	AB-235	โครงพยายามรักษาไม่คร่าฟัน	สัมภาระ	MDR-AB, CR-AB	+	-
57	AB-236	โครงพยายามรักษาไม่คร่าฟัน	สัมภาระ	MDR-AB, CR-AB	+	-
58	AB-237	โครงพยายามรักษาไม่คร่าฟัน	สัมภาระ	MDR-AB, CR-AB	+	-
59	AB-239	โครงพยายามรักษาไม่คร่าฟัน	สัมภาระ	MDR-AB, CR-AB	+	-
60	AB-240	โครงพยายามรักษาไม่คร่าฟัน	สัมภาระ	MDR-AB, CR-AB	+	-
61	AB-241	โครงพยายามรักษาไม่คร่าฟัน	สัมภาระ	MDR-AB, CR-AB, XDR-AB	+	-
62	AB-242	โครงพยายามรักษาไม่คร่าฟัน	สัมภาระ	MDR-AB, CR-AB	+	-
63	AB-243	โครงพยายามรักษาไม่คร่าฟัน	สัมภาระ	MDR-AB, CR-AB	+	-

ตาราง 16 (ต่อ)

ลำดับ	EI strains	โครงสร้างทดสอบ	ชนิดของสีสังเคราะห์		รูปแบบการดัดอ่อน化		ขั้นตอนการทดสอบ	
			สีสังเคราะห์	สีสังเคราะห์	ด้านจุดเข็ม	b/a _{0.0X-23}	b/a _{0.0X-24}	b/a _{0.0X-58}
64	AB-244	โครงสร้างปะรุงฐานไม้ครัวหิน	สีน้ำเงิน	สีน้ำเงิน	MDR-AB, CR-AB	+	-	-
65	AB-245	โครงสร้างปะรุงฐานไม้ครัวหิน	สีน้ำเงิน	สีน้ำเงิน	MDR-AB, CR-AB	-	-	-
66	AB-246	โครงสร้างปะรุงฐานไม้ครัวหิน	สีน้ำเงิน	สีน้ำเงิน	MDR-AB, CR-AB, XDR-AB	+	-	-
67	AB-247	โครงสร้างปะรุงฐานไม้ครัวหิน	สีน้ำเงิน	สีน้ำเงิน	MDR-AB, CR-AB	+	-	-
68	AB-248	โครงสร้างปะรุงฐานไม้ครัวหิน	สีน้ำเงิน	สีน้ำเงิน	No resistance	-	-	-
69	AB-249	โครงสร้างปะรุงฐานไม้ครัวหิน	สีน้ำเงิน	สีน้ำเงิน	MDR-AB, CR-AB	+	-	-
70	AB-250	โครงสร้างปะรุงฐานไม้ครัวหิน	สีน้ำเงิน	สีน้ำเงิน	MDR-AB, CR-AB	+	-	-
71	AB-251	โครงสร้างปะรุงฐานไม้ครัวหิน	สีน้ำเงิน	สีน้ำเงิน	MDR-AB, CR-AB	+	-	-
72	AB-252	โครงสร้างปะรุงฐานไม้ครัวหิน	สีน้ำเงิน	สีน้ำเงิน	MDR-AB, CR-AB	-	-	-
73	AB-253	โครงสร้างปะรุงฐานไม้ครัวหิน	สีน้ำเงิน	สีน้ำเงิน	MDR-AB, CR-AB	+	-	-
74	AB-254	โครงสร้างปะรุงฐานไม้ครัวหิน	สีน้ำเงิน	สีน้ำเงิน	MDR-AB, CR-AB	+	-	-
75	AB-255	โครงสร้างปะรุงฐานไม้ครัวหิน	สีน้ำเงิน	สีน้ำเงิน	No resistance	-	-	-
76	AB-256	โครงสร้างปะรุงฐานไม้ครัวหิน	สีน้ำเงิน	สีน้ำเงิน	MDR-AB, CR-AB	-	-	-

ตาราง 16 (ต่อ)

ลำดับ	EI strains	โรคพยาบาลที่เมยากเชื้อ	ชนิดของสี		รูปแบบการตัดต่อข้าว		ขั้นตอนยาพิษตรวจ	
			สีของตราชะ	สีของตราชะที่ผ่านจุลทรรศพ	b/a _{oxA-23}	b/a _{oxA-24}	b/a _{oxA-25}	b/a _{oxA-26}
77	AB-257	เชื้อแบคทีเรียปะรังข้าวมุ่คราบหัว	สีน้ำเงิน	ไม่มี	MDR-AB, CR-AB	+	-	-
78	AB-258	เชื้อแบคทีเรียปะรังข้าวมุ่คราบหัว	สีน้ำเงิน	ไม่มี	MDR-AB, CR-AB	+	-	-
79	AB-259	เชื้อแบคทีเรียปะรังข้าวมุ่คราบหัว	สีน้ำเงิน	ไม่มี	MDR-AB, CR-AB	+	-	-
80	AB-261	เชื้อแบคทีเรียปะรังข้าวมุ่คราบหัว	สีน้ำเงิน	ไม่มี	No resistance	-	-	-
81	AB-262	เชื้อแบคทีเรียปะรังข้าวมุ่คราบหัว	สีน้ำเงิน	ไม่มี	MDR-AB, CR-AB	+	-	-
82	AB-263	เชื้อแบคทีเรียปะรังข้าวมุ่คราบหัว	สีน้ำเงิน	ไม่มี	MDR-AB	-	-	+
83	AB-264	เชื้อแบคทีเรียปะรังข้าวมุ่คราบหัว	สีน้ำเงิน	ไม่มี	MDR-AB, CR-AB	+	-	-
84	AB-265	เชื้อแบคทีเรียปะรังข้าวมุ่คราบหัว	สีน้ำเงิน	ไม่มี	MDR-AB, CR-AB	+	-	-
85	AB-266	เชื้อแบคทีเรียปะรังข้าวมุ่คราบหัว	สีน้ำเงิน	ไม่มี	MDR-AB, CR-AB	+	-	-
86	AB-267	เชื้อแบคทีเรียปะรังข้าวมุ่คราบหัว	สีน้ำเงิน	ไม่มี	MDR-AB, CR-AB	+	-	-
87	AB-268	เชื้อแบคทีเรียปะรังข้าวมุ่คราบหัว	สีน้ำเงิน	ไม่มี	MDR-AB, CR-AB	+	-	-
88	AB-269	เชื้อแบคทีเรียปะรังข้าวมุ่คราบหัว	สีน้ำเงิน	ไม่มี	MDR-AB, CR-AB, XDR-AB	+	-	-
89	AB-270	เชื้อแบคทีเรียปะรังข้าวมุ่คราบหัว	สีน้ำเงิน	ไม่มี	No resistance	+	-	-

ตาราง 16 (ต่อ)

ลำดับ	EI strains	โครงพยายามแล้วและล้ม	ชนิดของร่องสีสังเคราะห์	รูปแบบการตัดต่อค่า		ข้อต่อข่ายที่ตรวจสอบ
				ต้านจุลทรรศน์	b/a _{0XXA-23}	
90	AB-271	โครงพยายามแล้วและล้ม	เส้นตรง	MDR-AB, CR-AB	+	-
91	AB-272	โครงพยายามแล้วและล้ม	เส้นตรง	MDR-AB, CR-AB	+	-
92	AB-273	โครงพยายามแล้วและล้ม	เส้นตรง	MDR-AB, CR-AB	+	-
93	AB-274	โครงพยายามแล้วและล้ม	เส้นตรง	MDR-AB, CR-AB	+	-
94	AB-275	โครงพยายามแล้วและล้ม	เส้นตรง	CR-AB	+	-
95	AB-276	โครงพยายามแล้วและล้ม	เส้นตรง	MDR-AB, CR-AB	+	-
96	AB-278	โครงพยายามแล้วและล้ม	เส้นตรง	MDR-AB, CR-AB	+	-
97	AB-279	โครงพยายามแล้วและล้ม	เส้นตรง	MDR-AB, CR-AB	+	-
98	AB-280	โครงพยายามแล้วและล้ม	เส้นตรง	MDR-AB, CR-AB	+	-
99	AB-281	โครงพยายามแล้วและล้ม	เส้นตรง	MDR-AB, CR-AB	-	-
100	AB-282	โครงพยายามแล้วและล้ม	เส้นตรง	MDR-AB, CR-AB	-	-
101	AB-284	โครงพยายามแล้วและล้ม	เส้นตรง	No resistance	-	-
102	AB-285	โครงพยายามแล้วและล้ม	เส้นตรง	MDR-AB, CR-AB	+	-

ព័ត៌មាន 16 (ព័ត៌មាន)

ລຳດັບ	EI strains	ໂຮງພາບສັຫະແນຍເກົ່າ	ພືນທີອອກ		ຮູ້ແບບການຄົດຕໍ່ອ່ານ	ສິນເຕືອນຢ່າທີ່ຕຽວຈານ
			ສື່ສົ່ງສົດຕ່າງ	ຕ່ານຈຸດຂຶ້ນ		
103	AB-286	ເຫຼືອງກາຍ ຮູ້ອານຸໂຄກະທີ	ສົມທະນະ	MDR-AB, CR-AB	+	b/a _{0XA-23} b/a _{0XA-24} b/a _{0XA-58}
104	AB-287	ເຫຼືອງກາຍ ຮູ້ອານຸໂຄກະທີ	ສົມທະນະ	MDR-AB, CR-AB	+	-
105	AB-288	ເຫຼືອງກາຍ ຮູ້ອານຸໂຄກະທີ	ສົມທະນະ	MDR-AB, CR-AB	-	-
106	AB-289	ເຫຼືອງກາຍ ຮູ້ອານຸໂຄກະທີ	ສົມທະນະ	MDR-AB, CR-AB	-	-
107	AB-123	ພົມຕົກ	ສົມທະນະ	MDR-AB, CR-AB	+	-
108	AB-124	ພົມຕົກ	ສົມທະນະ	MDR-AB, CR-AB	+	-
109	AB-125	ພົມຕົກ	ຫຼາອັນ	MDR-AB, CR-AB	+	-
110	AB-126	ພົມຕົກ	ສົມທະນະ	MDR-AB, CR-AB	+	-
111	AB-127	ພົມຕົກ	ສົມທະນະ	MDR-AB	-	+
112	AB-128	ພົມຕົກ	ສົມທະນະ	MDR-AB, CR-AB	+	-
113	AB-129	ພົມຕົກ	ສົມທະນະ	MDR-AB, CR-AB	+	-
114	AB-130	ພົມຕົກ	ຫຼາອັນ	MDR-AB, CR-AB	+	-
115	AB-131	ພົມຕົກ	ຫຼາອັນ	MDR-AB, CR-AB	+	-

ຕາຫາງ 16 (ຕ້ອ)

ລຳດັບ	EI strains	ໂຮງໝາຍາປາລັກໜຶກເຊົ້ວ	ໝົດນອຈ	ຮູ່ແບນກາຣີຂອງອ່ານາໄສ		ຢັນຕິຂອາຫຼືທຽບ
				ຕ່ານຈຸລືພ	b/a _{OXA-23}	
116	AB-132	ຟົມຕົກ	ເສັນທະບ	MDR-AB, CR-AB	+	-
117	AB-133	ຟົມຕົກ	ສາຍຄາງປັສສາງ	MDR-AB, CR-AB	+	-
118	AB-134	ຟົມຕົກ	ທໍາອັນ	MDR-AB, CR-AB	+	-
119	AB-135	ຟົມຕົກ	ທໍາອັນ	MDR-AB, CR-AB, XDR-AB	+	-
120	AB-136	ຟົມຕົກ	ປັສສາງ	MDR-AB, CR-AB, XDR-AB	+	-
121	AB-137	ຟົມຕົກ	ເລືອດ	MDR-AB, CR-AB, XDR-AB	+	-
122	AB-138	ຟົມຕົກ	ເສັນທະບ	MDR-AB, CR-AB	-	-
123	AB-139	ຟົມຕົກ	ເລືອດ	MDR-AB, CR-AB	-	+
124	AB-140	ຟົມຕົກ	ເສັນທະບ	MDR-AB, CR-AB, XDR-AB	+	-
125	AB-141	ຟົມຕົກ	ເສັນທະບ	MDR-AB, CR-AB	-	+
126	AB-191	ຟົມຕົກ	ທໍາອັນ	MDR-AB, CR-AB	+	-
127	AB-192	ຟົມຕົກ	ເສັນທະບ	MDR-AB, CR-AB	+	-
128	AB-193	ຟົມຕົກ	ທໍາອັນ	MDR-AB, CR-AB	+	-

ตาราง 16 (ต่อ)

ลำดับ	EI strains	รีสอยเดย์และเมทานิล	ชนิดของ		รูปแบบการต่อข่าย		ข้อเสนอแนะที่ควรทราบ	
			สีสังเคราะห์	สีเหลือง	ด้านหลัง	b/a _{OXA-23}	b/a _{OXA-24}	b/a _{OXA-58}
129	AB-194	พิคติร	พิคติร	พิคติร	พิคติร	MDR-AB, CR-AB	+	-
130	AB-195	พิคติร	พิคติร	พิคติร	พิคติร	MDR-AB, CR-AB	+	-
131	AB-196	พิคติร	พิคติร	พิคติร	พิคติร	MDR-AB, CR-AB	+	-
132	AB-197	พิคติร	พิคติร	พิคติร	พิคติร	MDR-AB, CR-AB	+	-
133	AB-198	พิคติร	พิคติร	พิคติร	พิคติร	MDR-AB, CR-AB	+	-
134	AB-199	พิคติร	พิคติร	พิคติร	พิคติร	MDR-AB, CR-AB	+	-
135	AB-200	พิคติร	พิคติร	พิคติร	พิคติร	MDR-AB, CR-AB	+	-
136	AB-201	พิคติร	พิคติร	พิคติร	พิคติร	MDR-AB, CR-AB	+	-
137	AB-202	พิคติร	พิคติร	พิคติร	พิคติร	MDR-AB, CR-AB	+	-
138	AB-203	พิคติร	พิคติร	พิคติร	พิคติร	MDR-AB, CR-AB	+	-
139	AB-204	พิคติร	พิคติร	พิคติร	พิคติร	MDR-AB, CR-AB	+	-
140	AB-205	พิคติร	พิคติร	พิคติร	พิคติร	No resistance	+	-
141	AB-206	พิคติร	พิคติร	พิคติร	พิคติร	MDR-AB, CR-AB	+	-

ตาราง 16 (ต่อ)

ลำดับ	EI strains	โครงพยายามลักษณะของชิ้นส่วนทดสอบ	ชนิดของ		รูปแบบการต่อเชือก		ข้อต่อข่ายที่ต้องทดสอบ	
			สีของชิ้นส่วนทดสอบ	สีของชิ้นส่วนทดสอบ	ด้านลักษณะ	b/a _{OXA-23}	b/a _{OXA-24}	b/a _{OXA-58}
142	AB-208	พิเศษ	เข้มเหลว	เข้มเหลว	MDR-AB, CR-AB	+	-	-
143	AB-209	พิเศษ	เข้มเหลว	เข้มเหลว	MDR-AB, CR-AB	+	-	-
144	AB-210	พิเศษ	เข้มเหลว	เข้มเหลว	MDR-AB, CR-AB	+	-	-
145	AB-212	พิเศษ	ปั๊สสากะ	ปั๊สสากะ	MDR-AB, CR-AB	+	-	-
146	AB-214	พิเศษ	เข้มเหลว	เข้มเหลว	MDR-AB	-	-	-
147	AB-215	พิเศษ	เข้มเหลว	เข้มเหลว	No resistance	-	-	-
148	AB-216	พิเศษ	ปั๊สสากะ	ปั๊สสากะ	MDR-AB, CR-AB	+	-	-
149	AB-217	พิเศษ	หนอน	หนอน	MDR-AB, CR-AB	+	-	-
150	AB-219	พิเศษ	น้ำเงินเข้มเหลว	น้ำเงินเข้มเหลว	MDR-AB	-	-	-
151	AB-220	พิเศษ	เข้มเหลว	เข้มเหลว	MDR-AB, CR-AB	+	-	-
152	AB-221	พิเศษ	หนอน	หนอน	MDR-AB, CR-AB	+	-	-
153	AB-222	พิเศษ	หนอน	หนอน	MDR-AB, CR-AB	+	-	-
154	AB-223	พิเศษ	หนอน	หนอน	MDR-AB, CR-AB	+	-	-

ตาราง 16 (ต่อ)

ลำดับ	EI strains	โครงพยายามต้านทานเชื้อ	ชนิดของ		รูปแบบการต่อเชื้อ	ข้อเสนอแนะเพื่อรองรับ		
			ลักษณะห้อง	ตัวอย่างเชื้อ		b/a _{OXA-23}	b/a _{OXA-24}	b/a _{OXA-58}
155	AB-224	พิเศษ	โครงสร้าง	โครงสร้าง	MDR-AB, CR-AB	-	-	+
156	AB-225	พิเศษ	โครงสร้าง	โครงสร้าง	MDR-AB, CR-AB	+	-	-
157	AB-226	พิเศษ	หนาแน่น	โครงสร้าง	MDR-AB, CR-AB	-	-	+
158	AB-227	พิเศษ	โครงสร้าง	โครงสร้าง	MDR-AB, CR-AB	+	-	-
159	AB-228	พิเศษ	โครงสร้าง	โครงสร้าง	No resistance	-	-	-
160	AB-229	พิเศษ	โครงสร้าง	โครงสร้าง	MDR-AB, CR-AB, XDR-AB	+	-	-

ପାତ୍ରଙ୍ଗମିତିକାରୀଙ୍କ ଅନୁଭବ ପରିପୂର୍ଣ୍ଣ ଅନୁଭବ ହେଉଥିଲା ।

ตาราง 17 แสดงผลการตีกราฟร่างกายของนกชนิดต่างๆ ที่อยู่ในชนิดเดียวกัน นกชนิดใดที่มีน้ำหนักตัวมากที่สุดคือ *A. baumannii* และ *Acinetobacter spp.*

ตราฐาน 18 และติดผลลัพธ์ทางชีววิทยาศาสตร์ที่สำคัญที่สุดคือ A. baumannii และ *Acinetobacter* spp.

ପ୍ରକାଶନ ୧୮ (୩)

ແປນີ້ເຕັມຫຼັກ (ເພື່ອ)	Transduction frequencies ໃນອາຫາດ LBA with ticarcillin (50 µg/ml)	Transduction frequencies ໃນອາຫາດ LBA with kanamycin (20 µg/ml)	Transduction frequencies ໃນອາຫາດ LBA with tetracycline (20 µg/ml)
ແປນີ້ເຕັມຫຼັກ (ØABP-44)	NU005-1 NU013 NU015 NI003	NU005-1 NU013 NU015 NI003	NU005-1 NU013 NU015 NI003
AB-229	- -	- -	- -

ภาคผนวก ค เครื่องมือที่ใช้ในการทดลอง

1. เครื่องหมุนเรียบควบคุมอุณหภูมิ (High-speed centrifuge: Labogene, Denmark)
2. เครื่องอิเล็กโทรโพรีซิส (multiSUBTMidi: Cleavers scientific, UK)
3. เครื่องถ่ายภาพ UV transmission (Gel Doc 2000 Gel documentation system: Bio-Rad Laboratories, USA)
4. หม้อนึ่งความดันไก (SS-325: TOMY, New Zealand)
5. เครื่องเขย่าควบคุมอุณหภูมิ (Innova 4330 Refrigerated Incubator Shaker: New Brunswick Scientific, USA)
6. เครื่องวัดความขุ่น (McFarland densitometer: SiaBiosan, Latvia)
7. เครื่องผสมสารละลาย (Vortex-2 Genie: Scientific industries Inc., USA)
8. เครื่องหมุนเรียบ (WiseSpin®: Daihan Scientific Co.,Ltd., Korea)
9. เครื่องตรวจสอบแบบดีเอ็นเอ (UV transilluminator: Herolab, Germany)
10. ตู้บ่มควบคุมอุณหภูมิ (SL SHEL LAB Model 1565 Incubator: Sheldon Manufacturing Inc., USA)
11. เครื่องวัดค่าการดูดกลืนแสง Beckman Coulter DU® 730 UV/Vis Spectrophotometers (Beckman Coulter, Brea, CA)
12. อ่างน้ำร้อน water bath DT (Heto lab Equipment, Denmark)
13. ตู้อบฝ้าเชื้อ UNB300 (MEMMERT, Federal Republic, Germany)
14. ตู้ปลดเชื้อ HVR 2472 (Holten LaminAir: Denmark)
15. เครื่องวัดกรดด่าง CyberScan pH510 (Eutech Instruments, Malaysia)
16. เครื่องเพิ่มปริมาณดีเอ็นเอ GeneAmp® PCR System 9700 (Applied Biosystems, Foster, CA, USA)

ภาคผนวก ๔ การเตรียมอาหารเลี้ยงเชื้อและสารเคมี

อาหารเลี้ยงเชื้อ

1. Trypticase Soy Agar (TSA) ปริมาณ 1 ลิตร

ชั้งอาหาร Trypticase Soy Agar ปริมาณ 40 กรัม นำมาละลายในน้ำกลั่นปรับปริมาณให้เท่ากับ 1 ลิตร นำไปฆ่าเชื้อด้วยหม้อนึ่งความดันไอน์ (autoclave) อุณหภูมิ 121 องศาเซลเซียส ที่ความดัน 15 ปอนด์ต่อตารางนิวตัน เป็นเวลา 15 นาที

2. Luria-Bertani Broth (LB broth) ปริมาณ 1 ลิตร

ชั้งอาหาร Luria-Bertani Broth ปริมาณ 25 กรัม นำมาละลายในน้ำกลั่นปรับปริมาณให้เท่ากับ 1 ลิตร นำไปฆ่าเชื้อด้วยหม้อนึ่งความดันไอน์ (autoclave) อุณหภูมิ 121 องศาเซลเซียส ที่ความดัน 15 ปอนด์ต่อตารางนิวตัน เป็นเวลา 15 นาที ในกรณีที่ต้องการเตรียมเป็นอาหารเลี้ยงเชื้อ Luria-Bertani Agar (LBA) ให้เติมวุ้น (Agar) ลงไปร้อยละ 1.5 หรือกรณีที่ต้องการอาหารเลี้ยงเชื้อ Luria-Bertani Broth ความเข้มข้น 2 เท่า (double-strength LB broth) ให้เติมอาหารลงไปอีก 25 กรัม

3. Mueller Hinton Broth (MHB) ปริมาณ 1 ลิตร

ชั้งอาหาร Mueller Hinton Broth ปริมาณ 21 กรัม นำมาละลายในน้ำกลั่นปรับปริมาณให้เท่ากับ 1 ลิตร นำไปฆ่าเชื้อด้วยหม้อนึ่งความดันไอน์ (autoclave) อุณหภูมิ 121 องศาเซลเซียส ที่ความดัน 15 ปอนด์ต่อตารางนิวตัน เป็นเวลา 15 นาที ในกรณีที่ต้องการเตรียมเป็นอาหารเลี้ยงเชื้อ Mueller Hinton Agar (MHA) ให้เติมวุ้น (Agar) ลงไปร้อยละ 1.5

4. Soft Agar ปริมาณ 500 มิลลิลิตร

ชั้งอาหาร Trypticase Soy Broth ปริมาณ 12.5 กรัม และเติมผงวุ้น (Agar) ลงไปร้อยละ 0.7 กรัม จากนั้นนำไปละลายในน้ำกลั่นปรับปริมาณให้ได้ 500 มิลลิลิตร นำไปให้ความร้อนจนละลายเป็นเนื้อเดียวกันแล้วคูดใส่หลอดทดลอง หลอดละ 4 มิลลิลิตร และนำไปฆ่าเชื้อด้วยหม้อนึ่งความดันไอน์ (autoclave) อุณหภูมิ 121 องศาเซลเซียส ที่ความดัน 15 ปอนด์ต่อตารางนิวตัน เป็นเวลา 15 นาที

การเตรียมสารเคมี

1. 5X TBE buffer (450 mM Tris-Borate, 10 mM EDTA) ปริมาณ 1 ลิตร

Tris base	54	g
Boric acid	27.5	g
0.5 M EDTA (pH 8.0)	20	ml

ละลายส่วนผสมทั้งสามชนิดลงในน้ำกลั่น คนให้เป็นสารละลายเดียวกัน ปรับปริมาณให้ได้ 1 ลิตร จะได้สารละลาย 5X TBE buffer เป็น stock solution จากนั้นนำไปเจือจากด้วยน้ำกลั่น ให้มีความเข้มข้นเท่ากับ 0.5X TBE buffer ใช้สำหรับการทำ agarose gel electrophoresis เก็บไว้ที่อุณหภูมิห้อง

2. 0.5 M EDTA (pH 8.0) ปริมาณ 100 มิลลิลิตร

ซึ่ง EDTA disodium salt dehydrate ปริมาณ 18.16 กรัม นำมาละลายในน้ำกลั่น 80 มิลลิลิตร ปรับ pH ให้ได้เท่ากับ 8.0 โดยการเติม NaOH จากนั้นนำมาปรับปริมาณให้ได้เท่ากับ 100 มิลลิลิตร นำไปผ่าเชื้อด้วยหม้อนึ่งความดันไอน์ (autoclave) อุณหภูมิ 121 องศาเซลเซียส ที่ความดัน 15 ปอนด์ต่อตารางนิ้ว เป็นเวลา 15 นาที เก็บไว้ที่อุณหภูมิห้อง

3. 1.0% agarose gel ปริมาณ 100 มิลลิลิตร

ซึ่ง agarose ปริมาณ 1 กรัม นำไปละลายใน 0.5X TBE buffer ปรับปริมาณให้ได้เท่ากับ 100 มิลลิลิตร จากนั้นนำไปให้ความร้อนเพื่อให้ agarose หลอมละลาย ทิ้งไว้ที่อุณหภูมิห้องจนเย็น ประมาณ 50 องศาเซลเซียส เติม ethidium bromide ลงไปให้มีความเข้มข้นสุดท้ายเท่ากับ 0.5 $\mu\text{g}/\text{ml}$

4. SM buffer (100 mM NaCl, 8 mM MgSO₄, 50 mM Tris-Cl) ปริมาณ 500 มิลลิลิตร

NaCl	2.9	g
MgSO ₄ .7H ₂ O	1	g
1 M Tris-Cl (pH 7.5)	25	ml

ละลายส่วนผสมทั้งสามชนิดลงในน้ำกลั่น ปรับปริมาณให้ได้ 500 มิลลิลิตร จากนั้นนำไปผ่าเชื้อด้วยหม้อนึ่งความดันไอน์ (autoclave) อุณหภูมิ 121 องศาเซลเซียส ที่ความดัน 15 ปอนด์ต่อตารางนิ้ว เป็นเวลา 15 นาที เก็บไว้ที่อุณหภูมิห้อง